

# Квантовая макрофизика

## Лекция 10:

(i) Элементы микроскопии  
сверхпроводников. Сверхпроводники II  
рода. Абрикосовские вихри.

(ii) Туннельные эффекты в  
сверхпроводниках:  
квазичастичный ток в контактах  
сверхпроводников и эффект Джозефсона.

# Часть 1. Куперовские пары

# Куперовские пары

- 1) Сверхпроводящее состояние — основное состояние сверхпроводника
- 2) Сверхпроводящее состояние допускает макроскопический бездиссипативный ток
- 3) Квантование потока показывает, что заряд переносят пары электронов

# Куперовские пары

- 1) Сверхпроводящее состояние  
состояние сверхпроводника
- 2) Сверхпроводящее состояние  
макроскопический бездиссип
- 3) Квантование потока показывает, что заряд  
переносят пары электронов

Макроскопическое число  
*фермионов* оказывается в  
одном квантовом состоянии

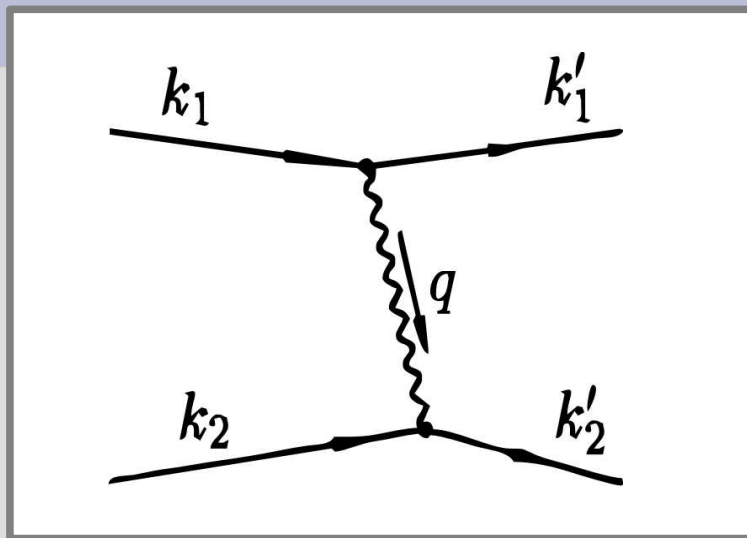
# Куперовские пары

- 1) Сверхпроводящее состояние — это состояние сверхпроводника
- 2) Сверхпроводящее состояние — это макроскопический бездиссипативный ток
- 3) Квантование потока показывает, что заряд переносят пары электронов

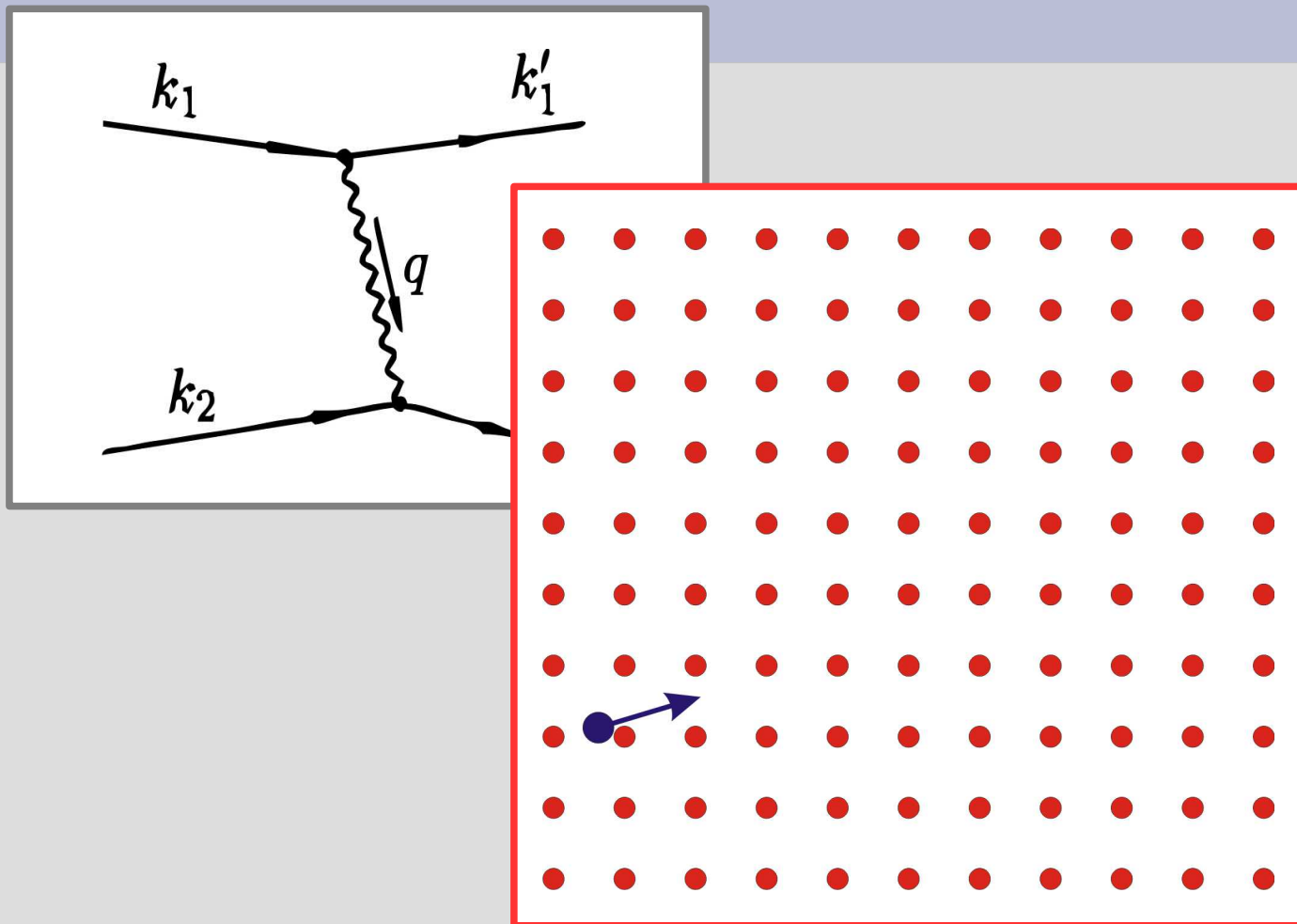
Макроскопическое число *фермионов* оказывается в одном квантовом состоянии

Связанное состояние двух частиц со спином  $1/2$  имеет спин 0 или 1 — и является *бозоном!*

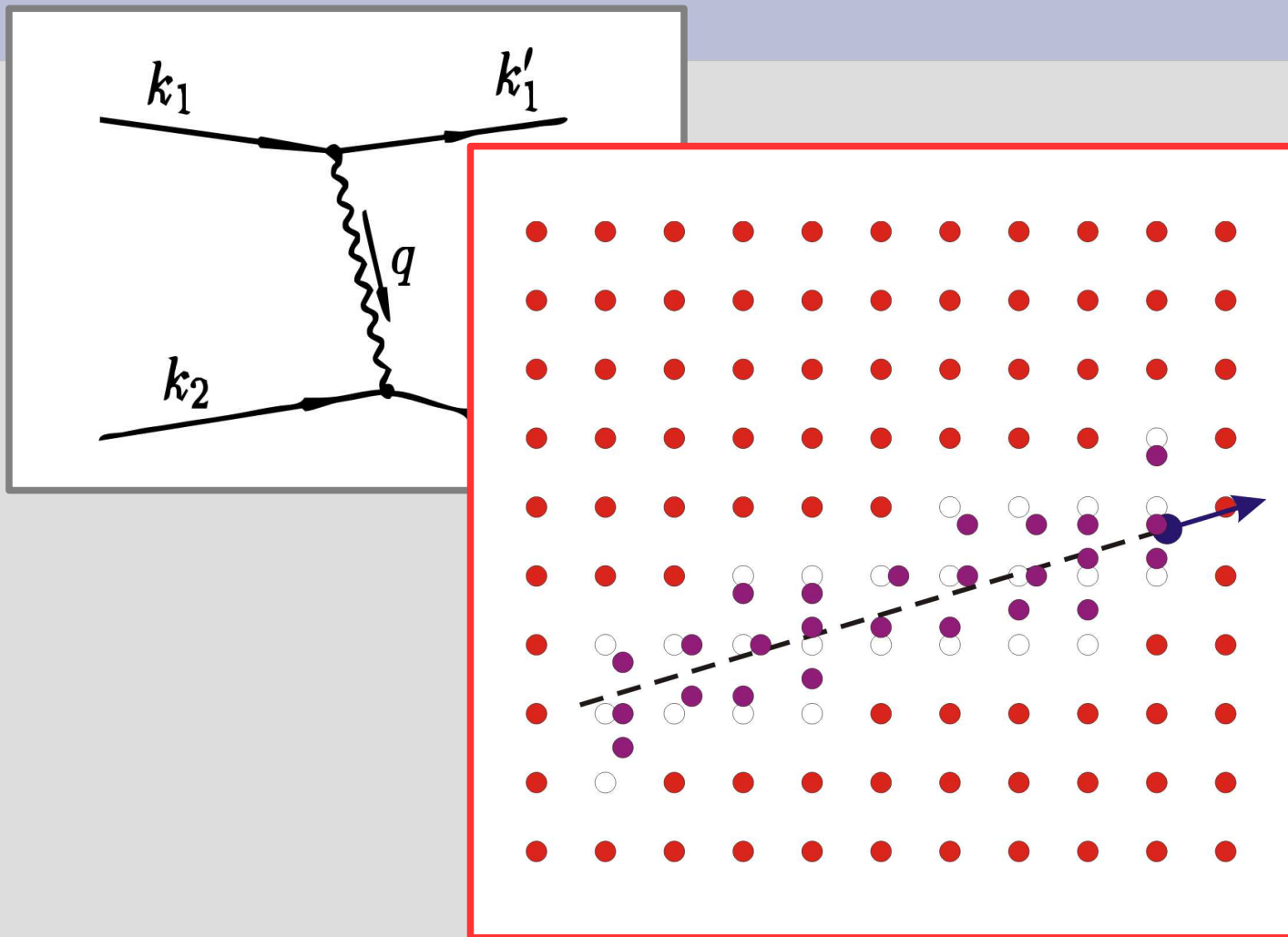
# Формирование куперовских пар



# Формирование куперовских пар

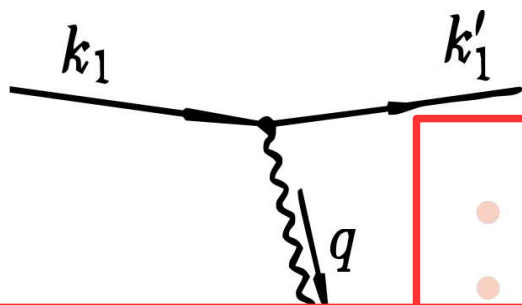


# Формирование куперовских пар

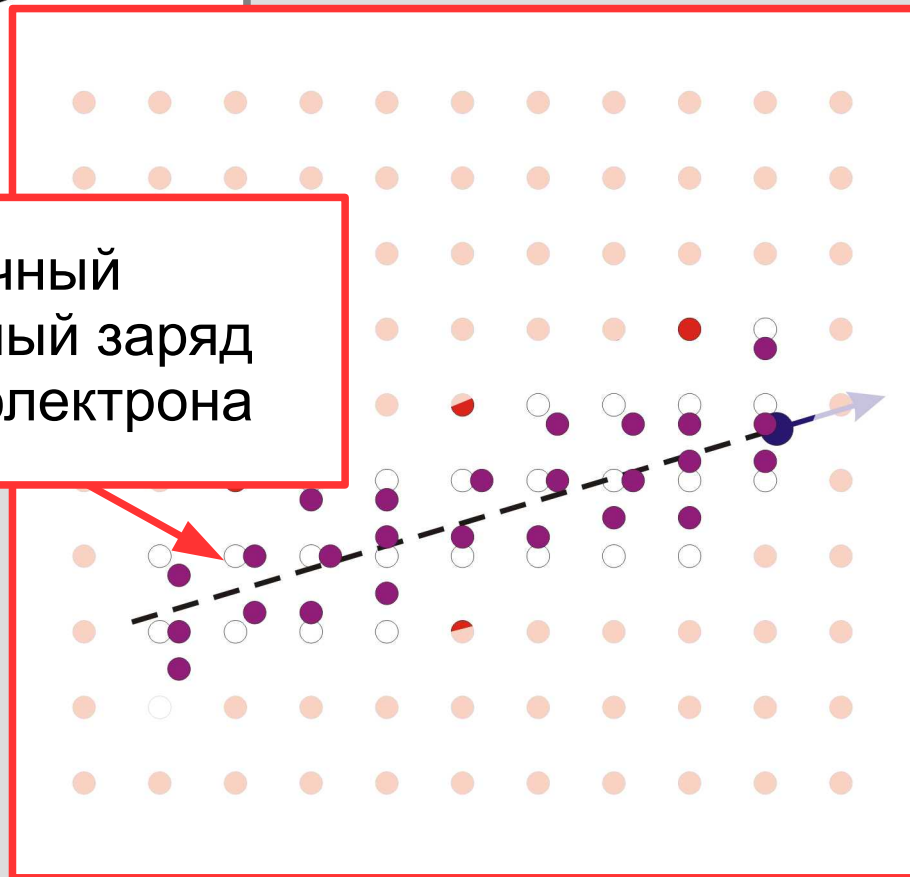




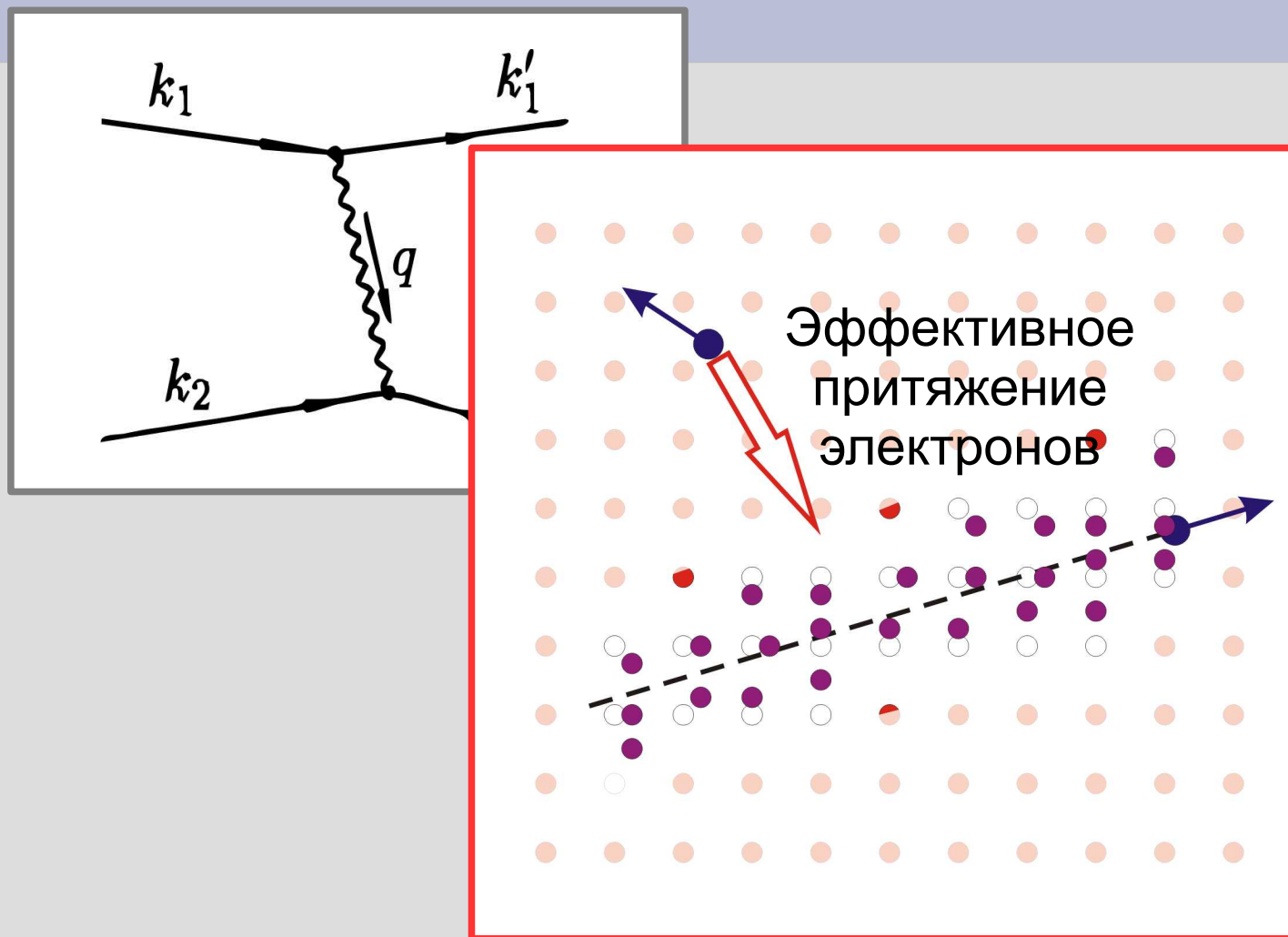
# Формирование куперовских пар



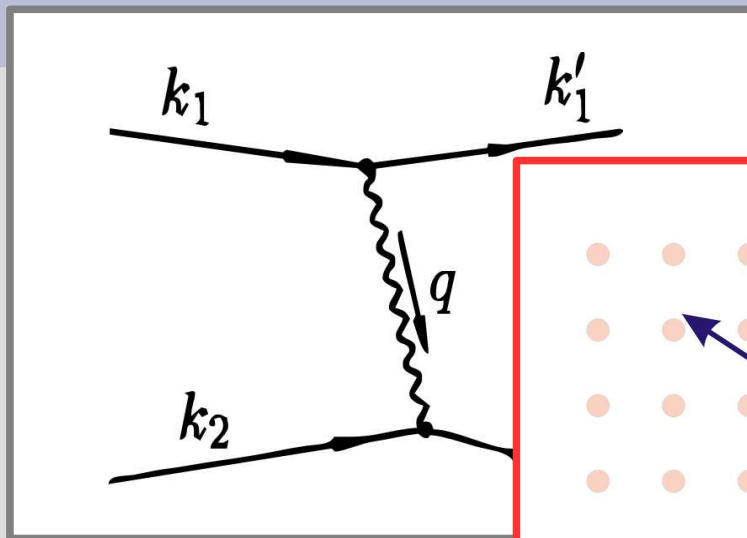
Избыточный  
положительный заряд  
на «следе» электрона



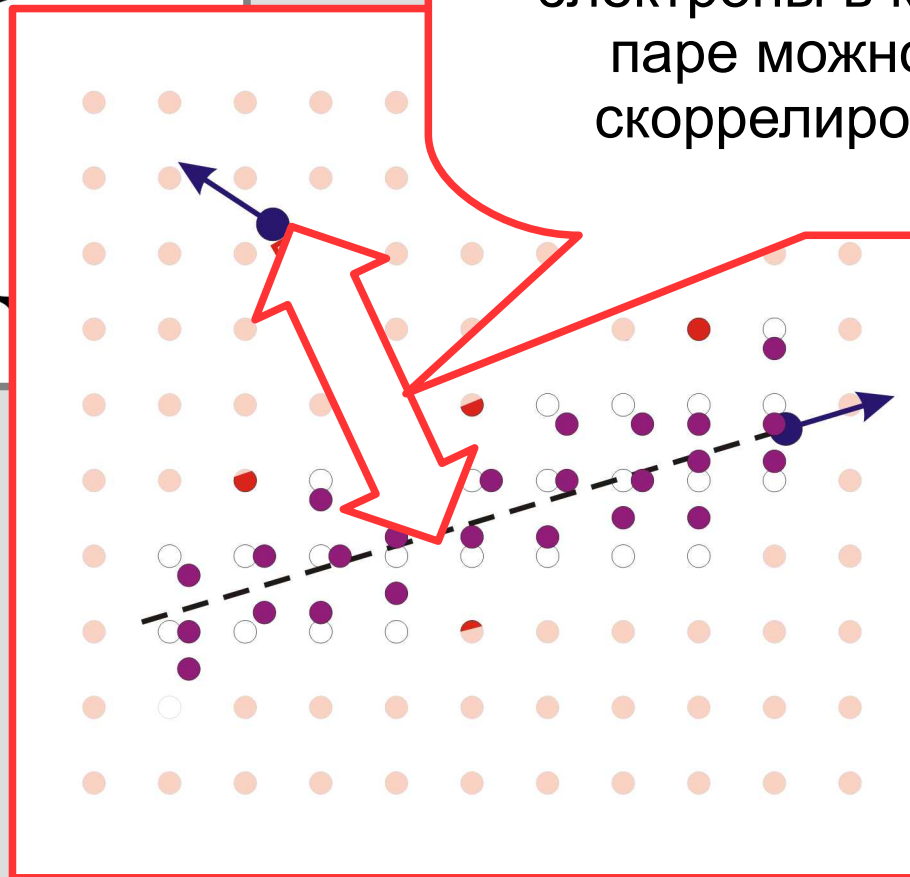
# Формирование куперовских пар



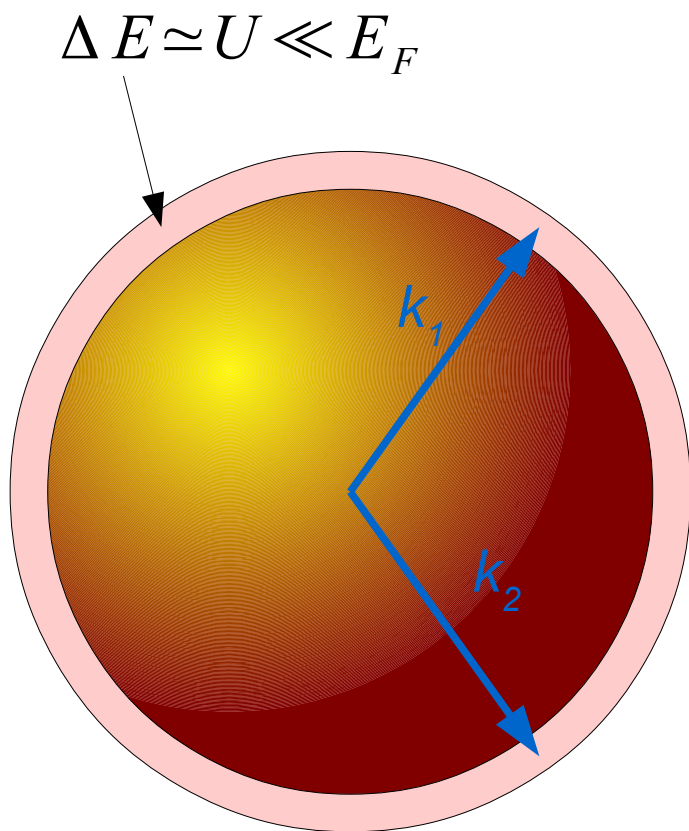
# Формирование купер



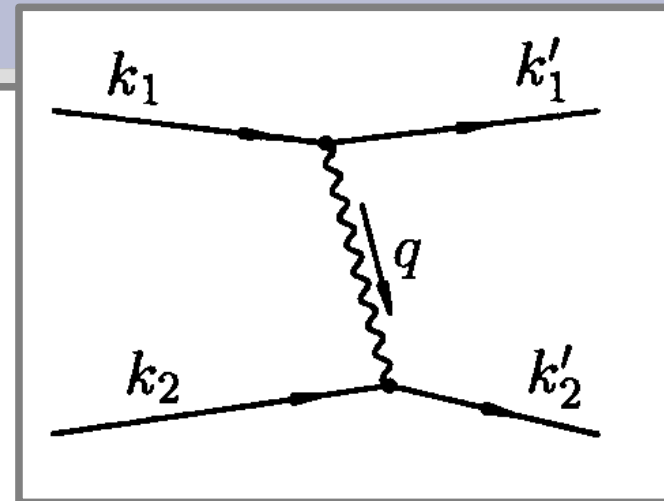
Длина когерентности  $\xi$  —  
характерный  
пространственный  
масштаб, на котором  
электроны в куперовской  
паре можно считать  
скоррелированными.



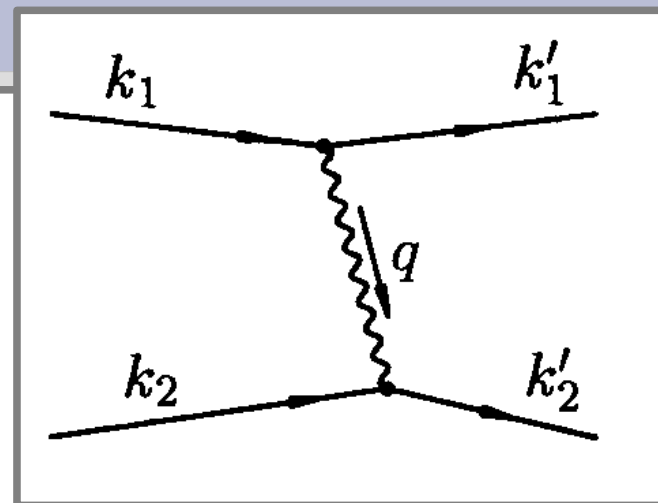
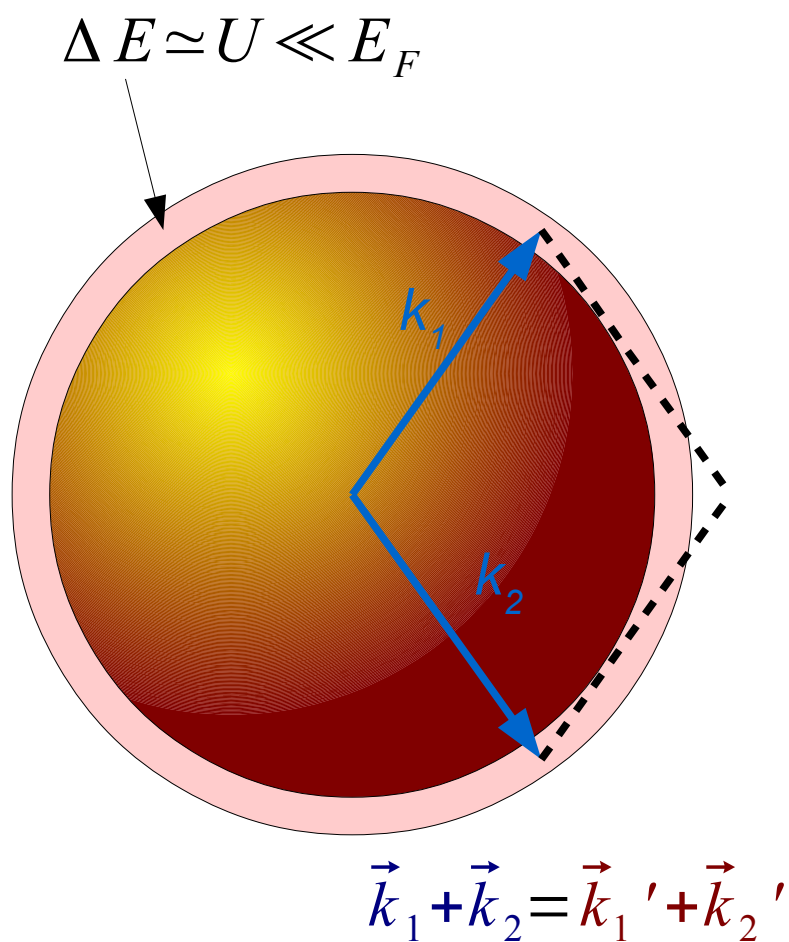
# Какие электроны образуют куперовскую пару?



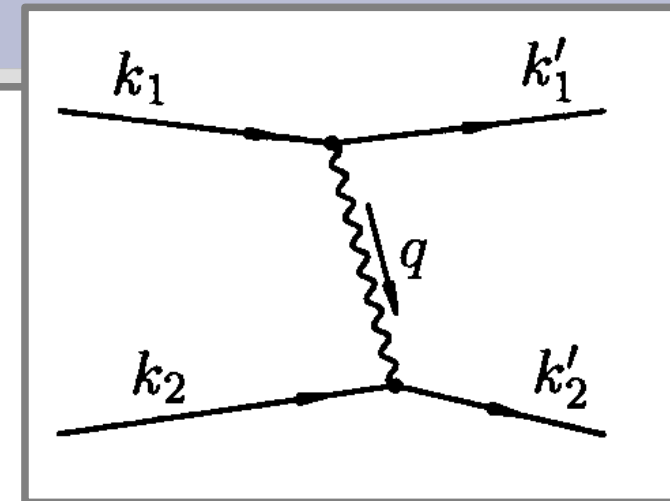
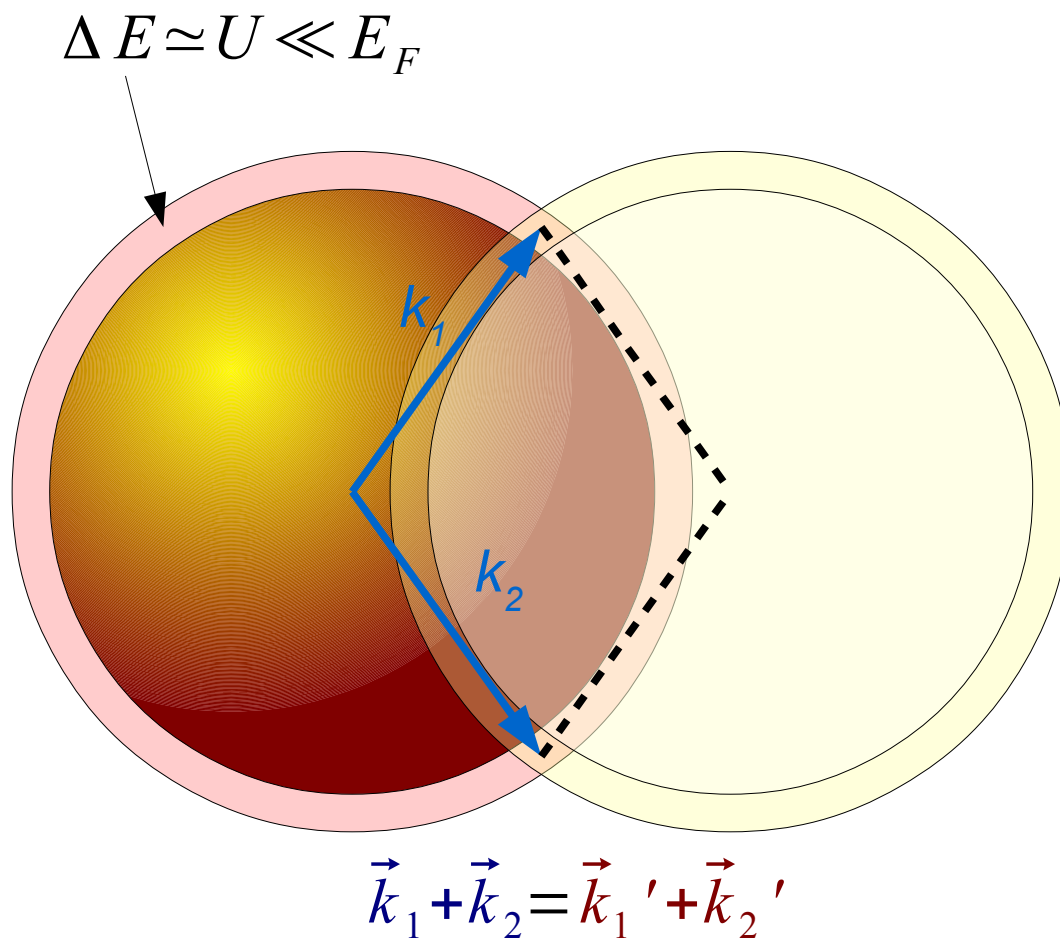
$$\vec{k}_1 + \vec{k}_2 = \vec{k}_1' + \vec{k}_2'$$



# Какие электроны образуют куперовскую пару?



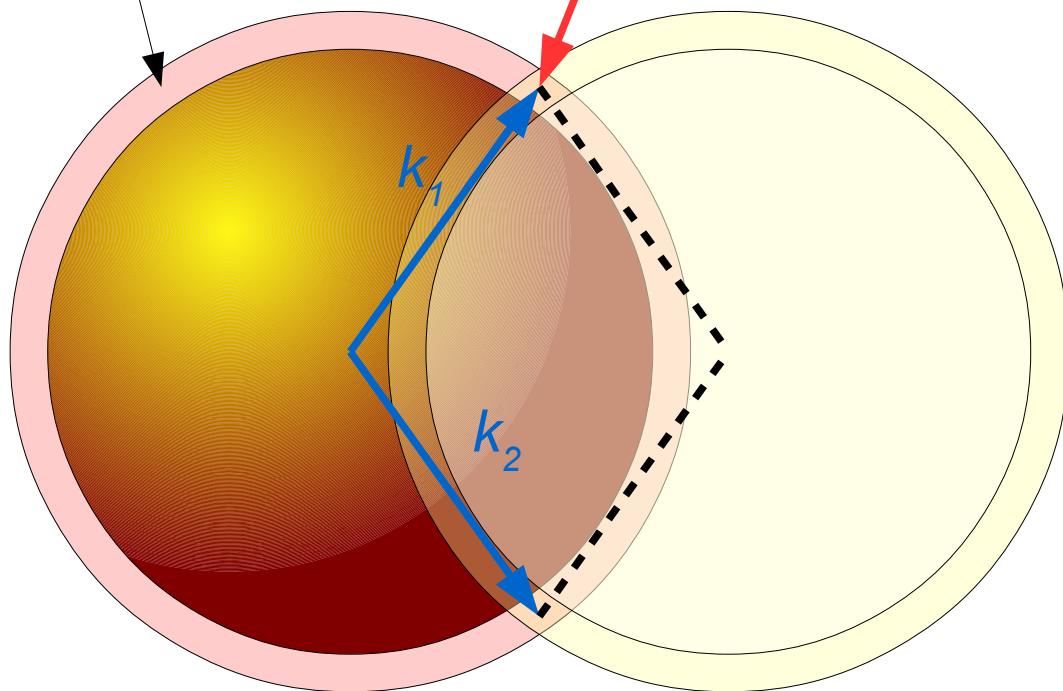
# Какие электроны образуют куперовскую пару?



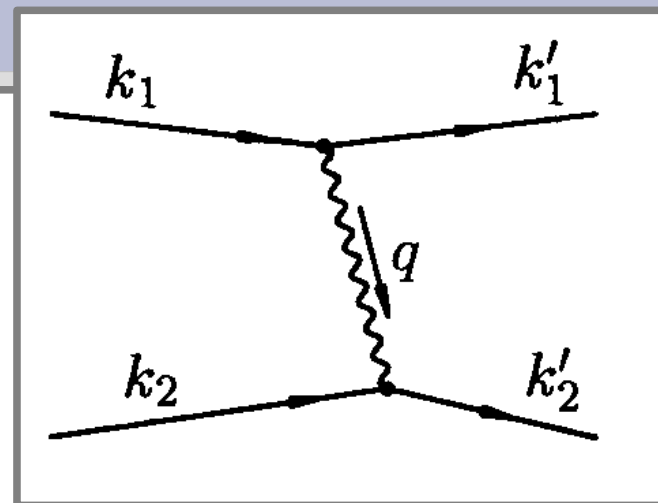
# Какие электроны образуют куперовскую пару?

кольцевой слой  
«разрешенных»  
значений  $k_1'$  и  $k_2'$

$$\Delta E \simeq U \ll E_F$$



$$\vec{k}_1 + \vec{k}_2 = \vec{k}_1' + \vec{k}_2'$$



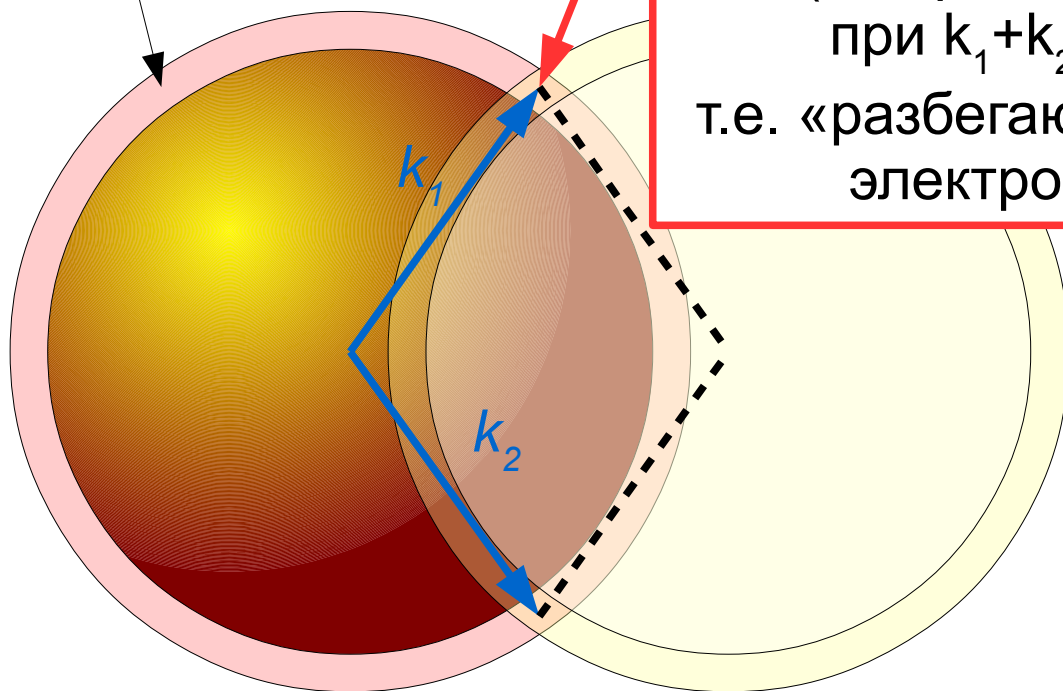


# Какие электроны образуют куперовскую пару?

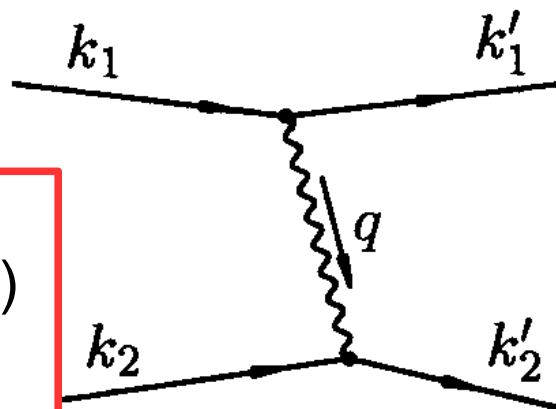
кольцевой слой  
«разрешенных»  
значений  $k_1'$  и  $k_2'$

максимальный стат.  
вес («шаровой слой»)  
при  $k_1 + k_2 = 0$ ,  
т.е. «разбегающиеся»  
электроны

$$\Delta E \simeq U \ll E_F$$



$$\vec{k}_1 + \vec{k}_2 = \vec{k}_1' + \vec{k}_2'$$



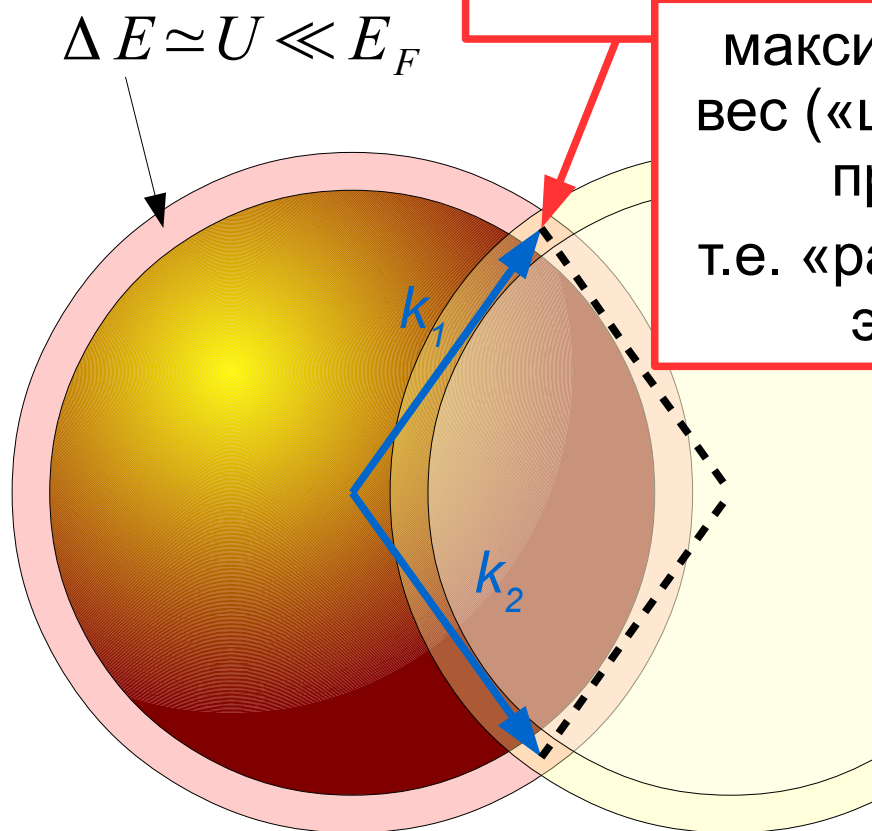
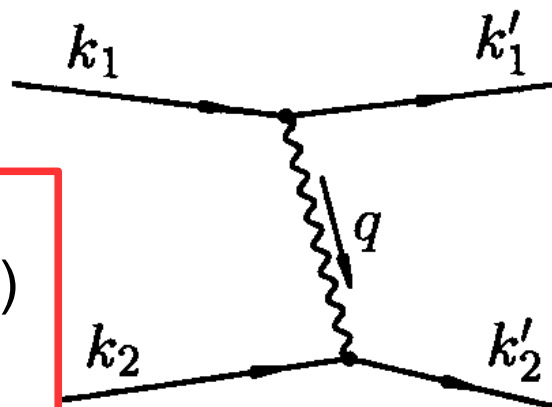


# Какие электроны образуют куперовскую пару?

кольцевой слой  
«разрешенных»  
значений  $k_1'$  и  $k_2'$

максимальный стат.  
вес («шаровой слой»)  
при  $k_1 + k_2 = 0$ ,  
т.е. «разбегающиеся»

э



$$\vec{k}_1 + \vec{k}_2 = \vec{k}_1' + \vec{k}_2'$$

$$\frac{\delta k}{k_F} \sim \frac{U}{E_F} \sim \frac{\Delta}{E_F}$$

$$\xi \sim \frac{1}{\delta k} \sim a \frac{E_F}{\Delta} = 1000 \dots 10000 \text{ \AA}$$

## Как построить теорию БКШ...

$$\begin{aligned}\hat{H} &= \sum E_k^{(0)} a_k^+ a_k + \sum E^{(2)} a_{k_1}^+ a_{k_2}^+ a_{k_1} a_{k_2} = \\ &= \sum E_k^{(0)} a_k^+ a_k + E^{(2)} \sum \left( a_k^+ a_{-k}^+ + a_k a_{-k} \right)\end{aligned}$$

$$b_k = u_k a_k + v_k a_{-k}^+$$

$$\hat{H} = E_0 + \sum_k \varepsilon(k) b_k^+ b_k$$

$$\varepsilon(k) = \sqrt{\Delta^2 + \hbar^2 V_F^2 (k - k_F)^2}$$

# Как построить теорию БКШ...

$$\hat{H} = \sum_k E_k^{(0)} a_k^+ a_k + \sum_k \dots + \dots$$

$$= \sum_k E_k^{(0)} a_k^+ a_k + E^{(0)}$$

$$b_k = u_k a_k + v_k a_{-k}^+$$

$$\hat{H} = E_0 + \sum_k \dots$$

$$\varepsilon(k) = \sqrt{\Delta^2 + \dots}$$

важные точные результаты  
модели БКШ

$$\Delta = \frac{k_B \Theta_D}{\text{sh}\left(1/(N^{(0)} V)\right)} \approx 2 k_B \Theta_D \exp\left(-1/(N^{(0)} V)\right)$$

$$\Delta E = E_s - E_n = -\frac{N^{(0)} \Delta^2}{2}$$

$$2\Delta = 3.52 k_B T_c$$

# Спин и момент импульса куперовской пары

s, p, d — спаривание, классифицируется по моменту импульса пары.

В обычных сверхпроводниках имеет место s-спаривание,  $L=0$

$$P_L = (-1)^L$$

$$|0,0\rangle = |\uparrow\downarrow\rangle - |\downarrow\uparrow\rangle$$

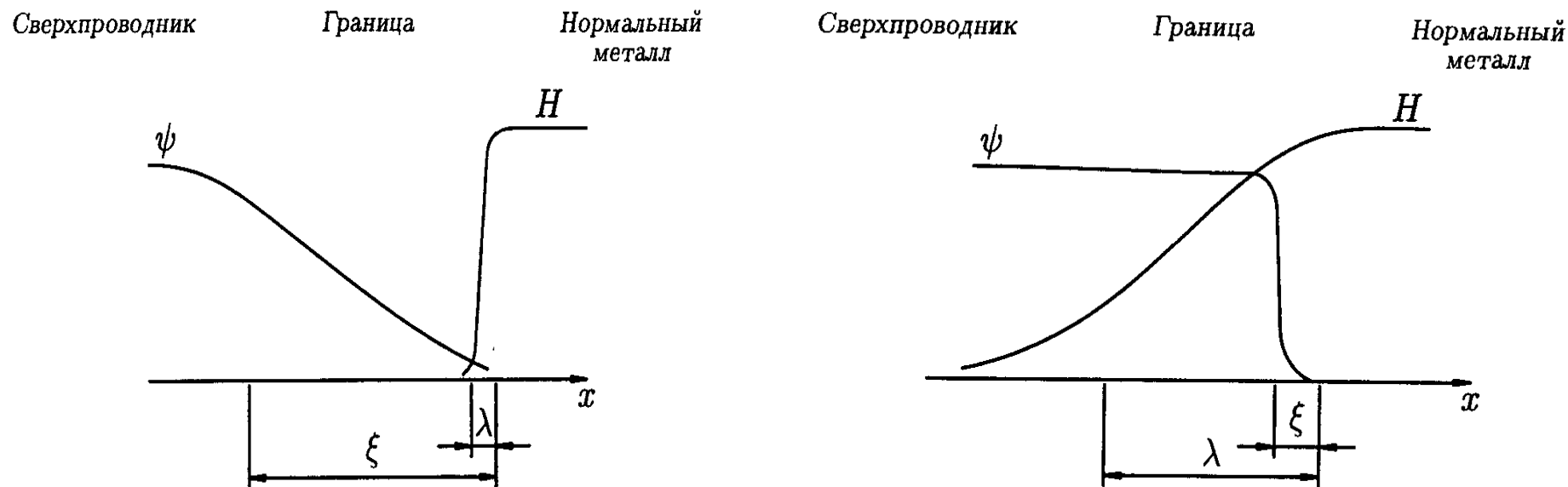
$$|1,1\rangle = |\uparrow\uparrow\rangle$$

В паре с s-спариванием спин пары  $S=0$



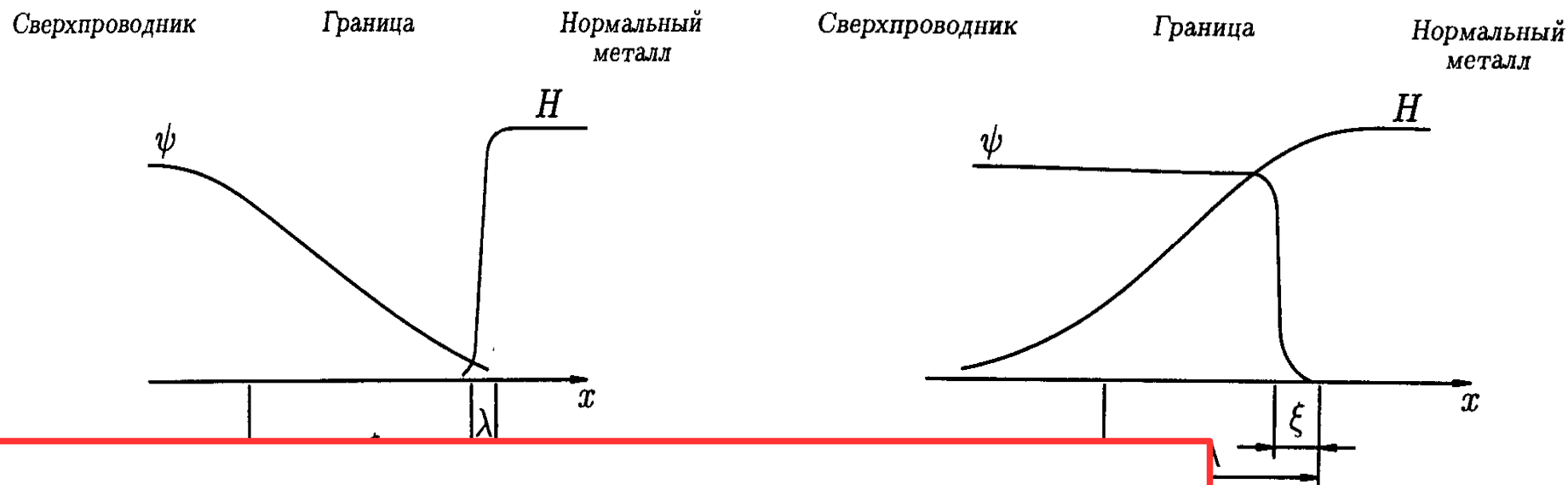
## Часть 2. Сверхпроводники I и II рода: взгляд со стороны микроскопии

# Энергия границы нормальной и сверхпроводящей фаз.



Проникновение магнитного поля и изменение концентрации куперовских пар на границе сверхпроводящей и нормальной фаз для разного соотношения между глубиной проникновения и длиной когерентности. Из книги Шмидта.

# Энергия границы нормальной и сверхпроводящей фаз.



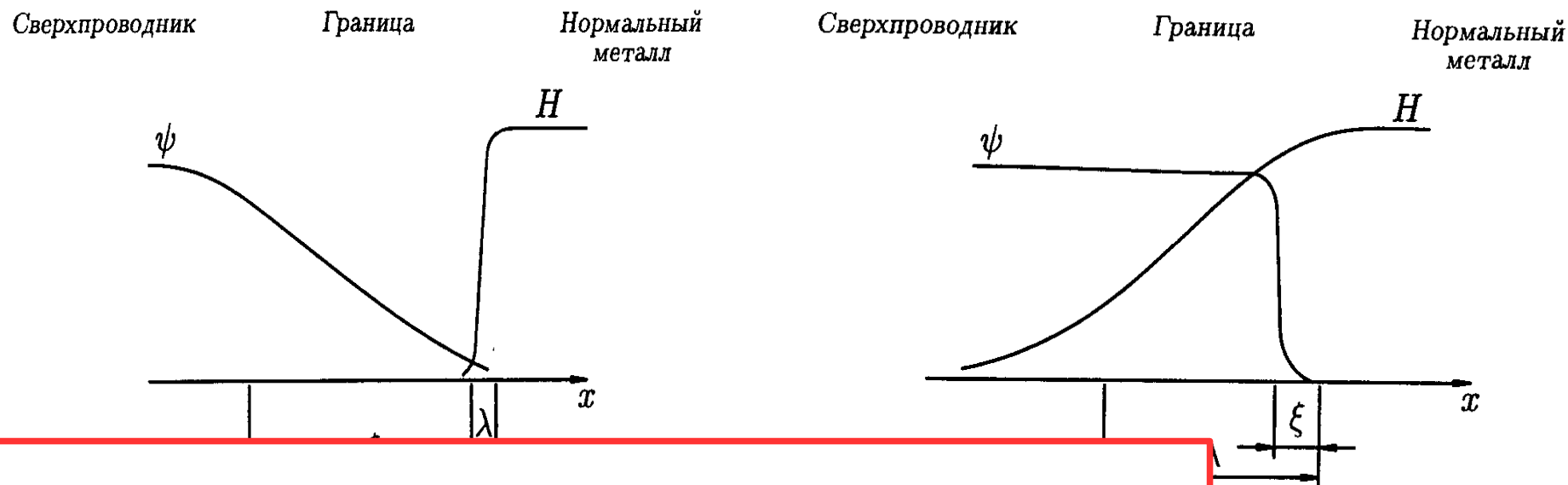
Проникновение магнитного поля в сверхпроводник *понижает* энергию (на единицу площади)

$$\sigma_{\lambda} \simeq -\frac{H_c^2}{8\pi} \lambda$$

мальной фаз для разного соотношения



# Энергия границы нормальной и сверхпроводящей фаз.



Проникновение магнитного поля в сверхпроводник *понижает* энергию (на единицу площади)

$$\sigma_{\lambda} \simeq -\frac{H_c^2}{8\pi} \lambda$$

мальной фаз для разного соотношения

Снижение концентрации куперовских пар у границы *увеличивает* энергию

$$\sigma_{\xi} \simeq \frac{H_c^2}{8\pi} \xi$$

$$\kappa = \frac{\lambda}{\xi}$$

$$\kappa < \frac{1}{\sqrt{2}}$$

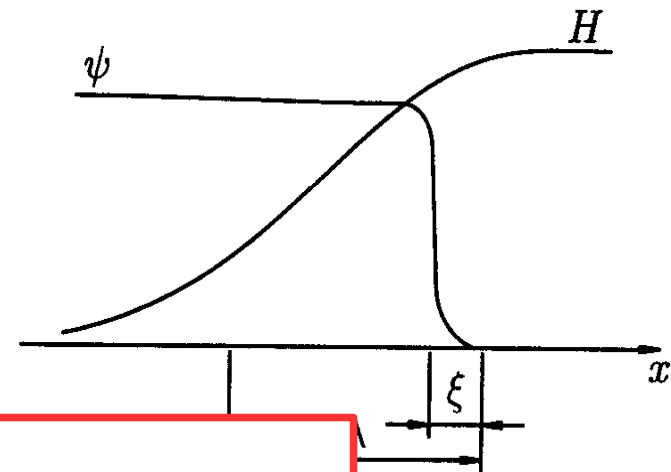
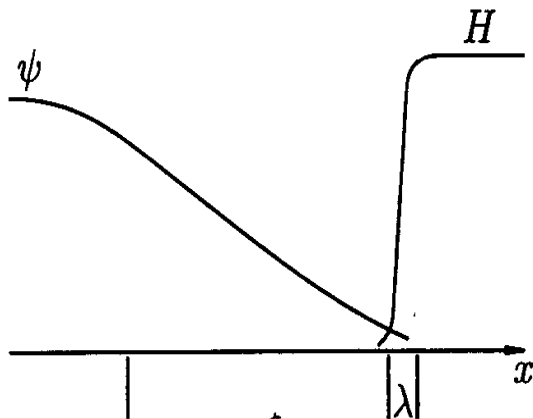
граница невыгодна,  
I род

$$\kappa > \frac{1}{\sqrt{2}}$$

выгодно появление  
границ, II род

Сверхпроводник

нормальный  
металл



Проникновение магнитного поля в  
сверхпроводник *понижает* энергию  
(на единицу площади)

$$\sigma_{\lambda} \simeq -\frac{H_c^2}{8\pi} \lambda$$

мальной фаз для разного соотношения

Снижение концентрации  
куперовских пар у границы  
*увеличивает* энергию

$$\sigma_{\xi} \simeq \frac{H_c^2}{8\pi} \xi$$

$$\kappa = \frac{\lambda}{\xi}$$

$$\kappa < \frac{1}{\sqrt{2}}$$

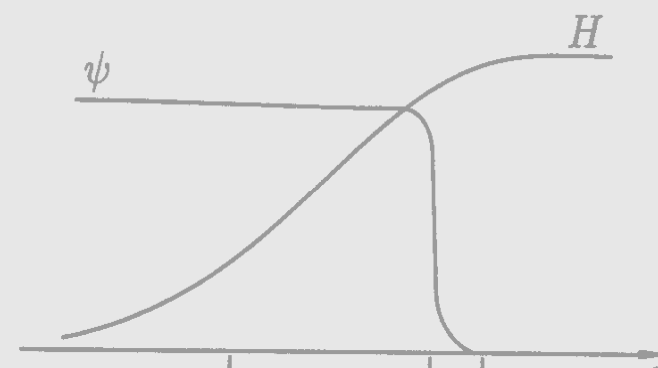
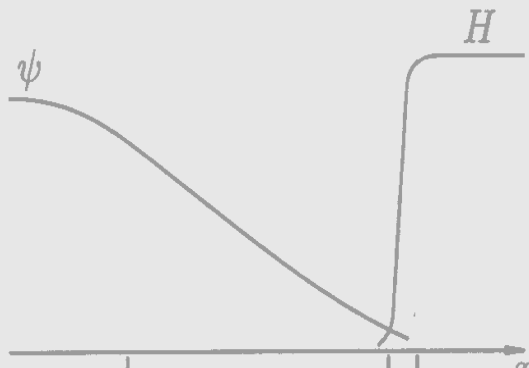
граница невыгодна,  
I род

$$\kappa > \frac{1}{\sqrt{2}}$$

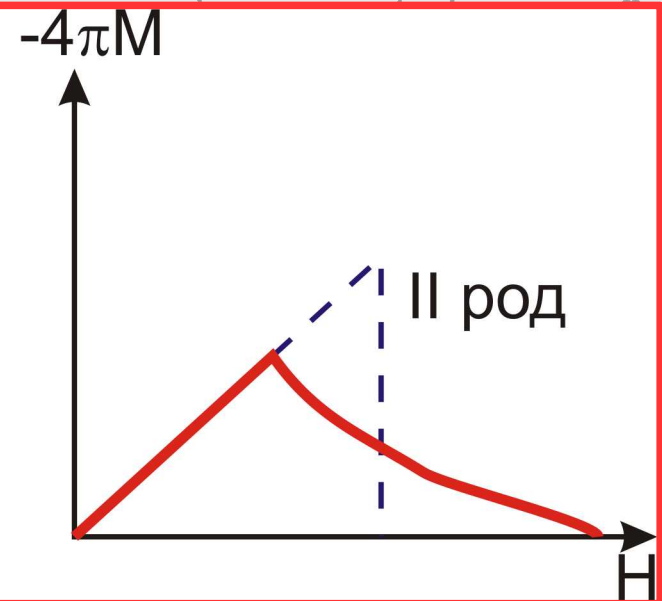
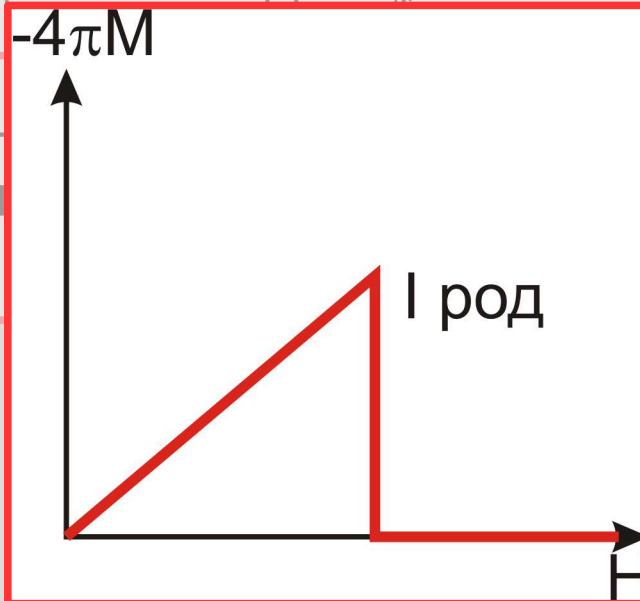
выгодно появление  
границ, II род

Сверхпроводник

нормальный  
металл



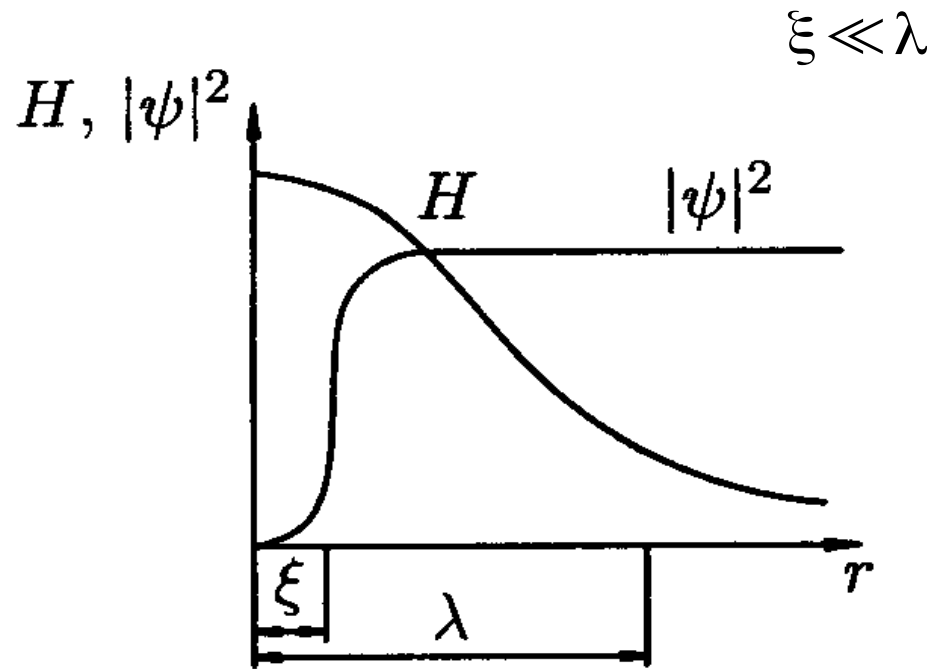
Проникновение  
сверхпровод  
(на единицу



отношения

$$\frac{H_c^2}{8\pi} \xi$$

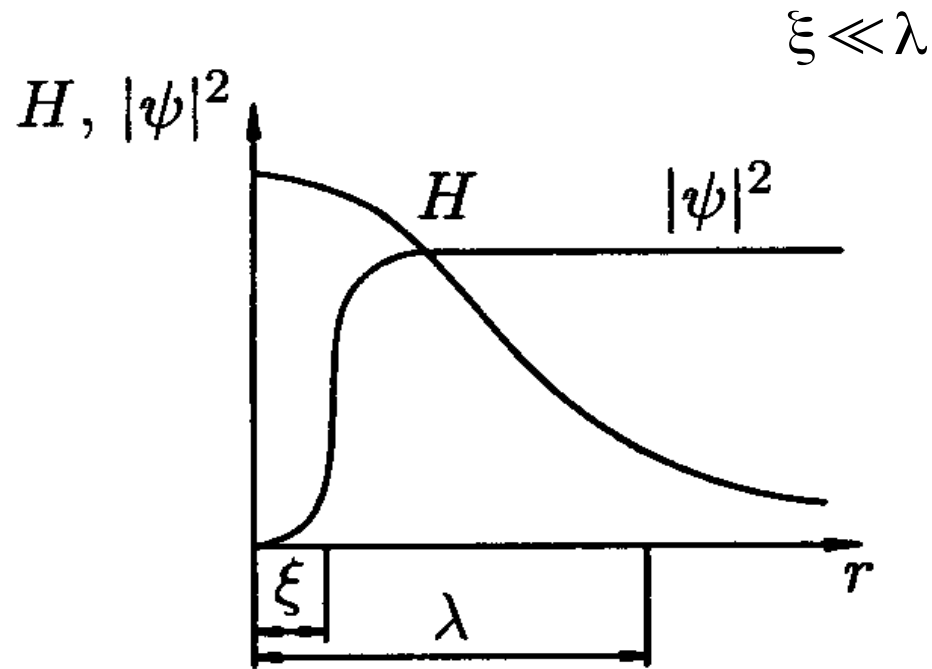
# Вихрь в сверхпроводнике II рода.



Распределение магнитного поля и концентрации куперовских пар в одиночном вихре. Из книги Шмидта

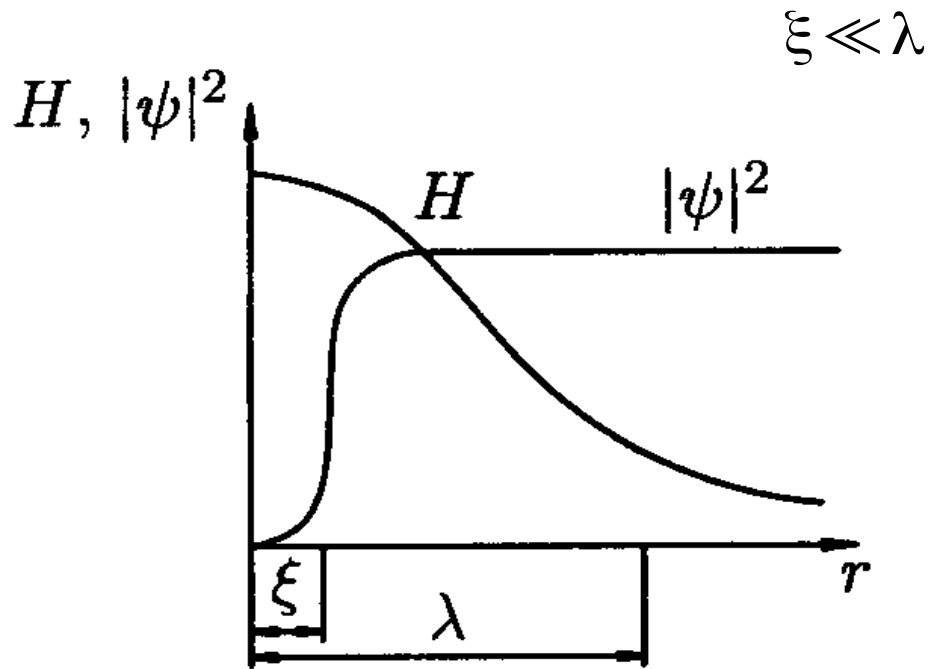
# Вихрь в сверхпроводнике II рода.

$$\Phi = n \Phi_0$$



Распределение магнитного поля и концентрации куперовских пар в одиночном вихре. Из книги Шмидта

# Вихрь в сверхпроводнике II рода.



Распределение магнитного поля и концентрации куперовских пар в одиночном вихре. Из книги Шмидта

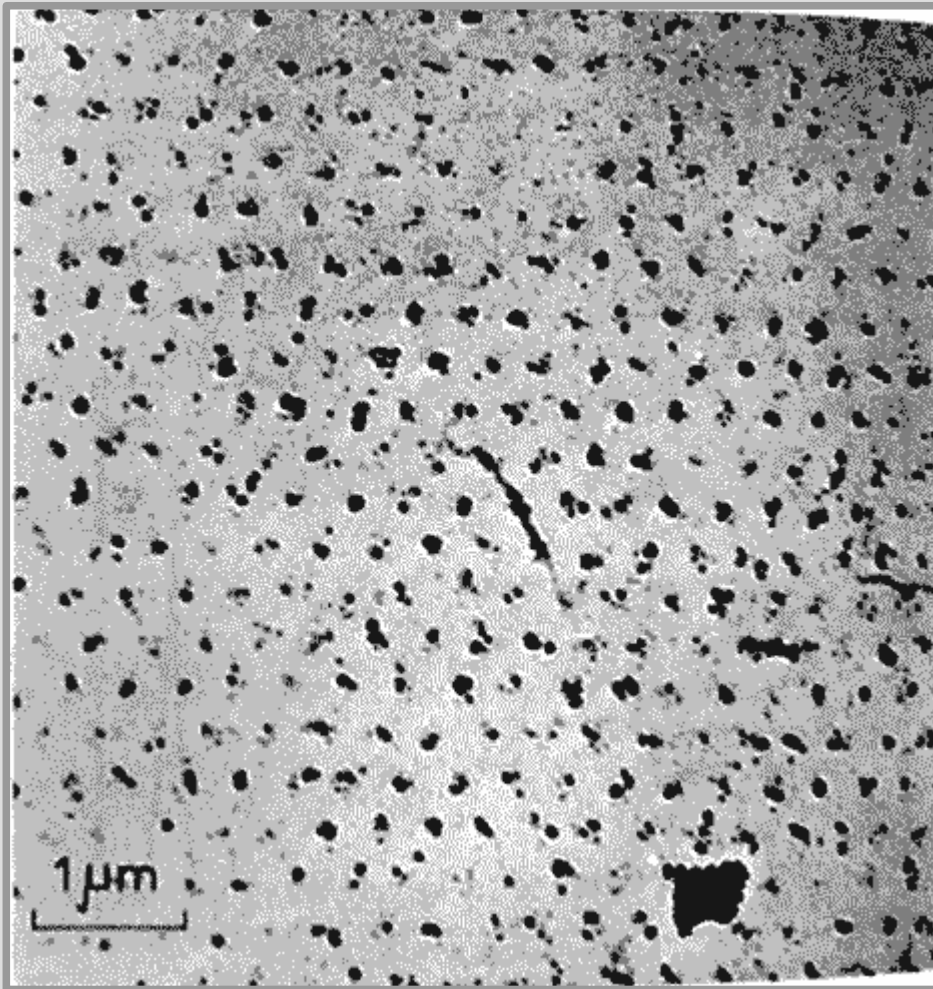
$$\Phi = n \Phi_0$$

для  $n > 1$   $j_n = n j_1$

$$W_{\text{кин}, n} = n^2 W_{\text{кин}, 1} > n W_{\text{кин}, 1}$$

«МНОГОКВАНТОВЫЕ»  
вихри не выгодны, есть  
эффективное  
отталкивание между  
вихрями

# Вихревая решётка

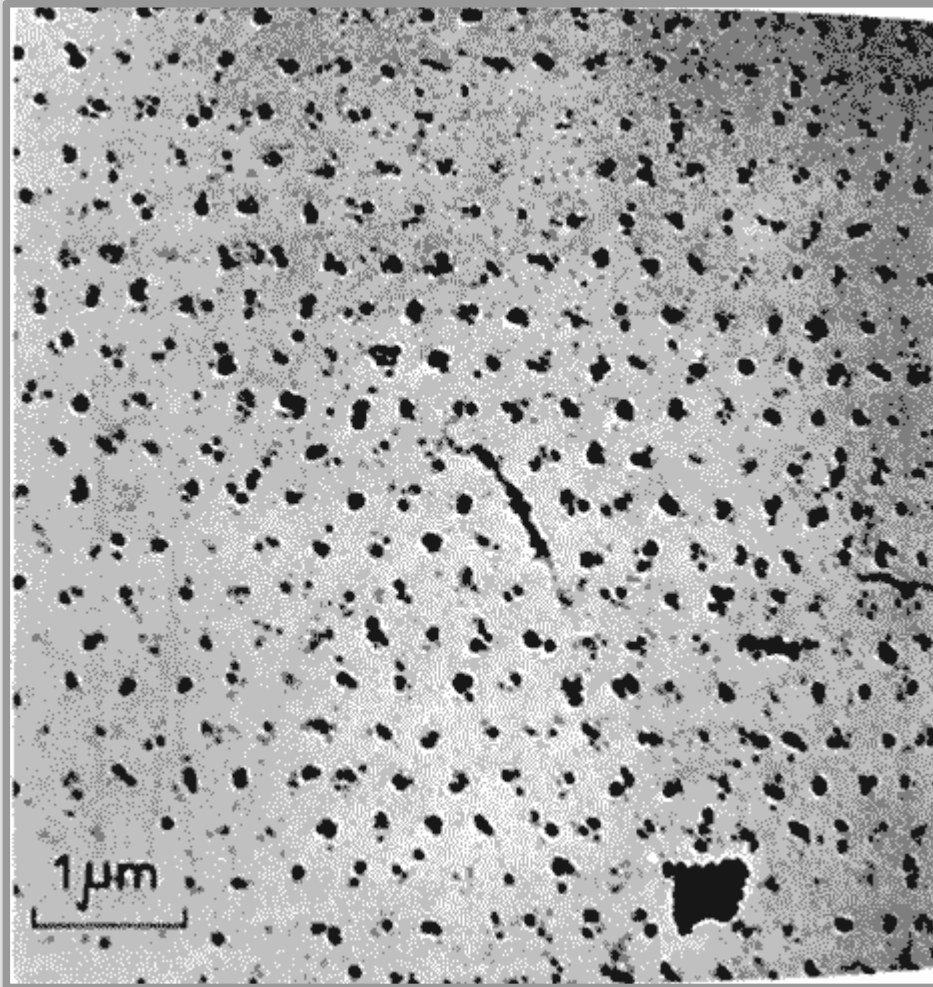


Формируется регулярная треугольная решётка, каждый вихрь несёт квант потока, поверхностная плотность вихрей и диамагнитный момент однозначно связаны.

Декорированная магнитным порошком поверхность сверхпроводника II рода (свинец с примесью 4% индия).  $T=1.1\text{K}$ , поле 3 кЭ.

U. Essmann, H. Träuble, The direct observation of individual flux lines in type II superconductors, Physics Letters A, 24, 526 (1967)

# Вихревая решётка



Формируется регулярная треугольная решётка, каждый вихрь несёт квант потока, поверхностная плотность вихрей и диамагнитный момент однозначно связаны.

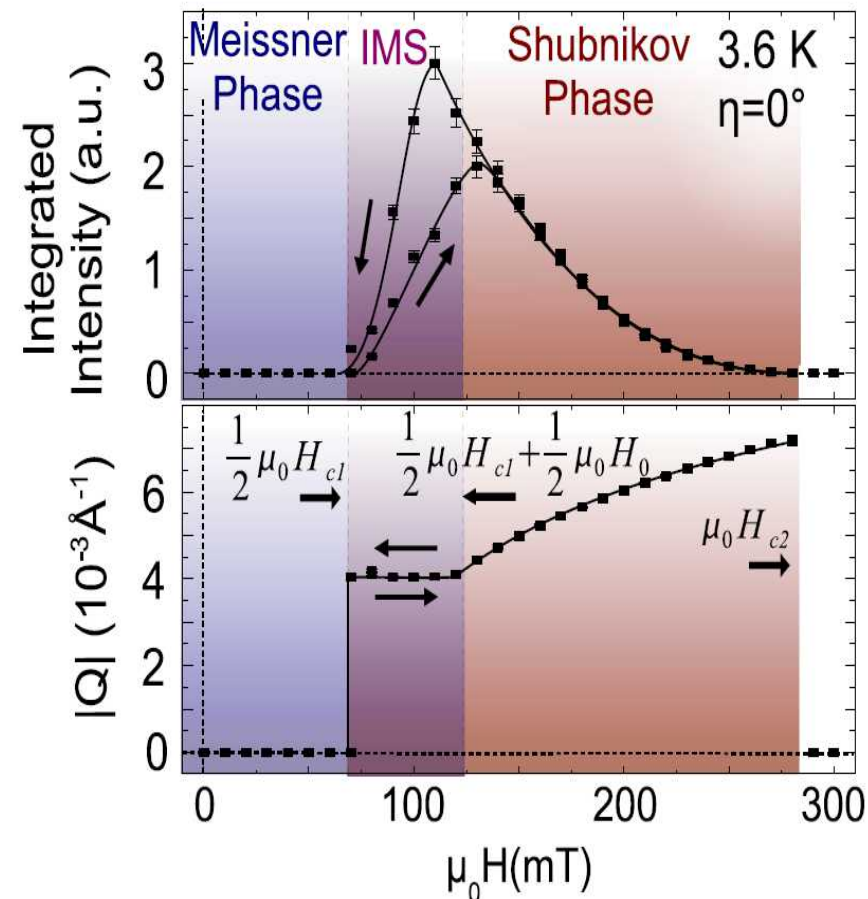
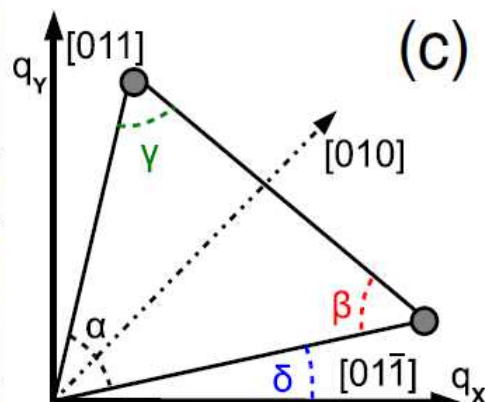
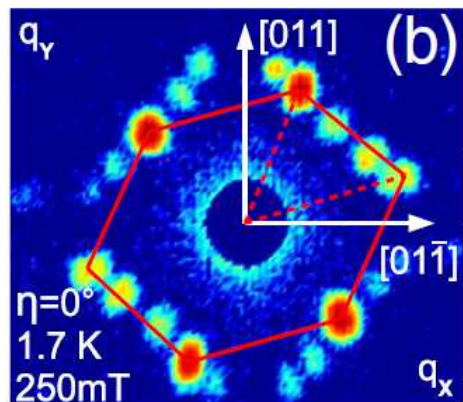
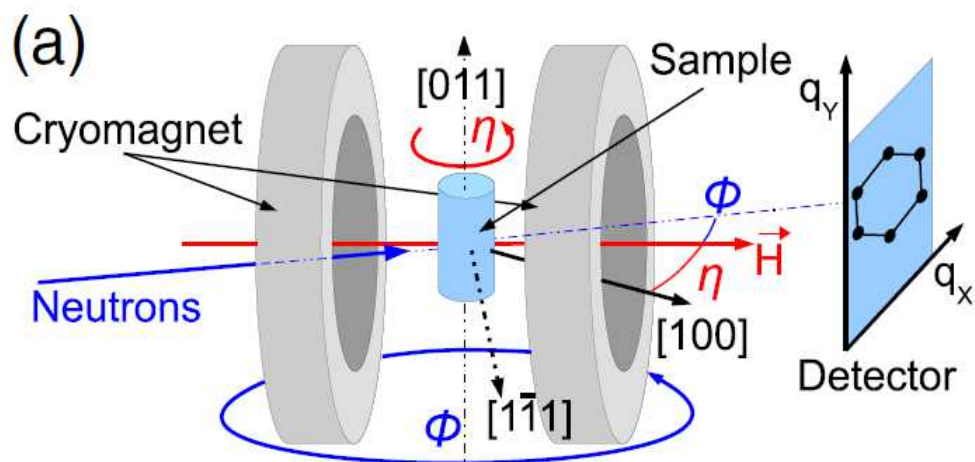
$$H_{c2} \sim \frac{\Phi_0}{\xi^2} \simeq \frac{2 \cdot 10^{-7}}{(10^{-6})^2} \sim 10^5 \text{ Гс}$$

Декорированная магнитным порошком поверхность сверхпроводника II рода (свинец с примесью 4% индия).  $T=1.1\text{K}$ , поле 3 кЭ.

U. Essmann, H. Träuble, The direct observation of individual flux lines in type II superconductors, Physics Letters A, 24, 526 (1967)



# Дифракция нейтронов на вихревой решётке.



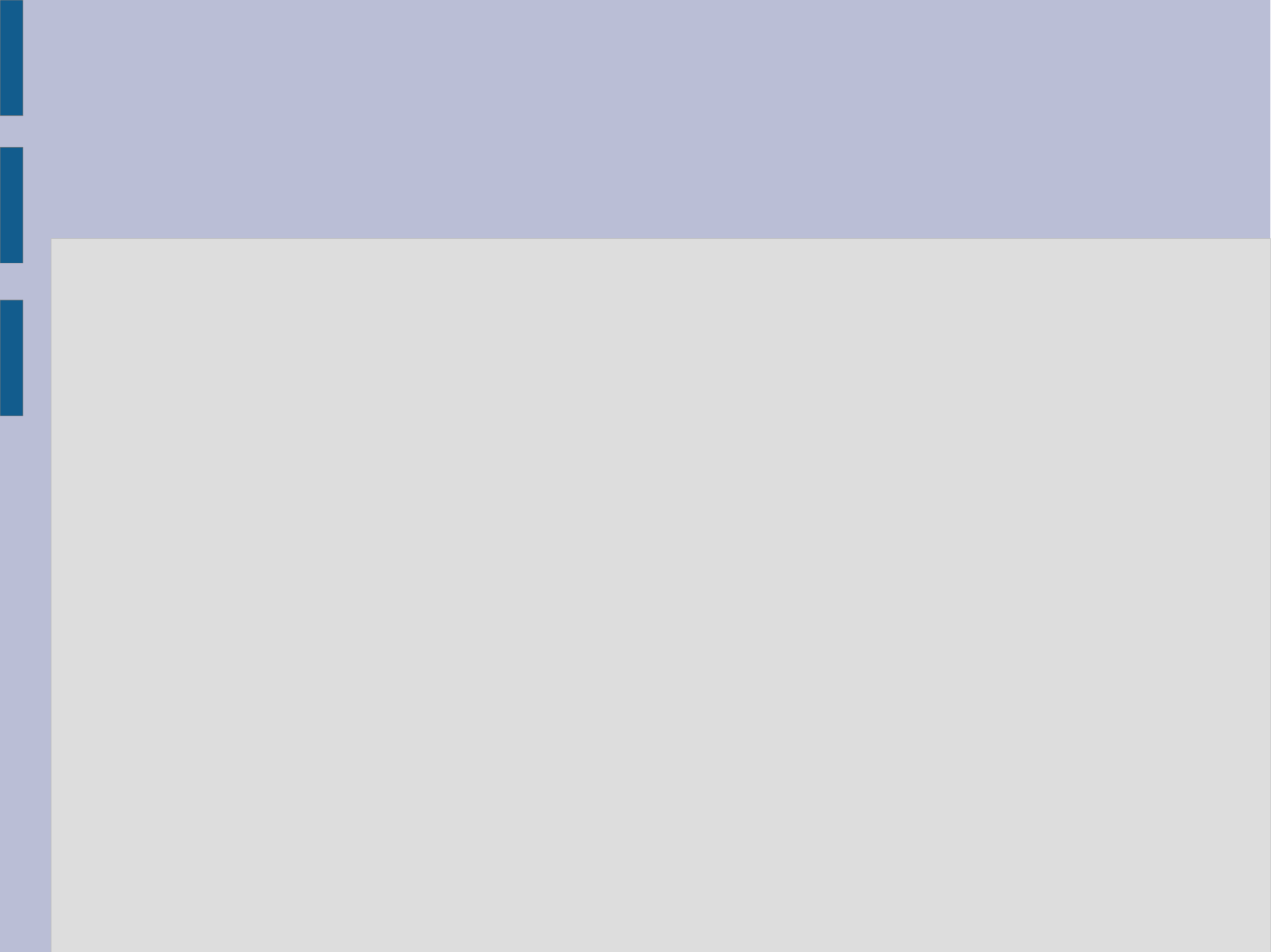
Наблюдение нейтронной дифракции на вихревой решётке в сверхпроводящем ниобии. Дебройлевская длина волны нейтронов  $12\text{\AA}$ , типичное изменение волнового вектора нейтронов порядка  $0.005\text{\AA}^{-1}$

S. Mühlbauer, C. Pfleiderer, P. Böni, M. Laver, E. M. Forgan, D. Fort, U. Keiderling, and G. Behr, Morphology of the Superconducting Vortex Lattice in Ultrapure Niobium, Phys. Rev. Lett., 102, 136408 (2009)

Всё ли понятно...

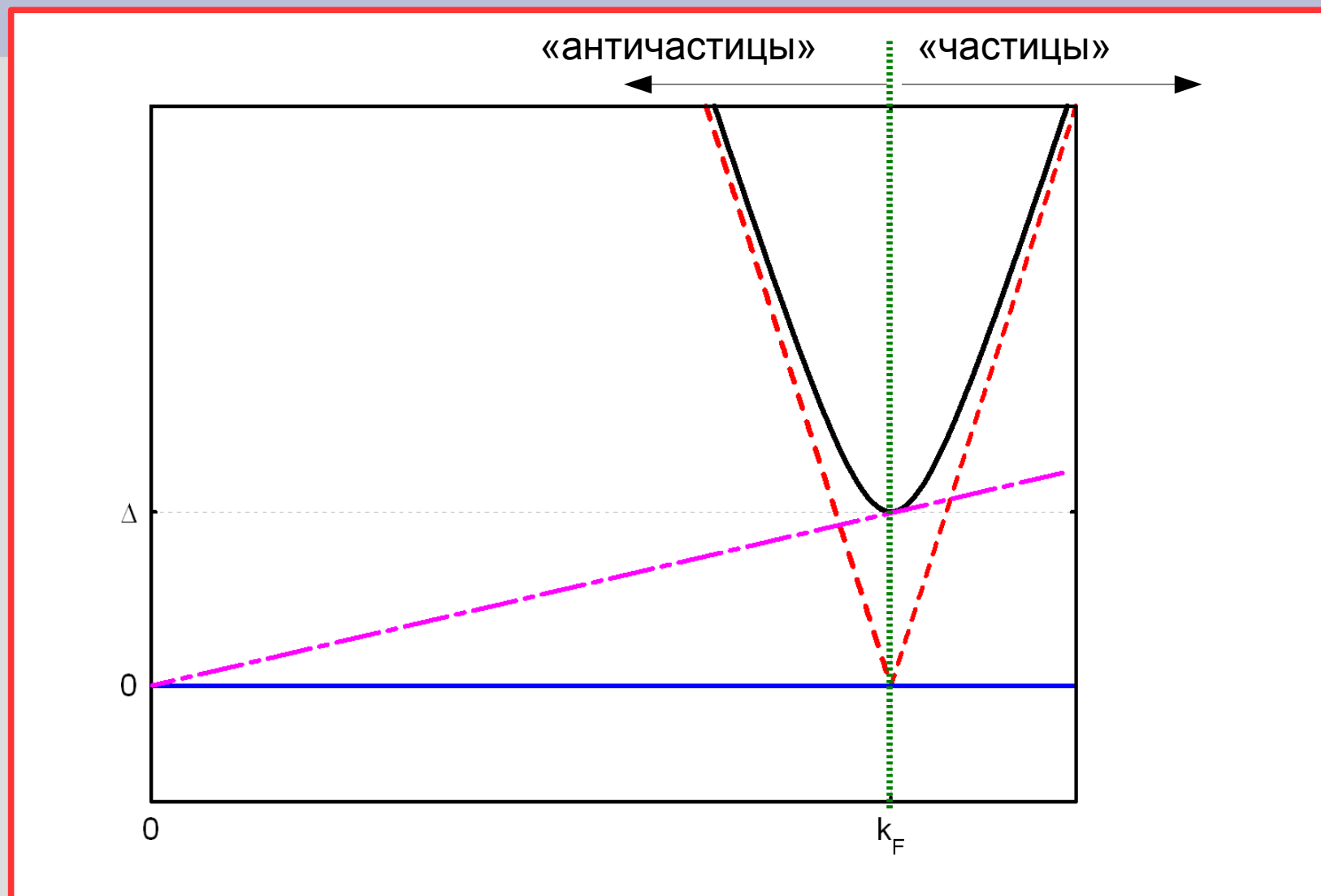


The Low Temp Physics Lab  
The  $3\pi$  Möbius Strip



# Часть 3. Энергетические диаграммы сверхпроводника

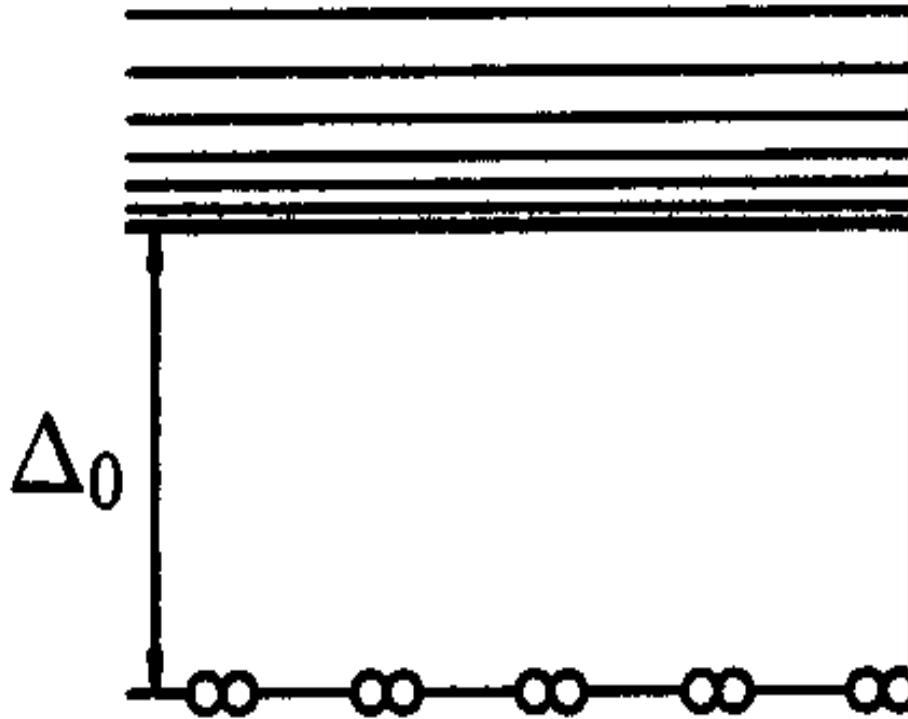
# Спектр возбуждений сверхпроводника и нормального металла (напоминание).



Спектр возбуждений в нормальном металле (пунктир) и сверхпроводнике (сплошная линия). Штрих-пунктирная линия показывает построение критической скорости Ландау. Нулевой уровень соответствует энергии основного состояния.

# Энергетические диаграммы сверхпроводника.

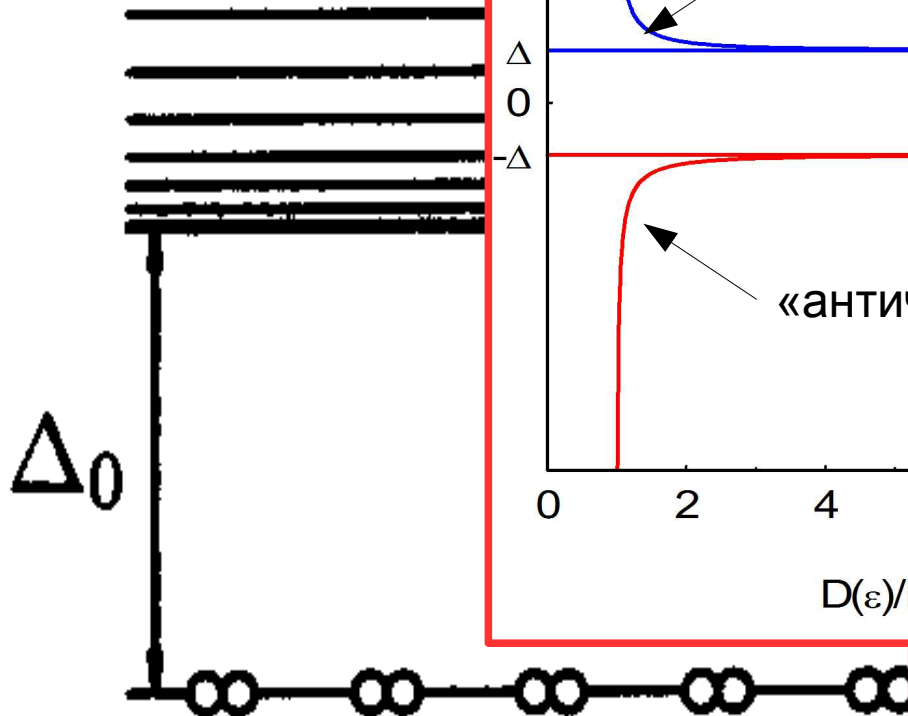
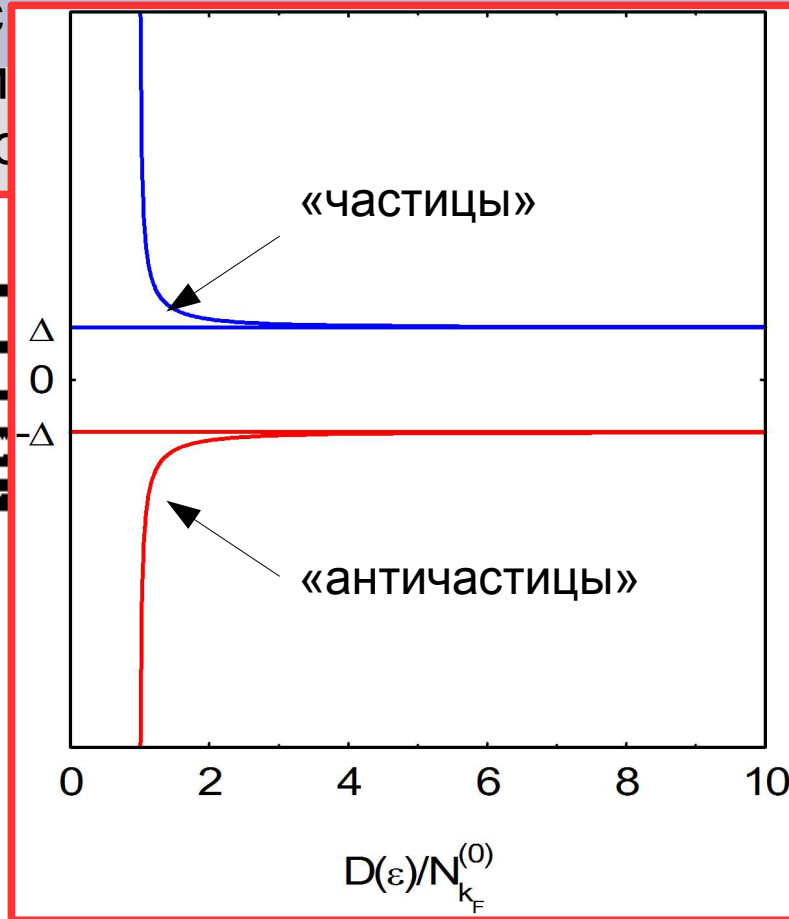
«схема с  
отображением  
ОСНОВНОГО СОСТОЯНИЯ»



# Энергетические диаграммы сверхпроводника.

«схема квазичастиц»

«схема с  
отображением  
основного состо

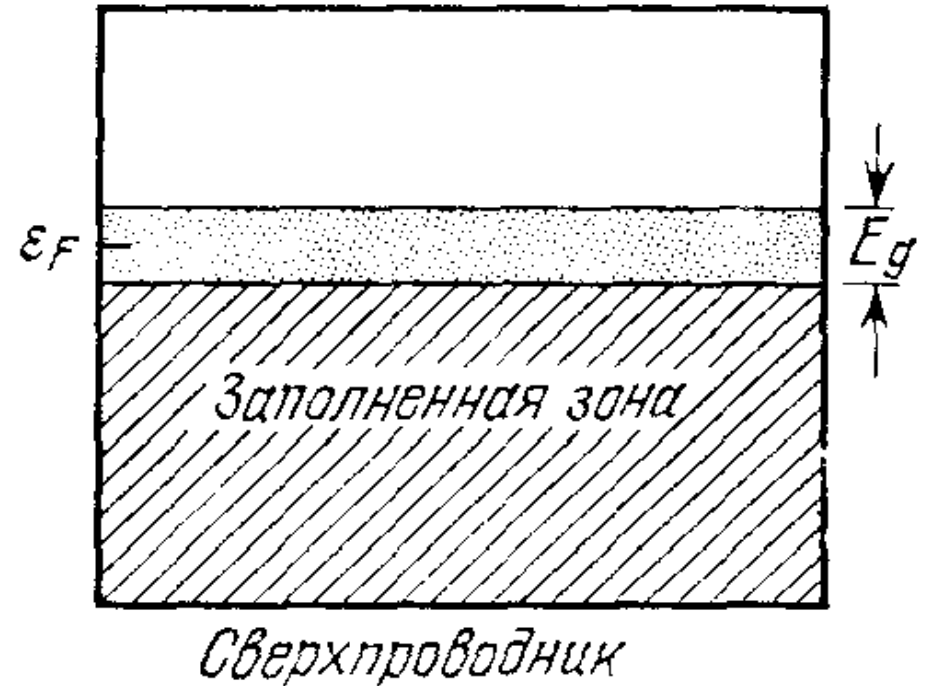
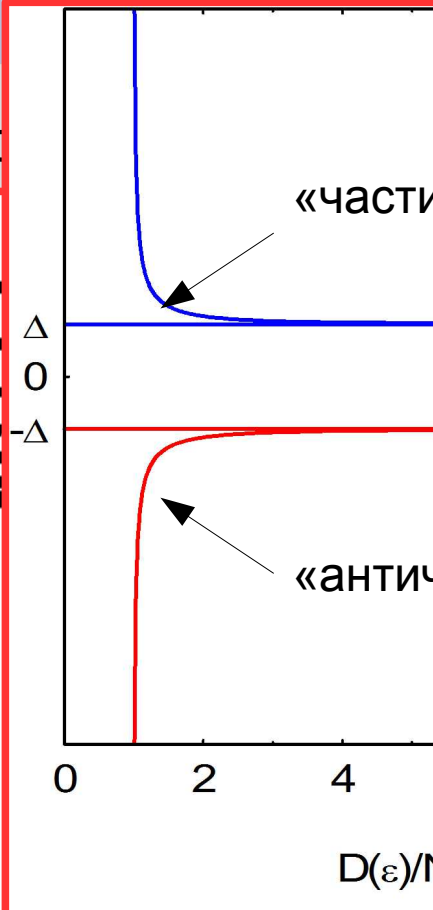
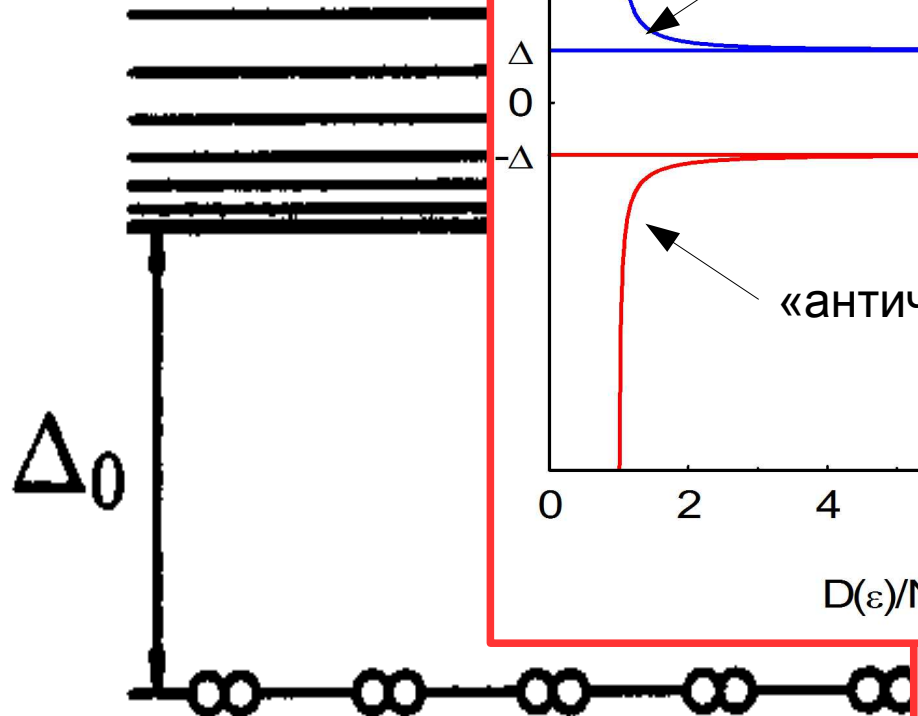




# Энергетические диаграммы сверхпроводника.

«схема с  
отображением  
основного состо

«схема кваз



б)

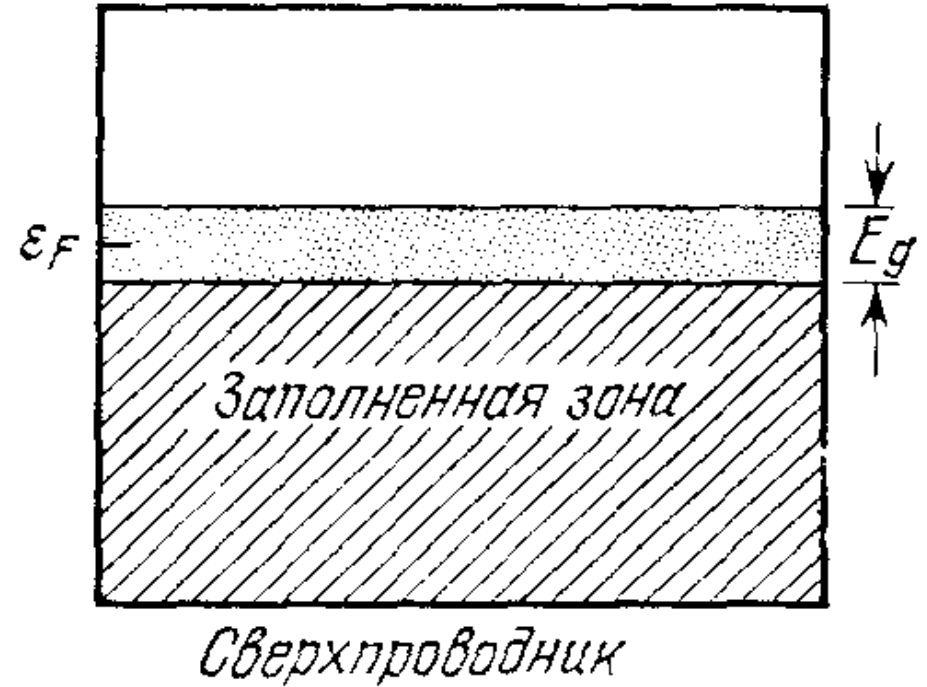
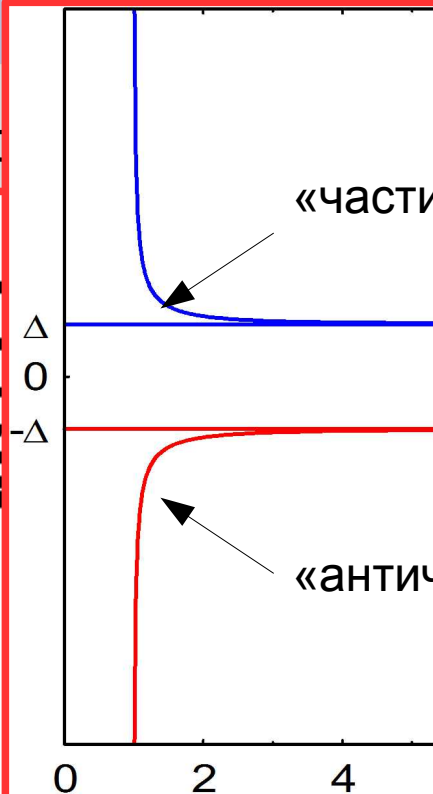
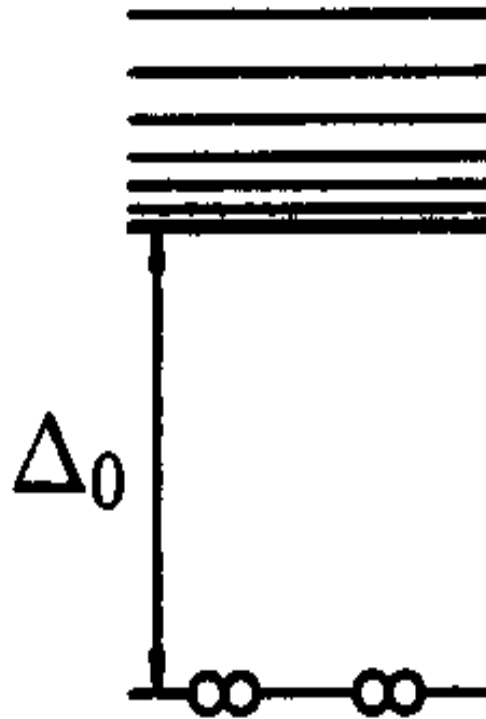
«полупроводниковая  
модель»



# Энергетические диаграммы сверхпроводника.

«схема с  
отображением  
основного состо

«схема кваз



б)

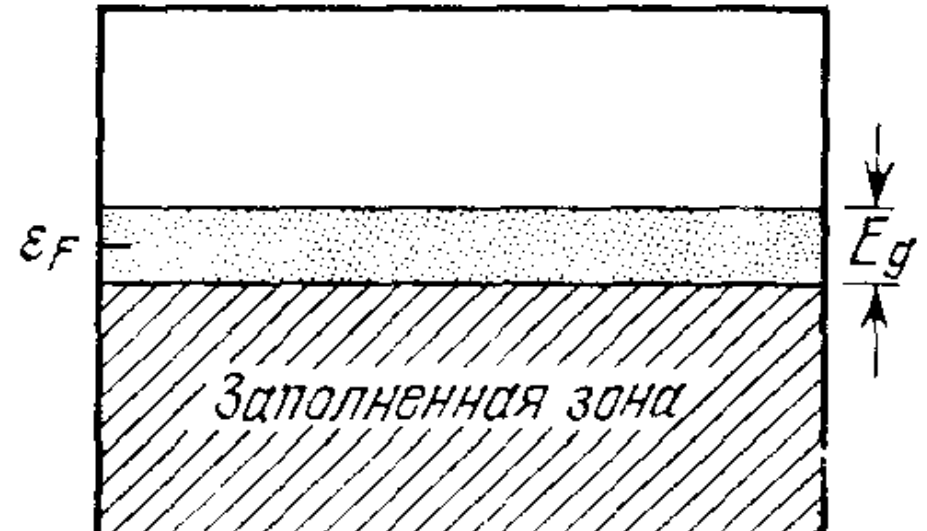
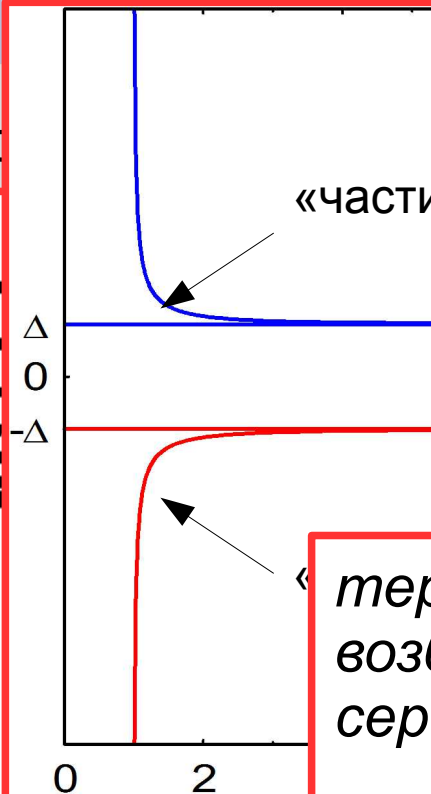
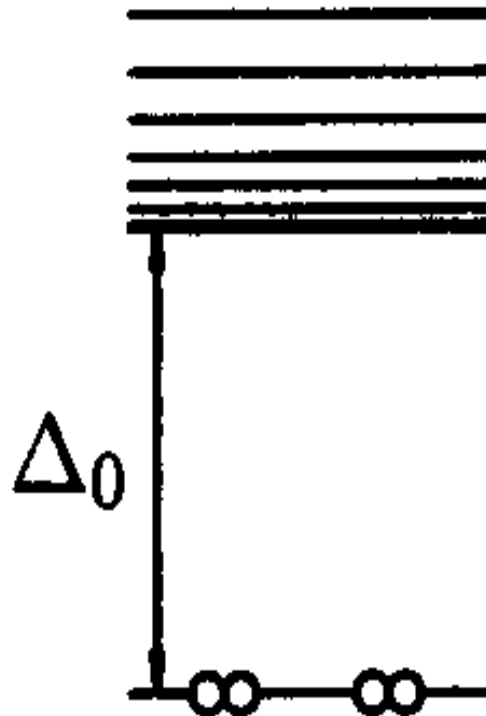
«полупроводниковая  
модель»

В этих представлениях основное  
состояние «за кадром»

# Энергетические диаграммы сверхпроводника.

«схема кваз

«схема с  
отображени  
ОСНОВНОГО СОСТО



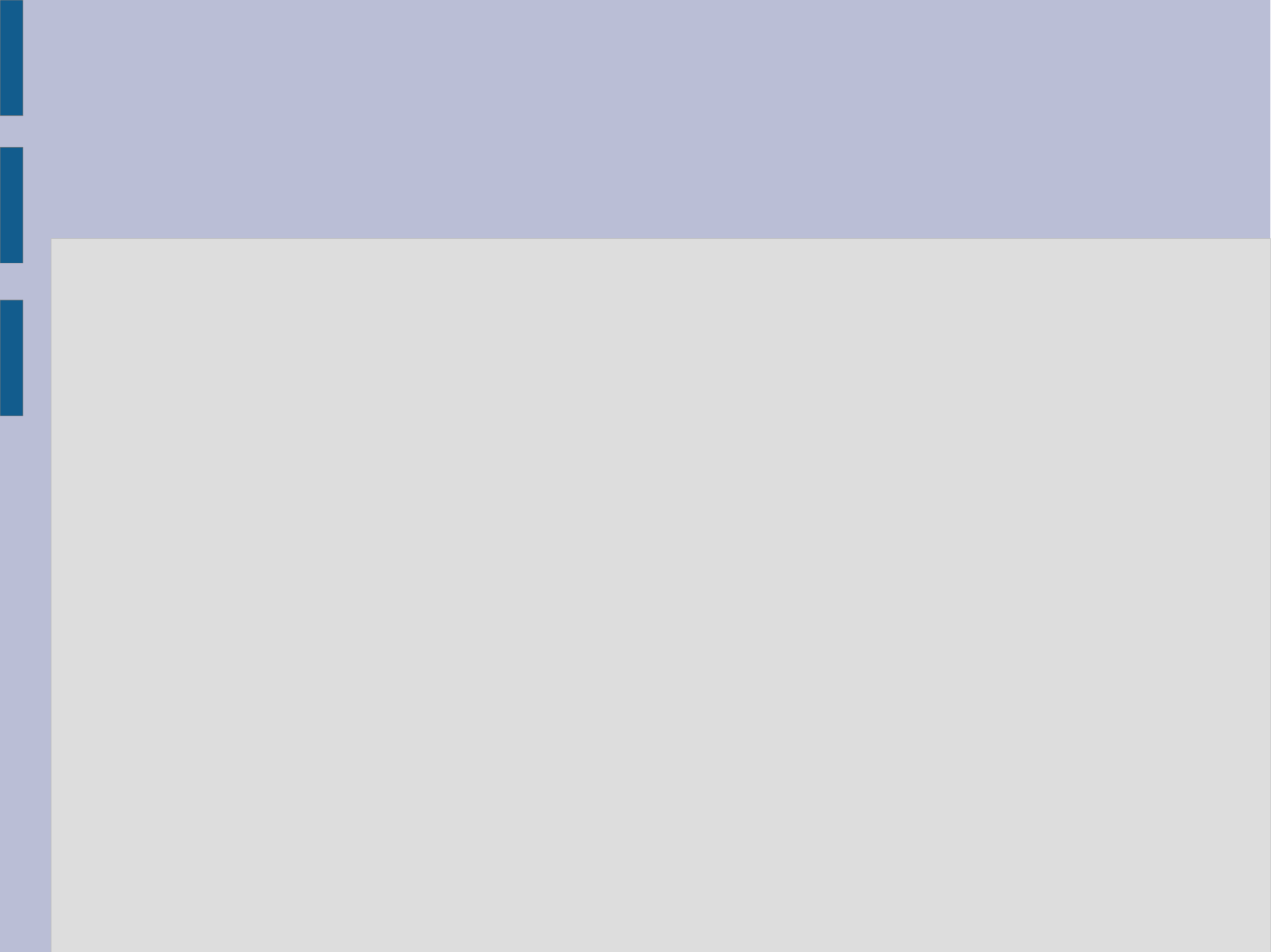
термодинамика  
возбуждений=химпотенциал в  
середине запрещенной зоны

↔ **щель  $\Delta$ ,**

разрушение куперовских  
пар=рождение пар частица-  
античастица=переброс через  
запрещённую зону

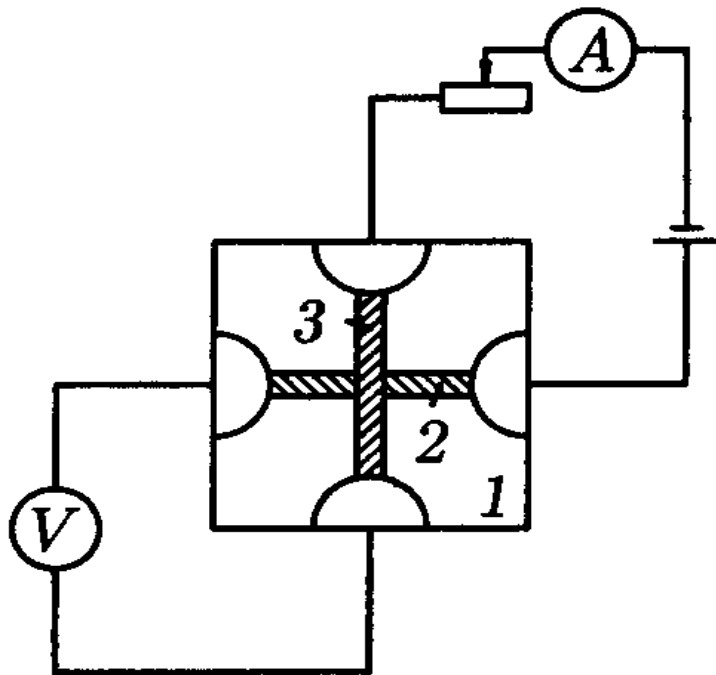
↔ **энергия  $2\Delta$**

овая



## Часть 4. Туннельные контакты I. Квазичастичное туннелирование.

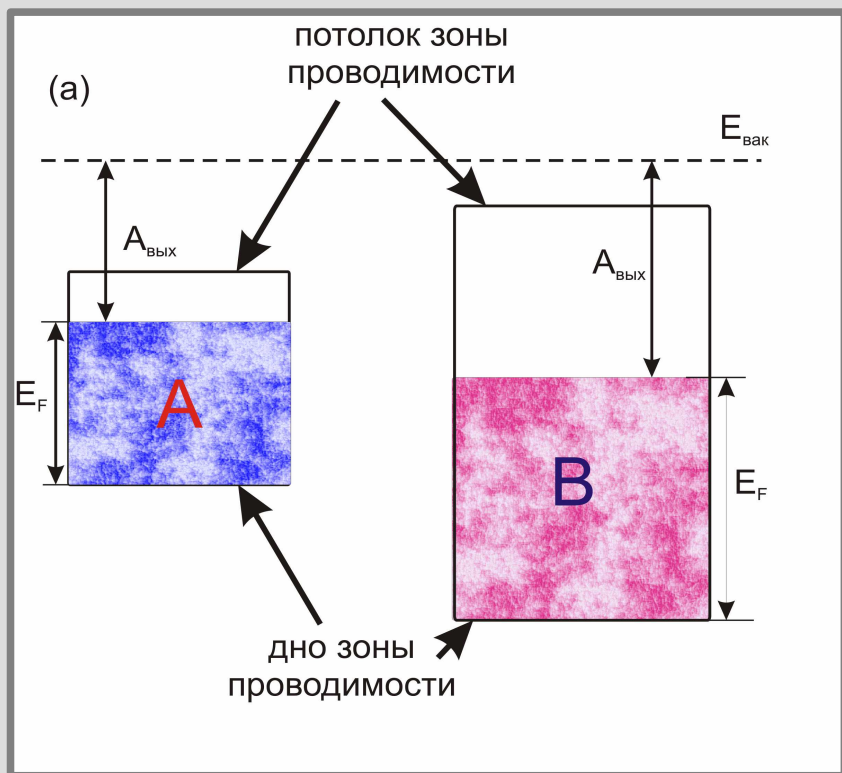
# Туннельный контакт.



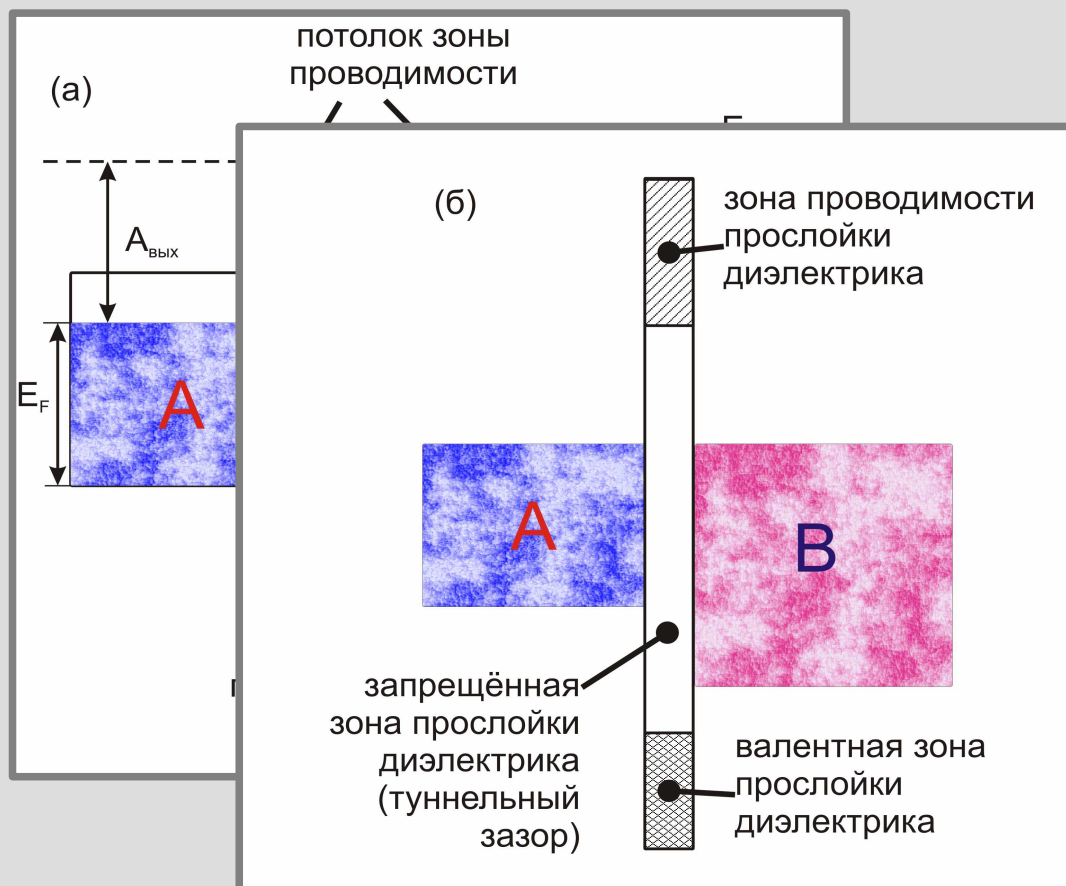
$$D \approx \exp \left( - \frac{2}{\hbar} \int_{x_1}^{x_2} \sqrt{2m(U(x) - E)} dx \right)$$

Схема опыта по изучению туннельного тока. (1) — подложка, (2) и (3) — разделённые окислом полоски изучаемых металлов. Из книги Шмидта.

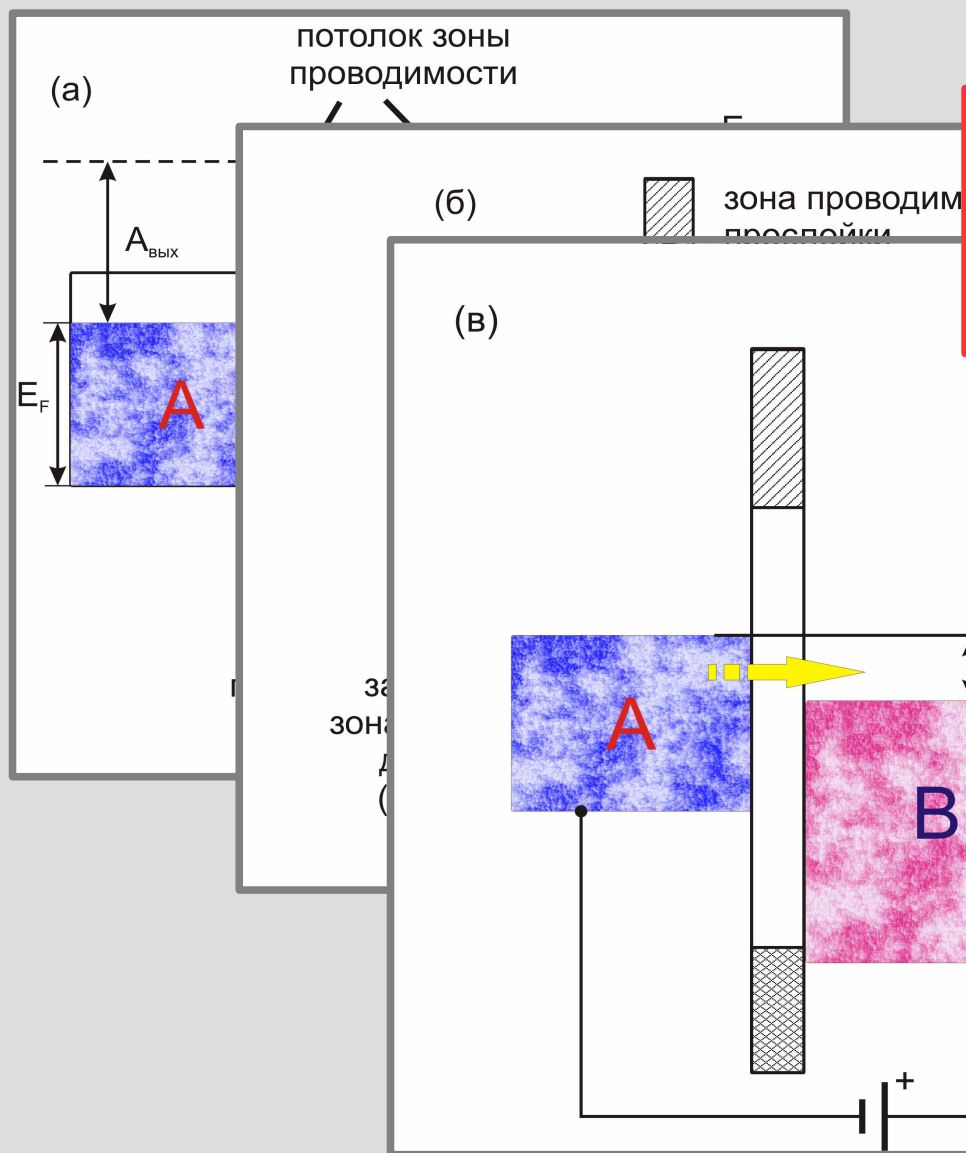
# Туннельный контакт двух нормальных металлов



# Туннельный контакт двух нормальных металлов



# Туннельный контакт двух нормальных металлов



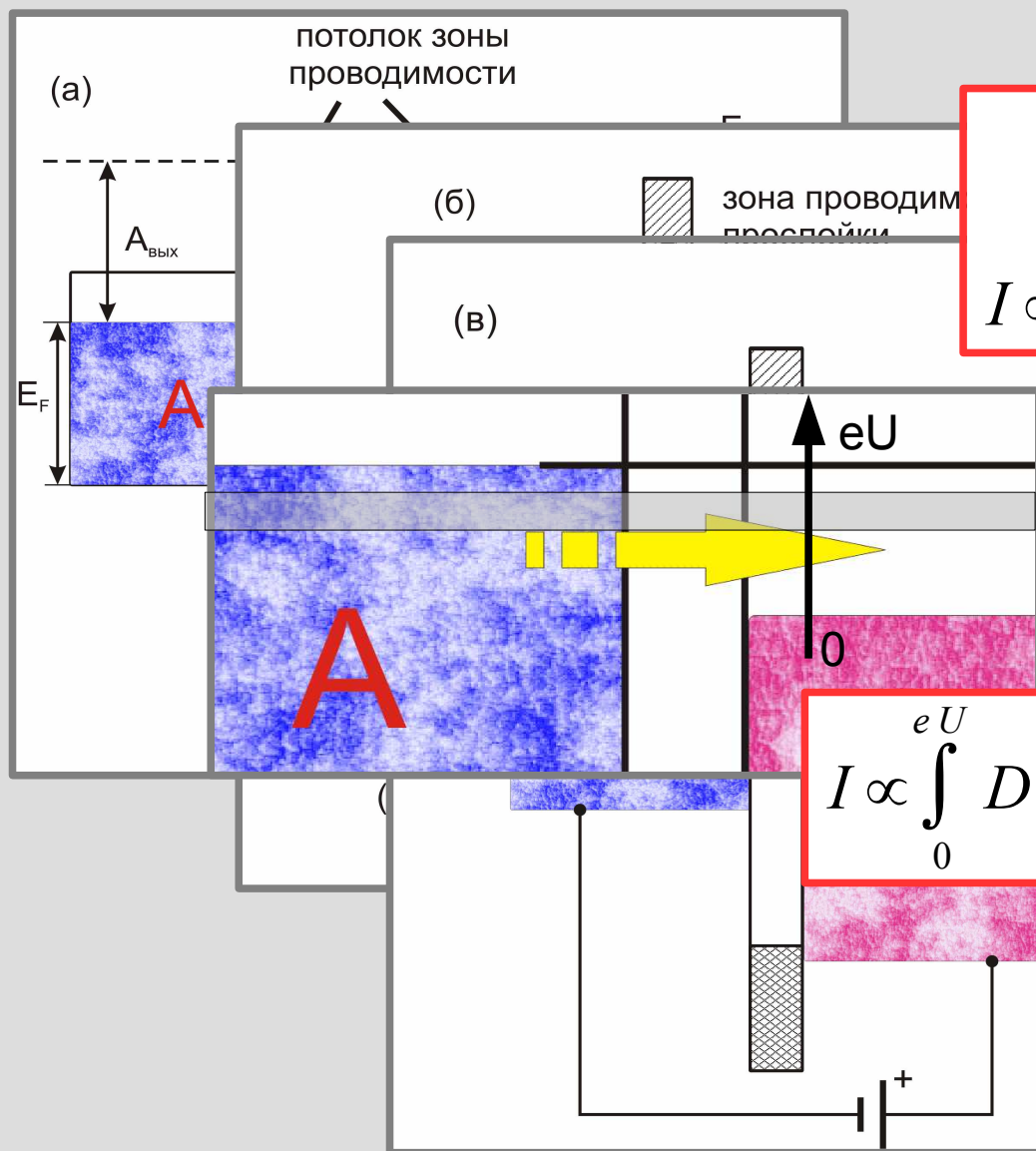
$$eU \ll E_F$$

$$N(E) = \text{const}$$

$$I \propto D N_A^{(0)} N_B^{(0)} eU$$



# Туннельный контакт двух нормальных металлов



$$eU \ll E_F$$

$$N(E) = \text{const}$$

$$I \propto D N_A^{(0)} N_B^{(0)} eU$$

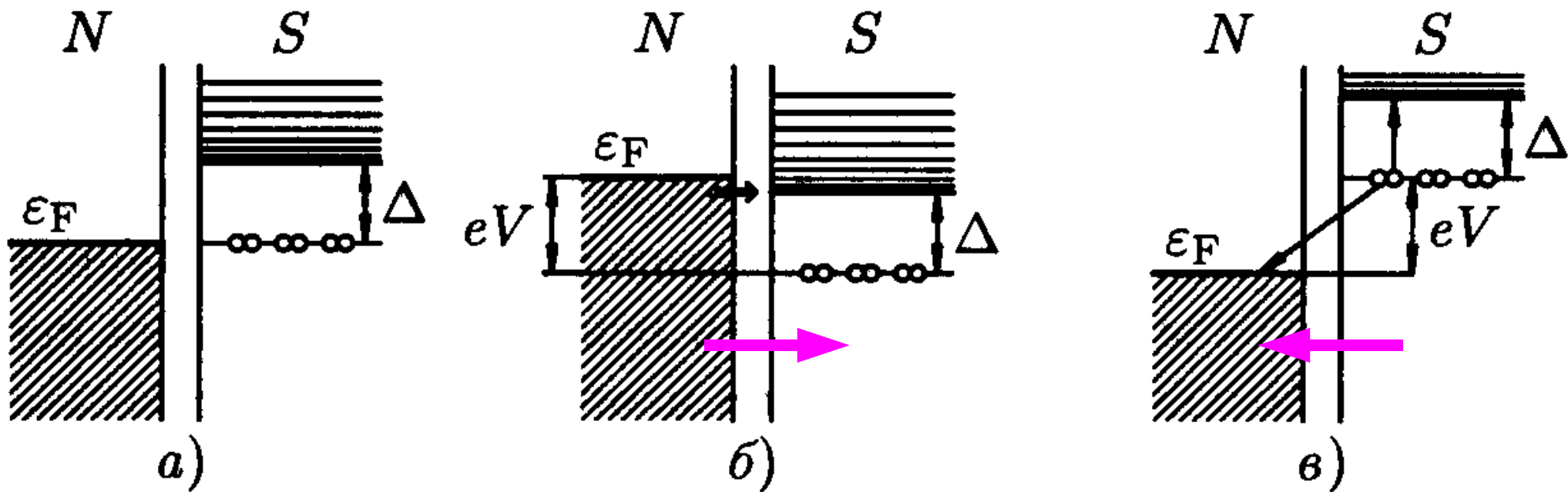
$$I \propto \int_0^{eU} D(\varepsilon) N_A(E_F - eU + \varepsilon) N_B(E_F + \varepsilon) d\varepsilon$$

# Туннелирование и сверхпроводимость: демонстрационное видео



Alfred Leitner's Old Physics Stories , <http://alfredleitner.com/>

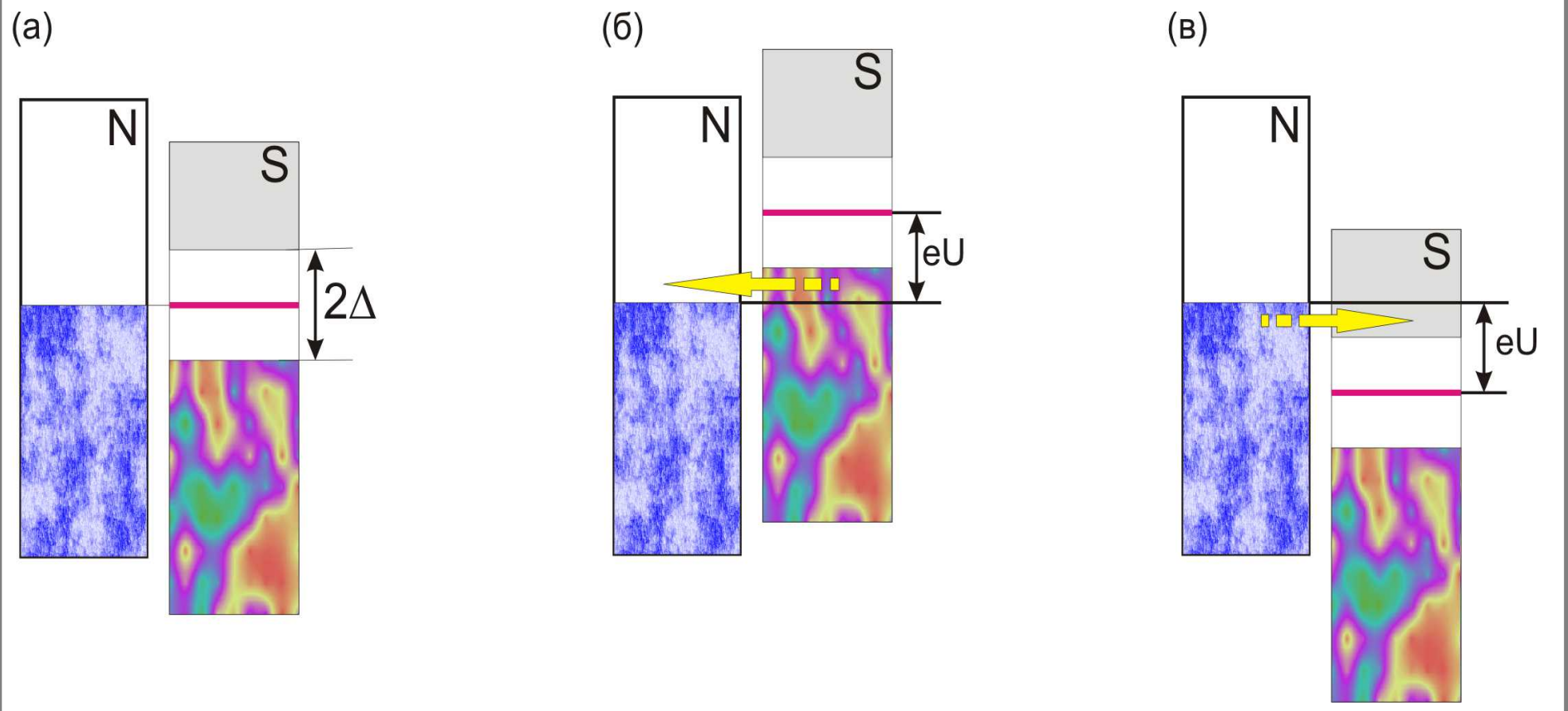
# Туннельный контакт сверхпроводник-нормальный металл: схема с отображением основного состояния



Энергетическая диаграмма туннельного NS-перехода. (а) в отсутствие внешнего потенциала, (б) возникновение туннельного тока электронов из металла в сверхпроводник при положительном потенциале сверхпроводника, (в) возникновение туннельного тока электронов из сверхпроводника в металл при отрицательном потенциале сверхпроводника. Из книги Шмидта.

пороговое напряжение  $U = \Delta / e$

# Туннельный контакт сверхпроводник-нормальный металл: «квазичастичная схема» и «полупроводниковая модель».



Энергетическая диаграмма туннельного NS-перехода в представлении квазичастиц и в «полупроводниковой модели»: (а) в отсутствие внешнего потенциала, (б) и (в) возникновение туннельного тока при превышении порогового значения для разных полярностей прикладываемого напряжения.

пороговое напряжение  $U = \Delta / e$

# ВАХ туннельного контакта

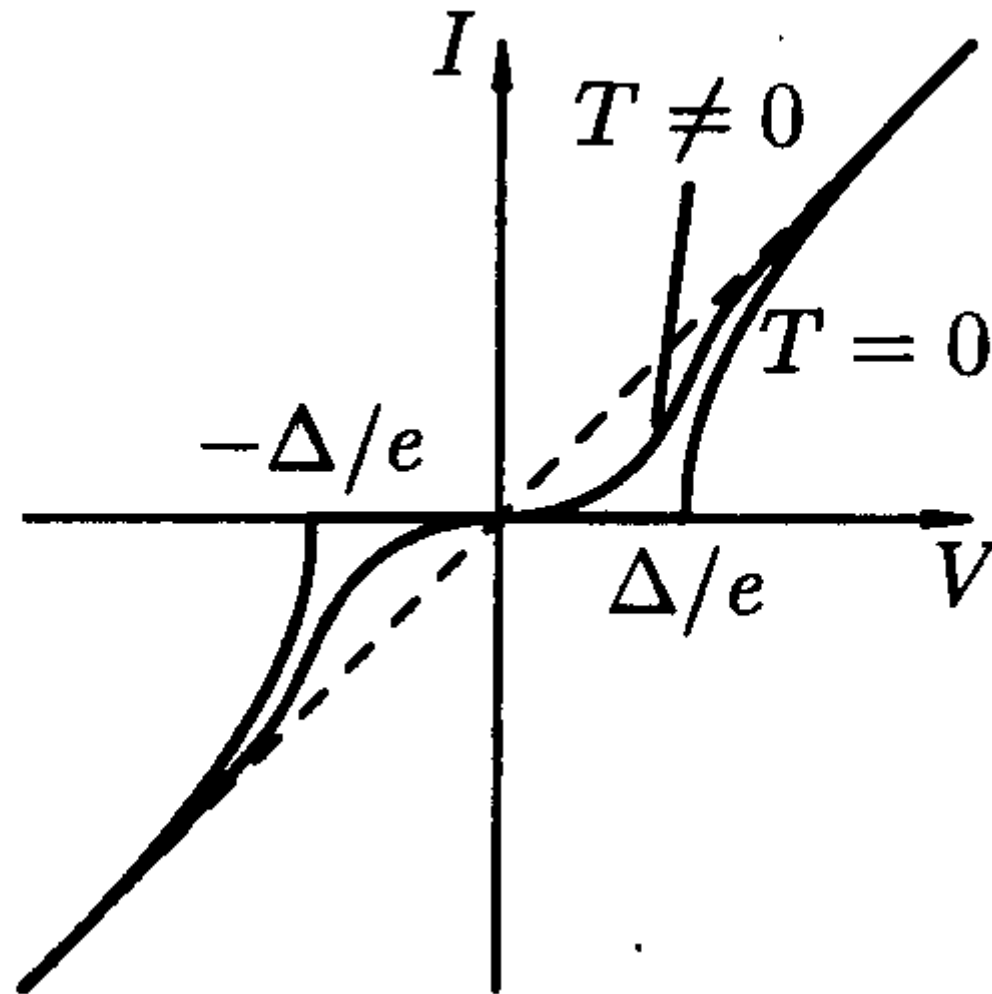
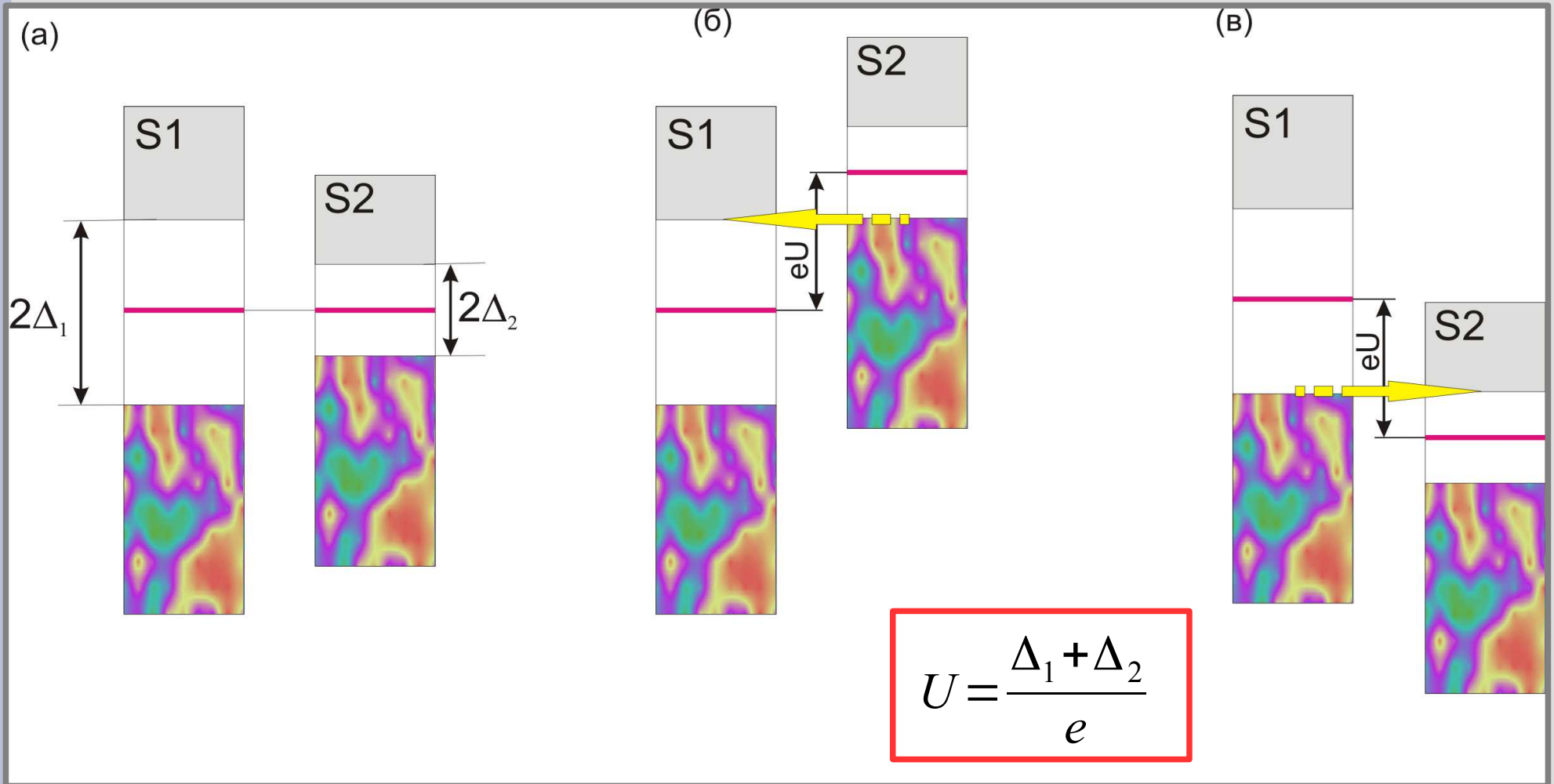


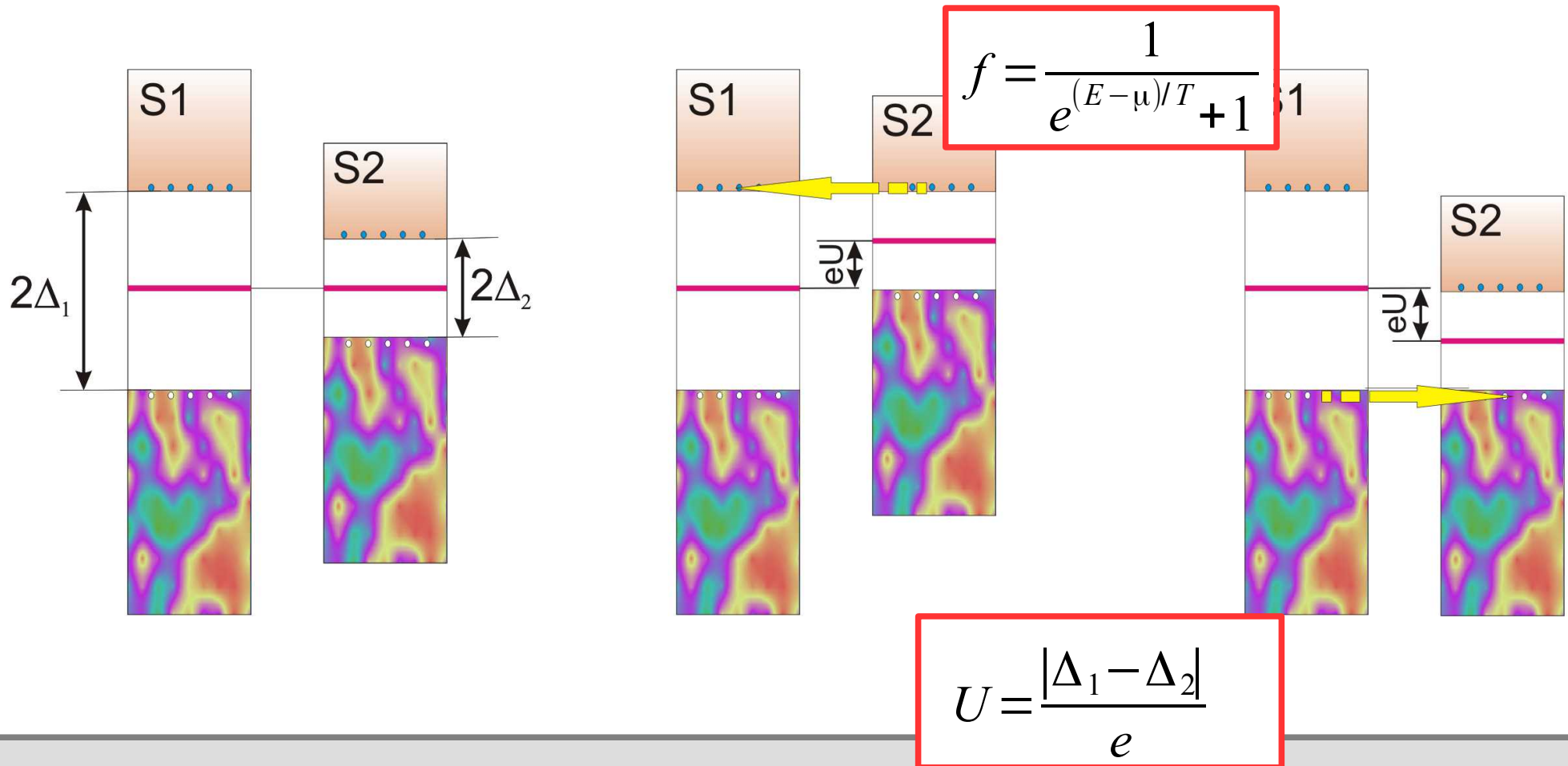
Схема вольт-амперной характеристики туннельного NS-перехода.  
Из книги Шмидта

# Квазичастичный ток через туннельный контакт сверхпроводник-сверхпроводник: $T=0$ , «полупроводниковая модель».



Энергетические диаграммы туннельного SIS-перехода в представлении «полупроводниковой модели».

# Квазичастичный ток через туннельный контакт сверхпроводник-сверхпроводник: $T \neq 0$ , «полупроводниковая модель».



Энергетические диаграммы туннельного SIS-перехода в представлении «полупроводниковой модели».

# ВАХ квазичастичного тока SIS-перехода.

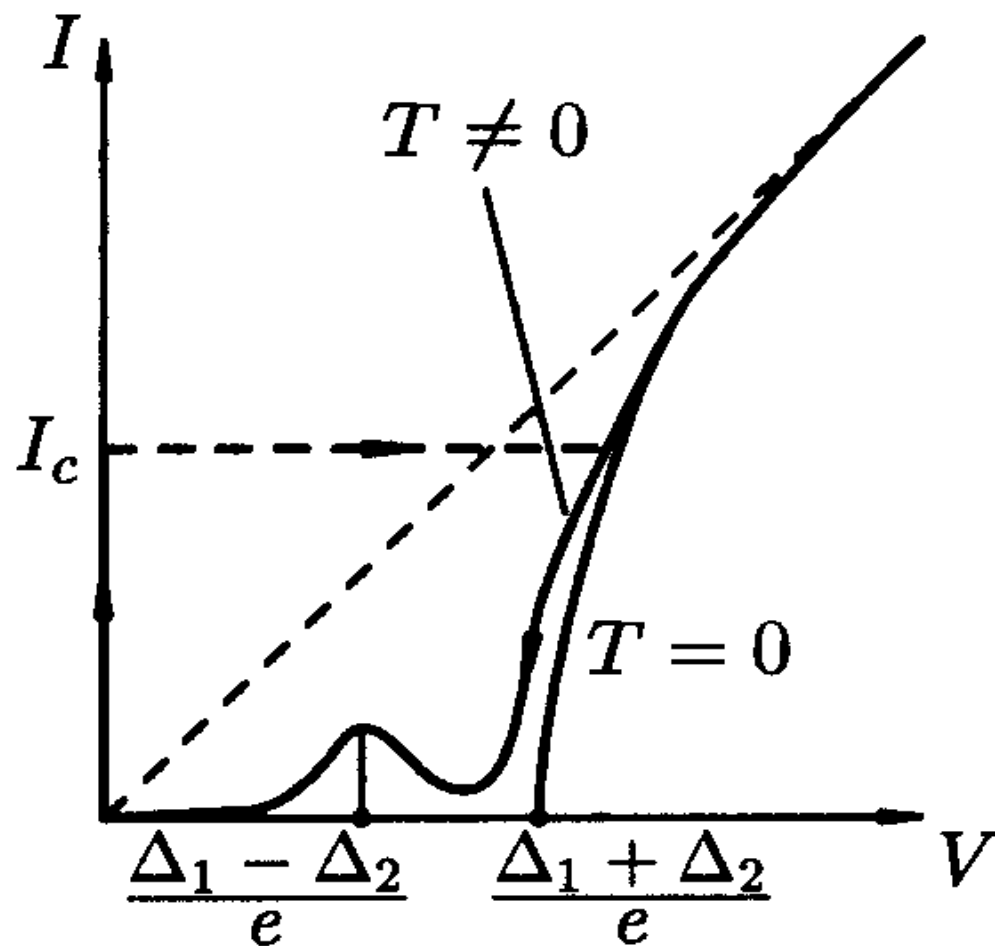
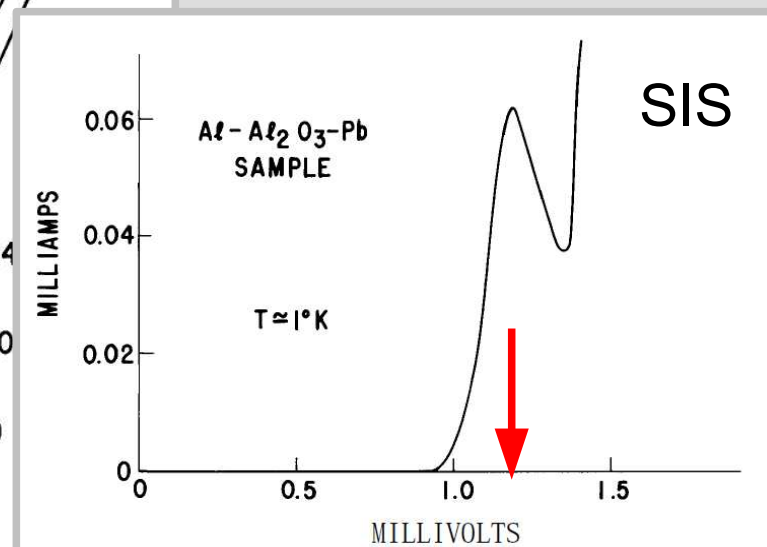
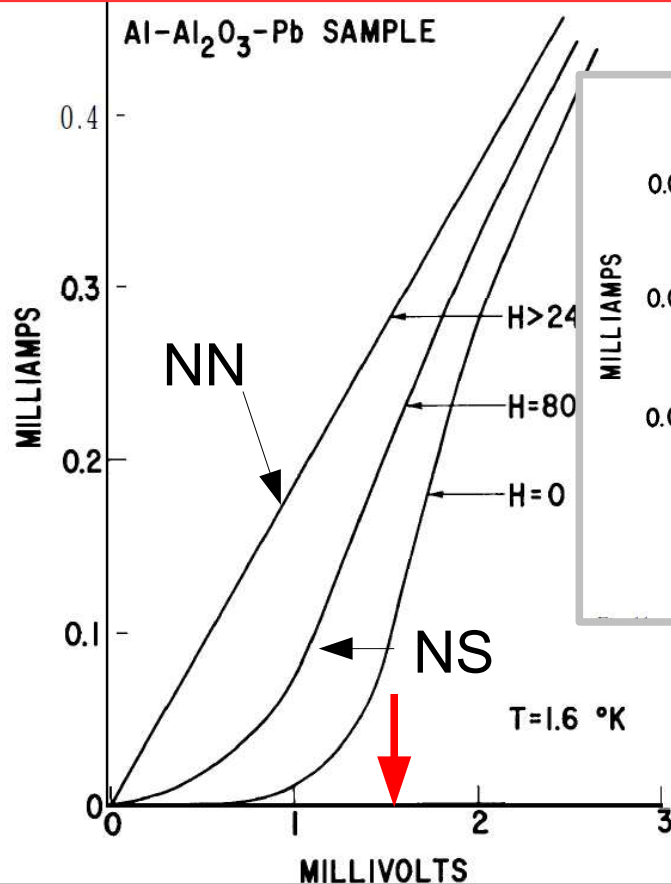
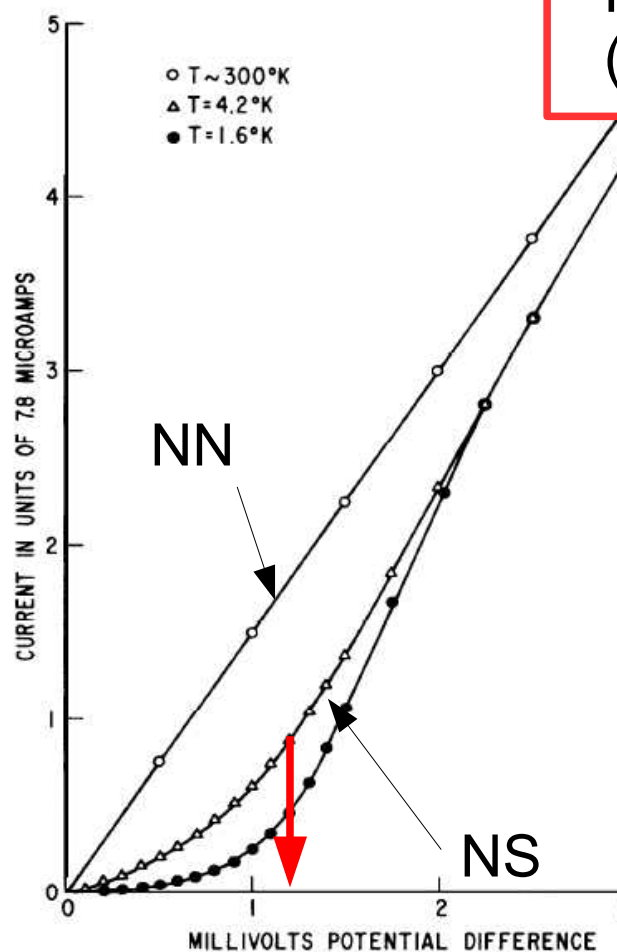


Схема вольт-амперной характеристики туннельного SIS-перехода при нулевой температуре и при конечной температуре. Сплошная линия: с учётом только тунnelирования электронов. Пунктирная «ступенька» - с учётом эффекта Джозефсона (тунnelирования куперовских пар). Из книги Шмидта



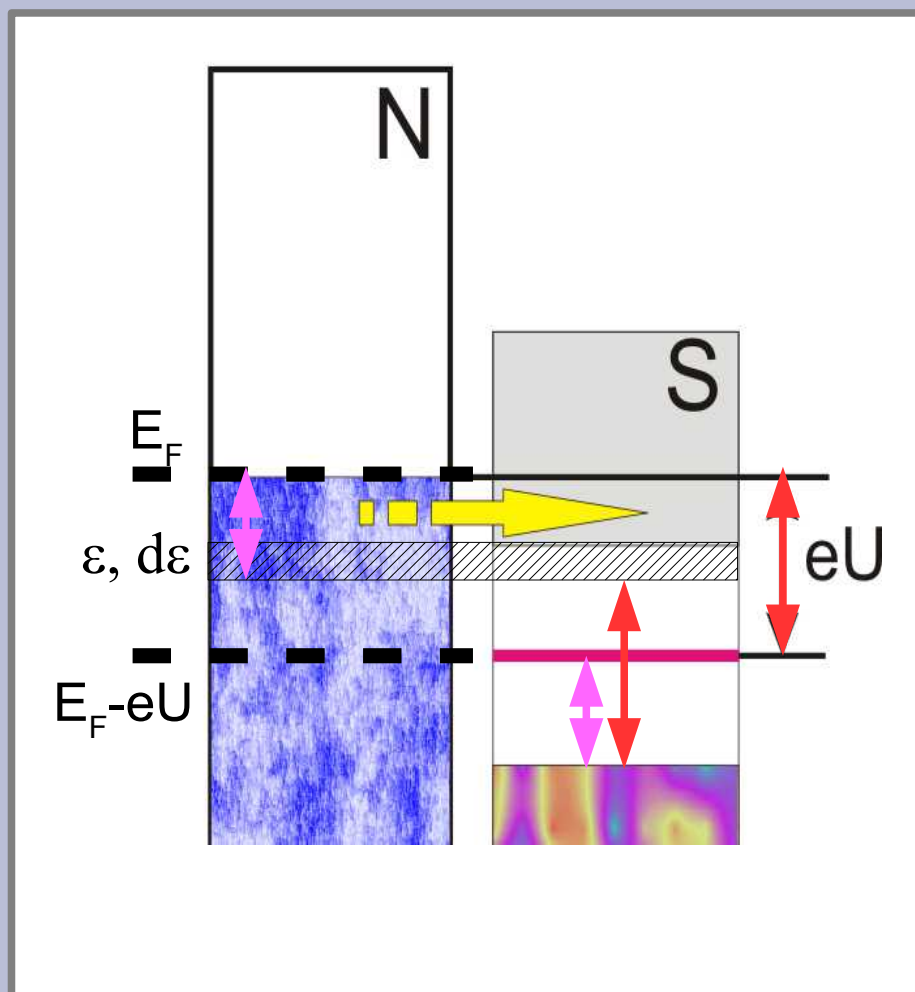
# ВАХ туннельных контактов: эксперимент.

Пороговые напряжения  $\sim 1\text{mV}$   
(соответствуют энергиям  $\sim 10\text{K}$ )



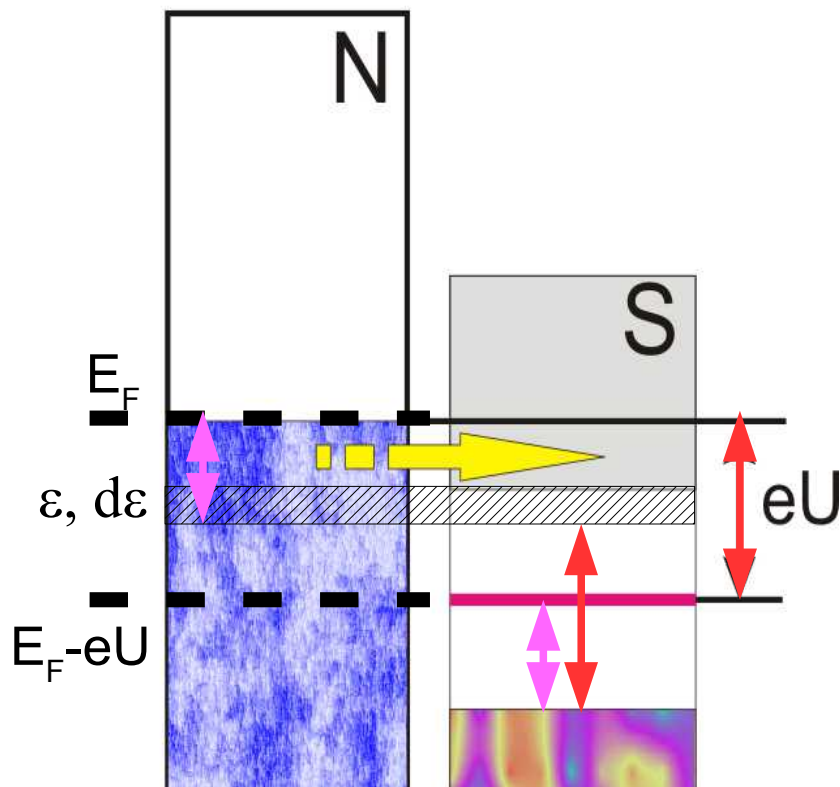
Кривые вольт-амперной характеристики туннельного  $\text{Al}-\text{Al}_2\text{O}_3-\text{Pb}$ . Температура сверхпроводящего перехода в свинце  $7.2\text{K}$ , в алюминии  $1.2\text{K}$ . Верхний ряд: алюминий в нормальном состоянии. Слева: при разных температурах. Справа: в разных магнитных полях. Снизу: туннелирование в SIS-переходе при температуре ниже температуры сверхпроводящего перехода в алюминии, в масштабе рисунка виден только пик, связанный с переходами термоактивированных возбуждений. Из нобелевской лекции Гьявера

# Туннельный ток NIS-перехода и плотность состояний ( $T=0$ ).

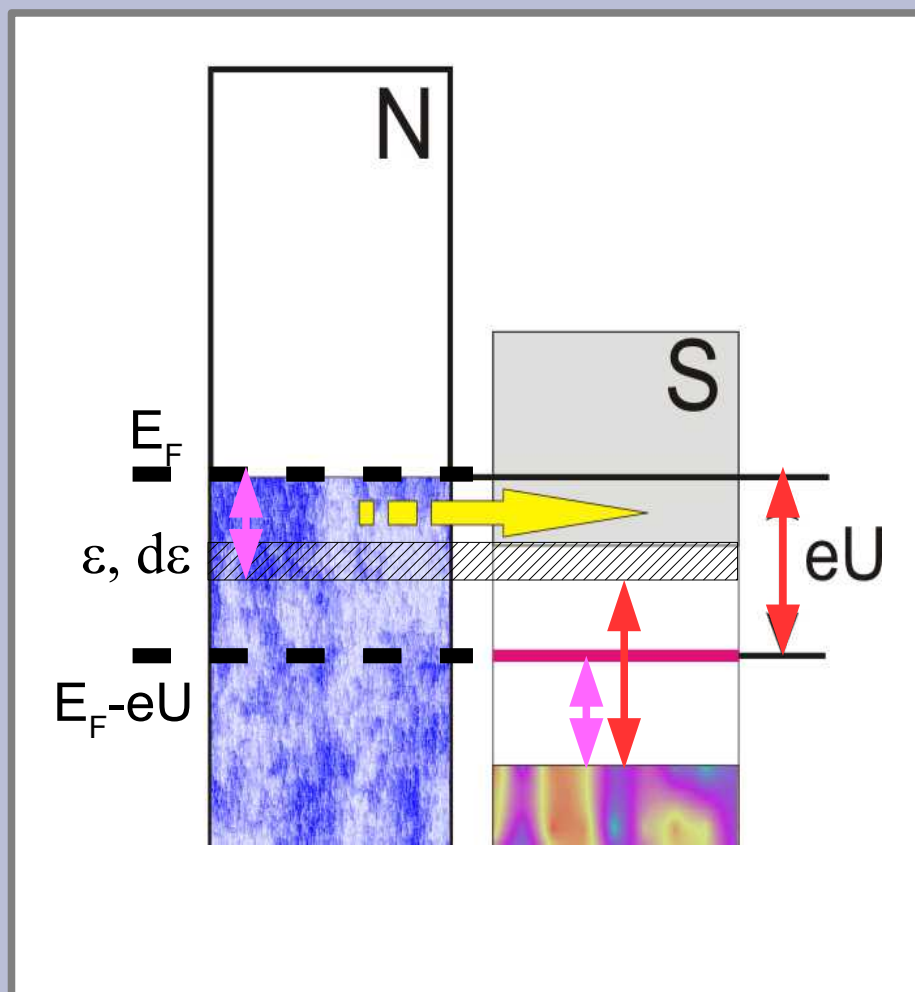


# Туннельный ток NIS-перехода и плотность состояний ( $T=0$ ).

$$I \propto \int_{\Delta}^{eU - \Delta} D N_n(E_F) N_s(\varepsilon) d\varepsilon$$



# Туннельный ток NIS-перехода и плотность состояний ( $T=0$ ).

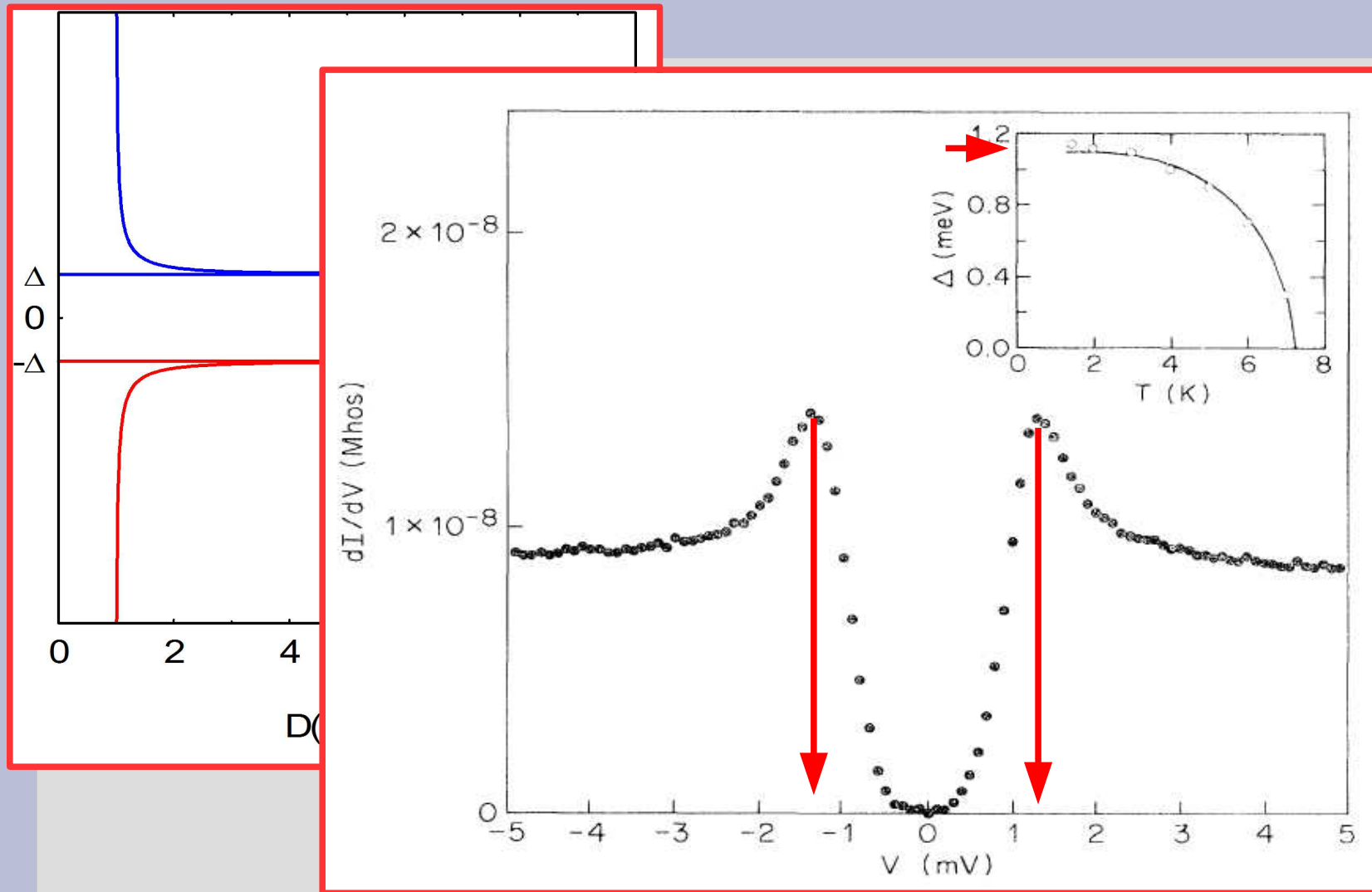


$$I \propto \int_{\Delta}^{eU - \Delta} D N_n(E_F) N_s(\varepsilon) d\varepsilon$$

$$\frac{dI}{dU} \propto D N_n(E_F) N_s(eU - \Delta)$$

Туннельный эксперимент  
определяет плотность  
состояний!

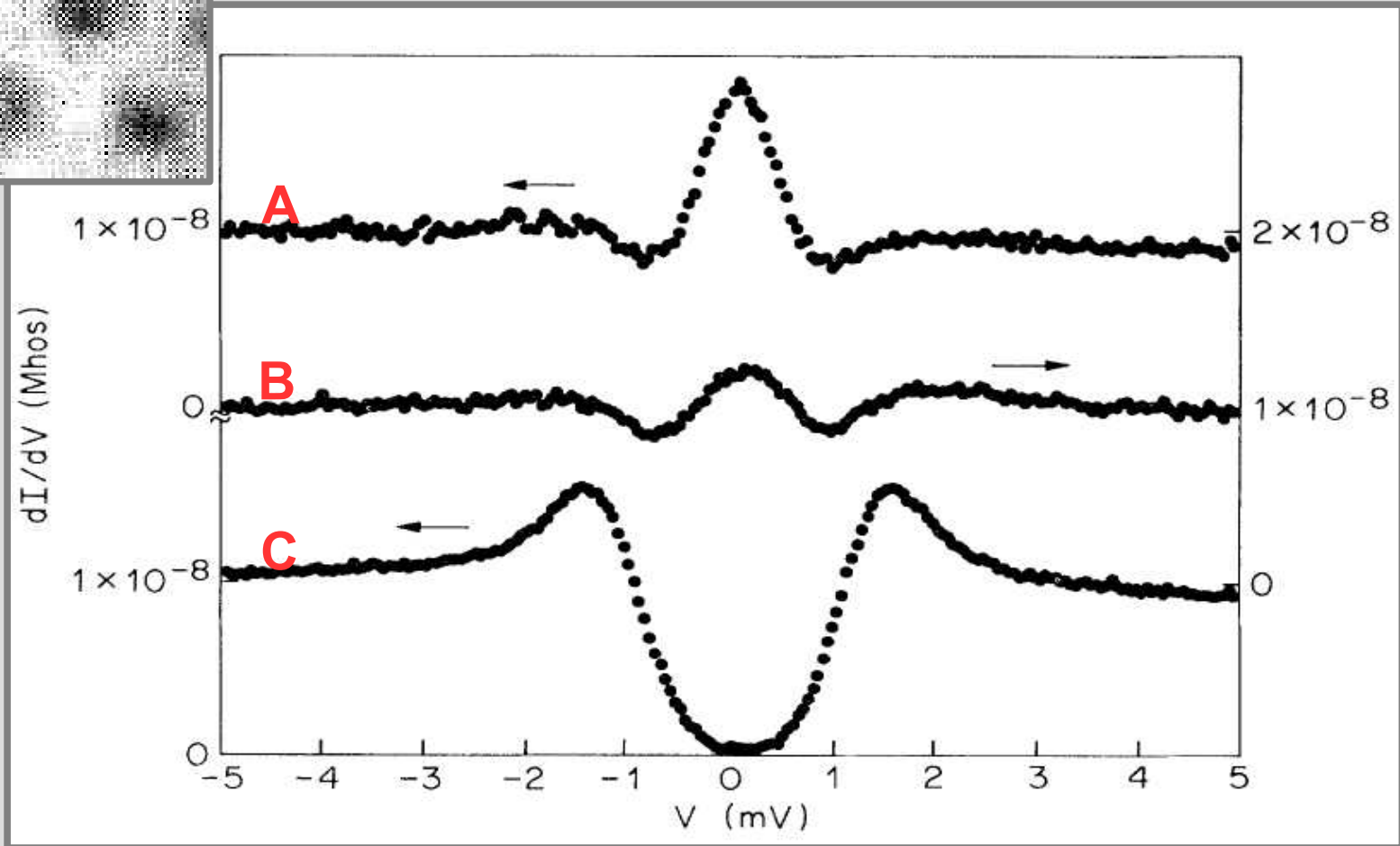
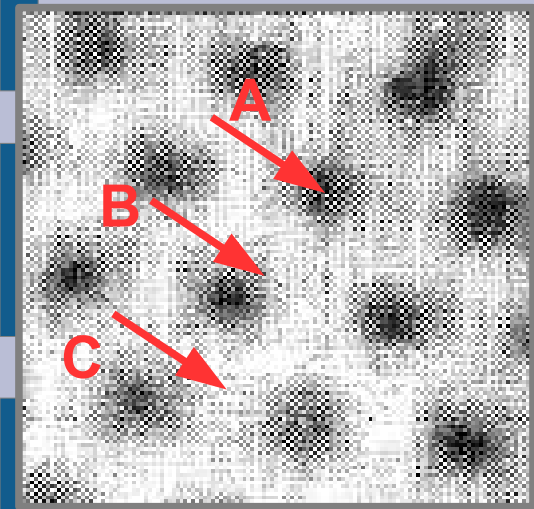
# Дифференциальная проводимость SIN-контакта и измерение щели



Производная вольт-амперной характеристики туннельного NIS-перехода между иглой туннельного микроскопа и образцом сверхпроводящего NbSe<sub>2</sub>. Внешнее магнитное поле  $B=0$ , температура 1.45K. На вставке: зависимость щели от температуры.

H. F. Hess, R. B. Robinson, R. C. Dynes, J. M. Valles, Jr., and J. V. Waszczak, Scanning-Tunneling-Microscope Observation of the Abrikosov Flux Lattice and the Density of States near and inside a Fluxoid, Physical Review Letters, 62, 214 (1989)

# Дифференциальная проводимость туннельного контакта в окрестности вихря.

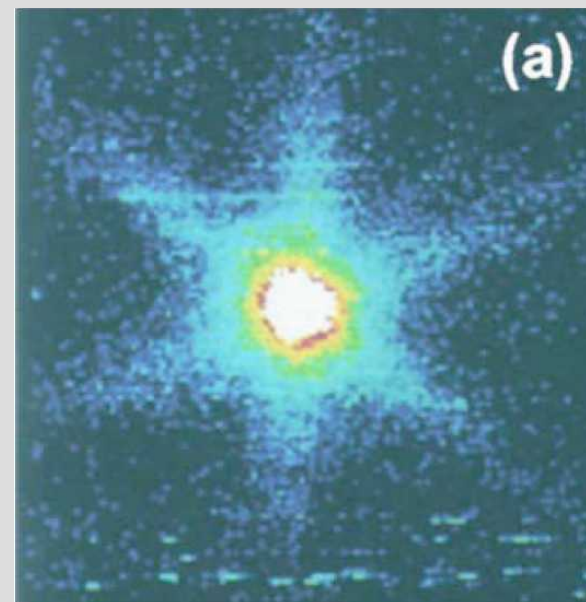
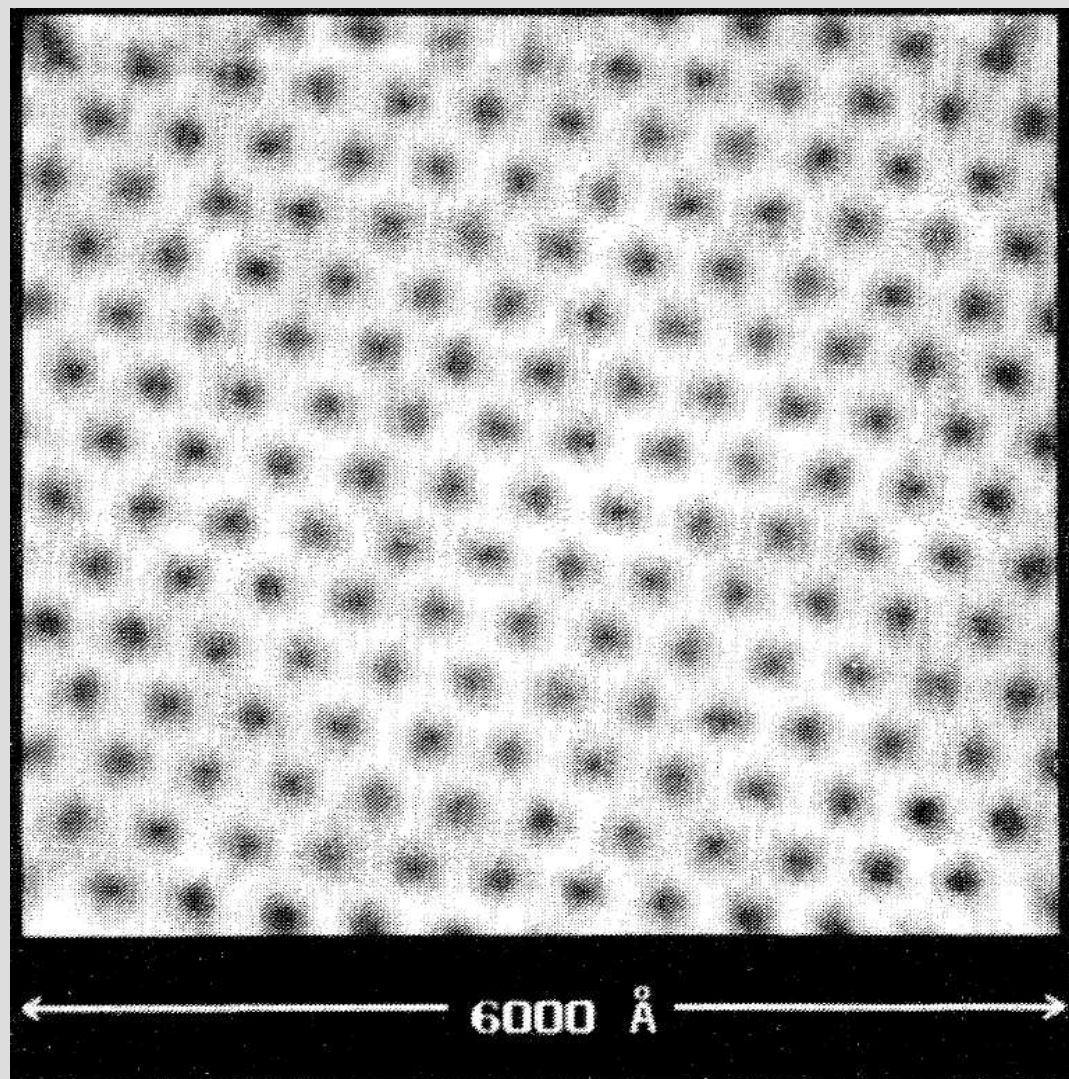


Производная вольт-амперной характеристики туннельного NS-перехода между иглой туннельного микроскопа и образцом сверхпроводящего NbSe<sub>2</sub> в разных точках. Верхняя кривая: центр вихря, средняя кривая: на расстоянии 75 Å от центра вихря, нижняя кривая: на расстоянии 2000 Å от вихря. Внешнее поле 0.02 Тл, температура 1.85 К. Кривые сдвинуты вертикально для наглядности, постоянный уровень на больших напряжениях одинаков для всех кривых. Особенности плотности состояний в сердцевине вихря вероятно связаны с тем, что движение электронов в коре вихря вообще говоря ограничено в поперечном направлении границей с нормальной фазой, что приводит к некоторым эффектам типа размерного квантования.

H. F. Hess, R. B. Robinson, R. C. Dynes, J. M. Valles, Jr., and J. V. Waszczak, Scanning-Tunneling-Microscope Observation of the Abrikosov Flux Lattice and the Density of States near and inside a Fluxoid, Physical Review Letters, 62, 214 (1989)



# «Фотография» вихрей в сверхпроводнике.



снятая с высоким разрешением карта проводимости в окрестности одного вихря в NbSe<sub>2</sub>. Размер кадра 150x150 нм<sup>2</sup>, внешнее поле 0.05Тл, температура 0.3К.

Øystein Fischer, Martin Kugler, Ivan Maggio-Aprile, Christophe Berthod, and Christoph Renner, Scanning tunneling spectroscopy of high-temperature superconductors, Review of Modern Physics, 79, 353 (2007)

вихревая решётка в NbSe<sub>2</sub> в поле 1Тл при температуре 1.8К.

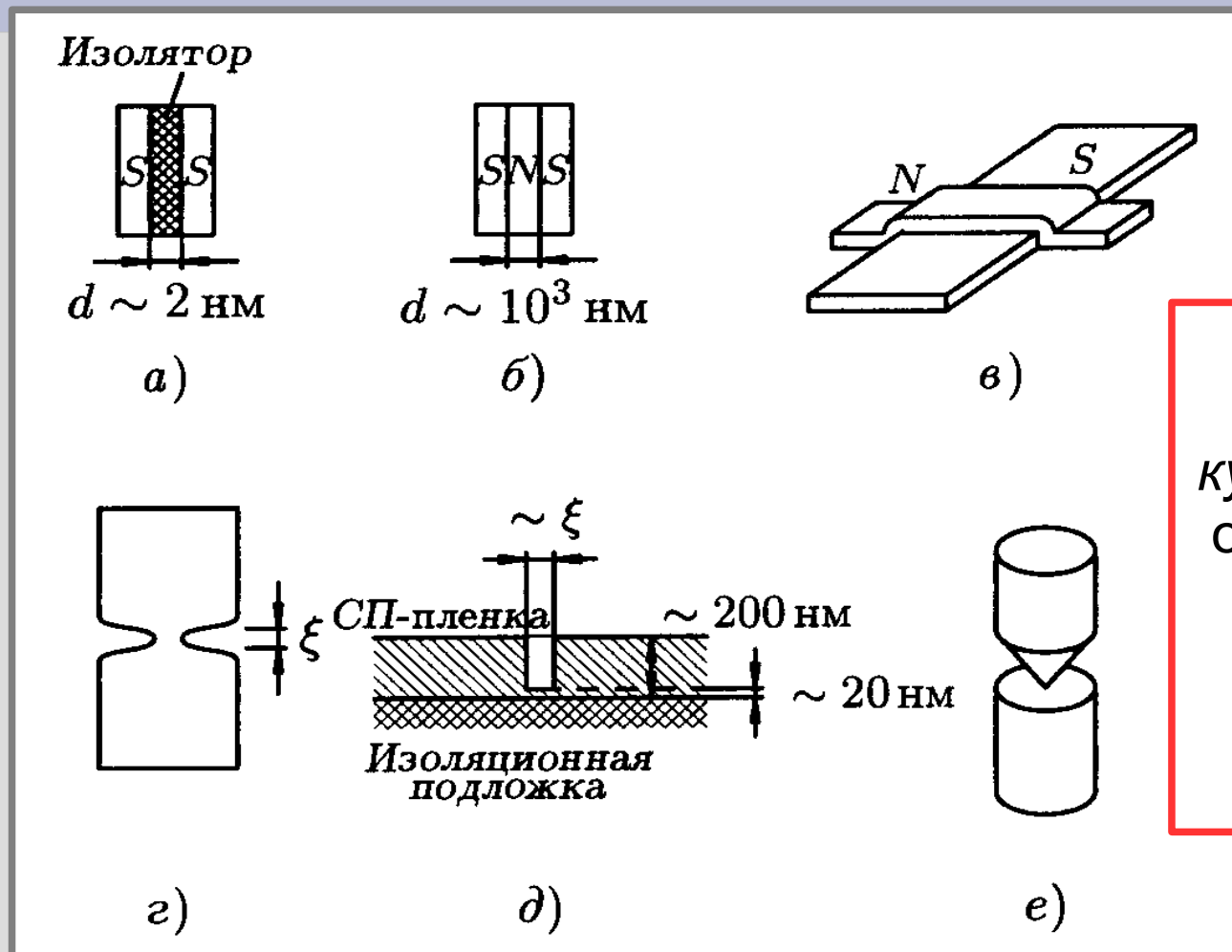
H. F. Hess, R. B. Robinson, R. C. Dynes, J. M. Valles, Jr., and J. V. Waszczak, Scanning-Tunneling-Microscope Observation of the Abrikosov Flux Lattice and the Density of States near and inside a Fluxoid, Physical Review Letters, 62, 214 (1989)





## Часть 5. Туннелирование куперовских пар. Эффект Джозефсона.

# «Слабая связь» в сверхпроводнике.

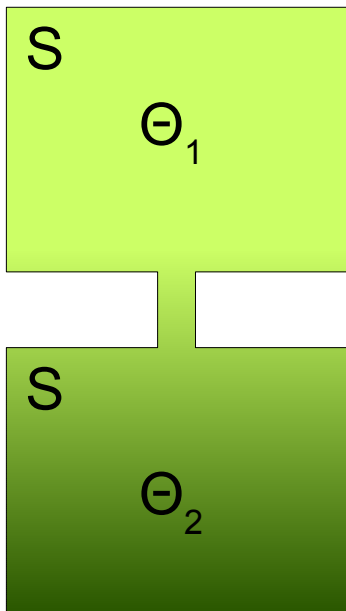


ВОЗМОЖНО  
туннелирование  
куперовской пары через  
область с подавленной  
сверхпроводимостью  
**Такой ток должен  
быть  
бездиссипативным!**

Виды слабой связи: (а) туннельный SIS-переход, (б) "сэндвич" или SNS-переход, (в) нормальная плёнка на поверхности сверхпроводника, (г) мостик Дайема, вид в плане, (д) мостик Дайема, вид в разрезе, (е) точечный контакт. Из книги Шмидта

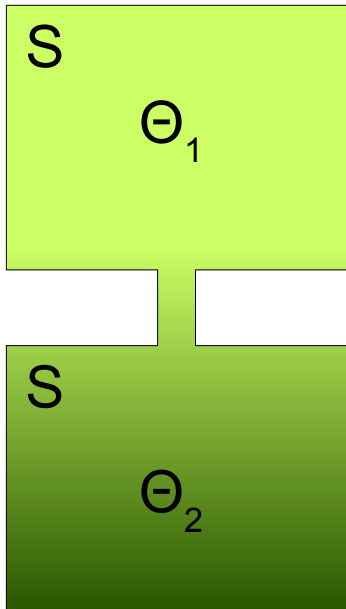
# Скачок фазы на «слабой связи»

$$\Psi(\vec{r}) = A \sqrt{n_s} e^{i\Theta(\vec{r})}$$



# Скачок фазы на «слабой связи»

$$\Psi(\vec{r}) = A \sqrt{n_s} e^{i\Theta(\vec{r})}$$



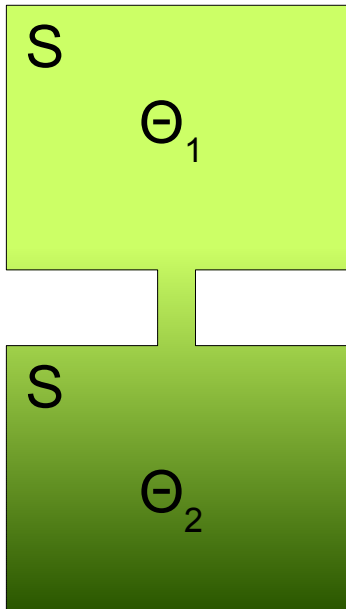
Для слабого тока пренебрегаем магнитным полем тока:

$$\vec{j}_s = -nq\vec{v}_s \approx -\frac{nq\hbar}{\mu} \vec{\nabla} \Theta = -\frac{c}{4\pi\lambda^2} \frac{\Phi_0}{2\pi} \vec{\nabla} \Theta$$

$$\Phi_0 = \frac{\pi\hbar c}{e} = 2.07 \cdot 10^{-7} \text{ Гс} \cdot \text{см}^2$$

# Скачок фазы на «слабой связи»

$$\Psi(\vec{r}) = A \sqrt{n_s} e^{i\Theta(\vec{r})}$$



Для слабого тока пренебрегаем магнитным полем тока:

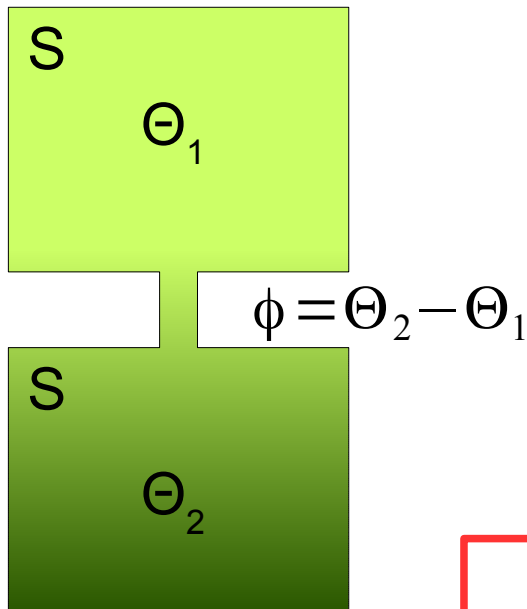
$$\vec{j}_s = -nq\vec{v}_s \approx -\frac{nq\hbar}{\mu} \vec{\nabla} \Theta = -\frac{c}{4\pi\lambda^2} \frac{\Phi_0}{2\pi} \vec{\nabla} \Theta$$

$$\Phi_0 = \frac{\pi\hbar c}{e} = 2.07 \cdot 10^{-7} \text{ Гс} \cdot \text{см}^2$$

В сужении плотность тока большая, большой градиент фазы. На «берегах» плотности тока маленькие и можно считать фазу постоянной

# Скачок фазы на «слабой связи»

$$\Psi(\vec{r}) = A \sqrt{n_s} e^{i\Theta(\vec{r})}$$



Для слабого тока пренебрегаем магнитным полем тока:

$$\vec{j}_s = -nq\vec{v}_s \approx -\frac{nq\hbar}{\mu} \vec{\nabla} \Theta = -\frac{c}{4\pi\lambda^2} \frac{\Phi_0}{2\pi} \vec{\nabla} \Theta$$

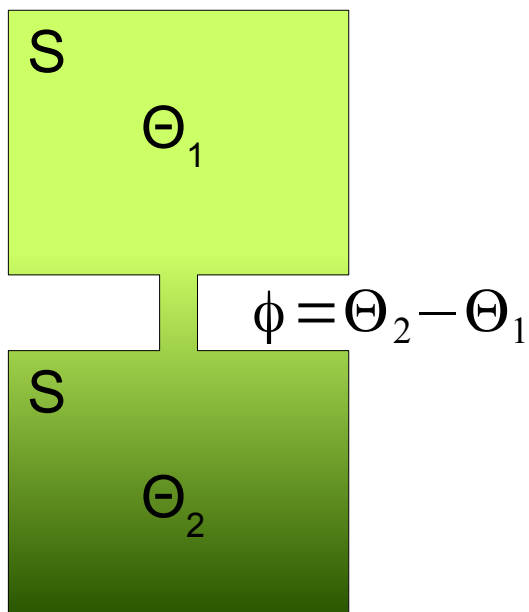
$$\Phi_0 = \frac{\pi\hbar c}{e} = 2.07 \cdot 10^{-7} \text{ Гс} \cdot \text{см}^2$$

В сужении плотность тока большая, большой градиент фазы. На «берегах» плотности тока маленькие и можно считать

Как связан ток и разность фаз на «берегах»?

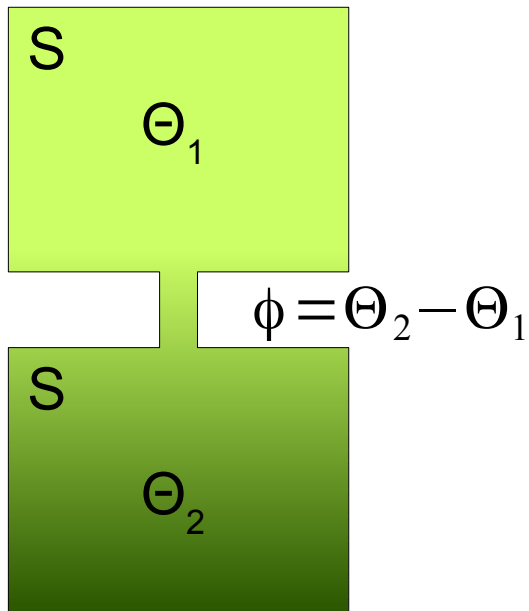
# Ток через «слабую связь»: общие свойства.

$$\Psi(\vec{r}) = A \sqrt{n_s} e^{i\Theta(\vec{r})}$$



# Ток через «слабую связь»: общие свойства.

$$\Psi(\vec{r}) = A \sqrt{n_s} e^{i\Theta(\vec{r})}$$



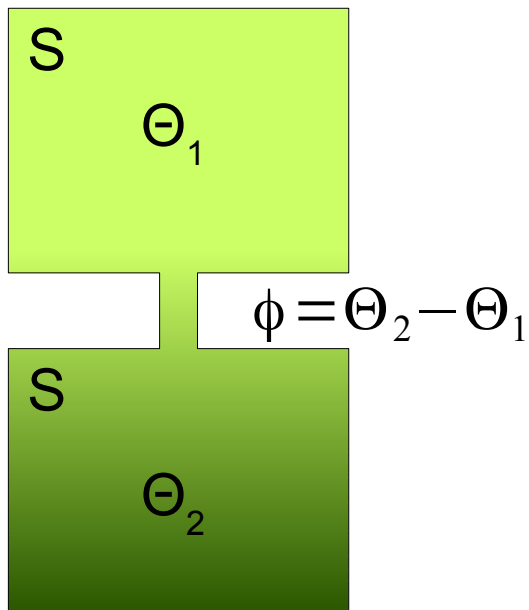
1.  $I_s = I_s(\phi)$

Скачок фазы является единственным параметром определяющим сверхтекучий ток через переход



# Ток через «слабую связь»: общие свойства

$$\Psi(\vec{r}) = A \sqrt{n_s} e^{i\Theta(\vec{r})}$$



1.  $I_s = I_s(\phi)$

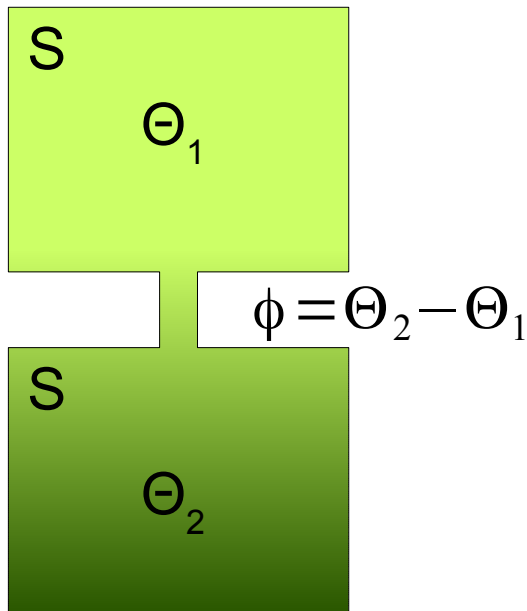
Скачок фазы является единственным параметром определяющим сверхтекучий ток через переход

2.  $\phi = 0$   
 $I_s(0) = 0$

Утверждение прямо следует из связи плотности тока с градиентом фазы.

# Ток через «слабую связь»: общие свойства

$$\Psi(\vec{r}) = A \sqrt{n_s} e^{i\Theta(\vec{r})}$$



1.  $I_s = I_s(\phi)$

Скачок фазы является единственным параметром определяющим сверхтекучий ток через переход

2.  $\phi = 0$   
 $I_s(0) = 0$

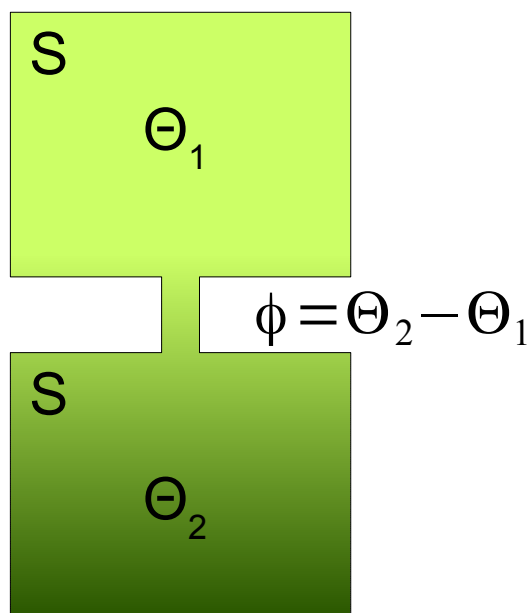
Утверждение прямо следует из связи плотности тока с градиентом фазы.

3.  $I_s(\phi) = I_s(\phi + 2\pi)$

Изменение фазы на любом из «берегов» на  $2\pi$  не меняет состояния

# Ток через «слабую связь»: общие свойства

$$\Psi(\vec{r}) = A \sqrt{n_s} e^{i\Theta(\vec{r})}$$



1.  $I_s = I_s(\phi)$

Скачок фазы является единственным параметром определяющим сверхтекучий ток через переход

2.  $\phi = 0$   
 $I_s(0) = 0$

Утверждение прямо следует из связи плотности тока с градиентом фазы.

3.  $I_s(\phi) = I_s(\phi + 2\pi)$

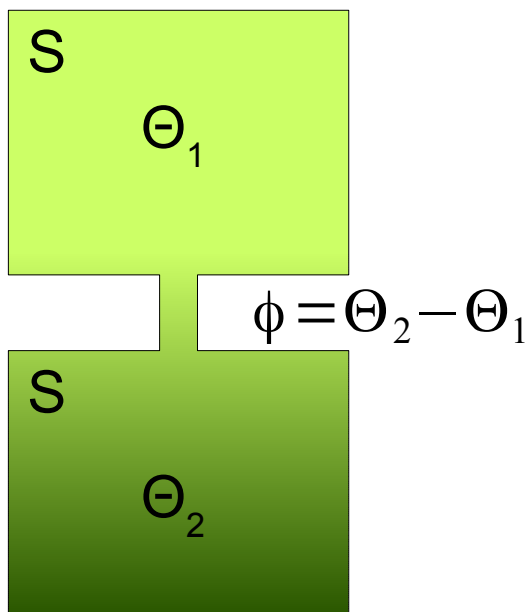
Изменение фазы на любом из «берегов» на  $2\pi$  не меняет состояния

4.  $I_s(\phi) = -I_s(-\phi)$

Изменение знака фазы в структуре меняет знак скачка фазы и знак тока

# Ток через «слабую связь»: общие свойства

$$\Psi(\vec{r}) = A \sqrt{n_s} e^{i\Theta(\vec{r})}$$



$$1. \quad I_s = I_s(\phi)$$

Скачок фазы является единственным параметром определяющим сверхтекучий ток через переход

$$2. \quad \begin{array}{c} \phi = 0 \\ \updownarrow \\ I_s(0) = 0 \end{array}$$

Утверждение прямо следует из связи плотности тока с

$$3. \quad I_s(\phi) = I_s(\phi + 2\pi)$$

Периодическая, нечётная, проходит через ноль....

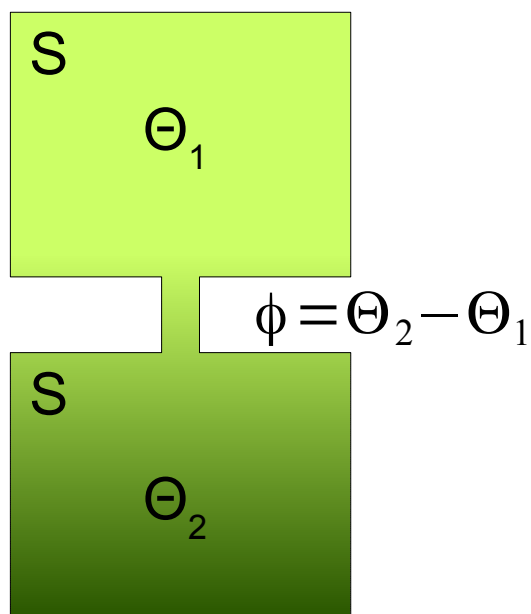
$$I_s = I_0 \sin \phi$$

$$4. \quad I_s(\phi) = -I_s(-\phi)$$

структуре меняет знак скачка фазы и знак тока

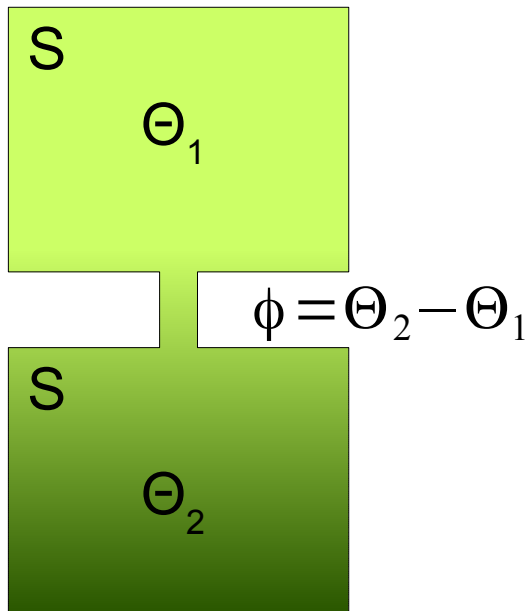
# Фейнмановская модель для описания туннельного тока куперовских пар.

$$\Psi(\vec{r}) = A \sqrt{n_s} e^{i\Theta(\vec{r})}$$



# Фейнмановская модель для описания туннельного тока куперовских пар.

$$\Psi(\vec{r}) = A \sqrt{n_s} e^{i\Theta(\vec{r})}$$



$\hat{T}$  оператор туннелирования

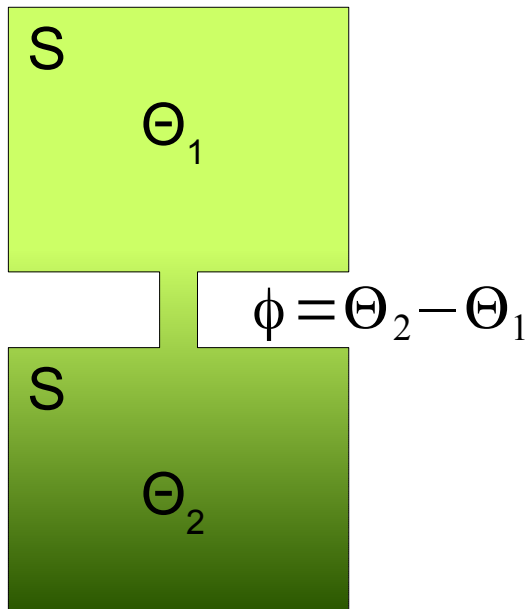
$$\hat{T} \Psi_1 = \hbar T \Psi_2$$

$$\hat{T} \Psi_2 = \hbar T \Psi_1$$

$$i \hbar \frac{d \Psi}{d t} = \hat{H}_0 \Psi = E \Psi = 0 \quad \text{выбор отсчёта энергии}$$

# Фейнмановская модель для описания туннельного тока куперовских пар.

$$\Psi(\vec{r}) = A \sqrt{n_s} e^{i\Theta(\vec{r})}$$



$\hat{T}$  оператор туннелирования

$$\hat{T} \Psi_1 = \hbar T \Psi_2$$

$$\hat{T} \Psi_2 = \hbar T \Psi_1$$

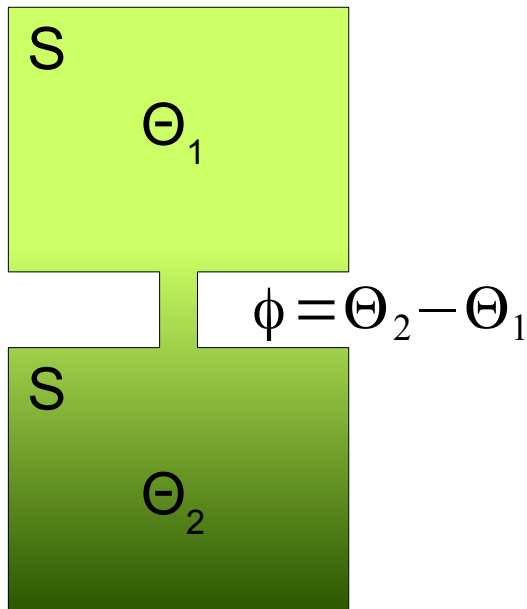
$$i \hbar \frac{d \Psi}{d t} = \hat{H}_0 \Psi = E \Psi = 0 \quad \text{выбор отсчёта энергии}$$

$$i \hbar \frac{d \Psi_1}{d t} = \hat{T} \Psi_1 = \hbar T \Psi_2$$

$$i \hbar \frac{d \Psi_2}{d t} = \hat{T} \Psi_2 = \hbar T \Psi_1$$

# Фейнмановская модель для описания туннельного тока куперовских пар.

$$\Psi(\vec{r}) = A \sqrt{n_s} e^{i\Theta(\vec{r})}$$



$\hat{T}$  оператор тунnelирования

$$\hat{T} \Psi_1 = \hbar T \Psi_2$$

$$\hat{T} \Psi_2 = \hbar T \Psi_1$$

$$i \hbar \frac{d \Psi}{d t} = \hat{H}_0 \Psi = E \Psi = 0 \quad \text{выбор отсчёта энергии}$$

$$i \hbar \frac{d \Psi_1}{d t} = \hat{T} \Psi_1 = \hbar T \Psi_2$$

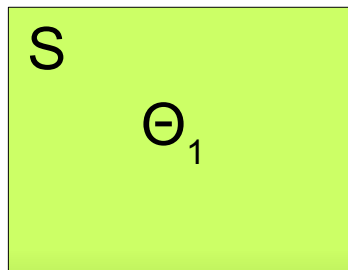
$$i \hbar \frac{d \Psi_2}{d t} = \hat{T} \Psi_2 = \hbar T \Psi_1$$

$$\frac{d \Psi}{d t} = \frac{1}{2} \frac{1}{\sqrt{n}} \frac{d n}{d t} e^{i\Theta} + i \frac{d \Theta}{d t} \sqrt{n} e^{i\Theta}$$

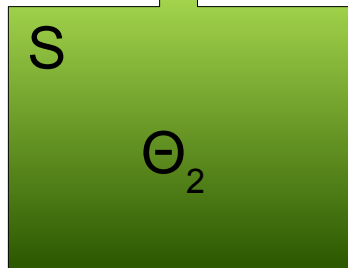


# Фейнмановская модель туннельного тока

$$\Psi(\vec{r}) = A \sqrt{n_s} e^{i\Theta(\vec{r})}$$



$$\phi = \Theta_2 - \Theta_1$$



$\hat{T}$  опер

$$i \hbar \frac{d \Psi}{d t}$$

$$i \hbar \frac{d \Psi_1}{d t} = \hat{T} \Psi_1$$

$$i \hbar \frac{d \Psi_2}{d t} = \hat{T} \Psi_2 = \hbar T \Psi_1$$

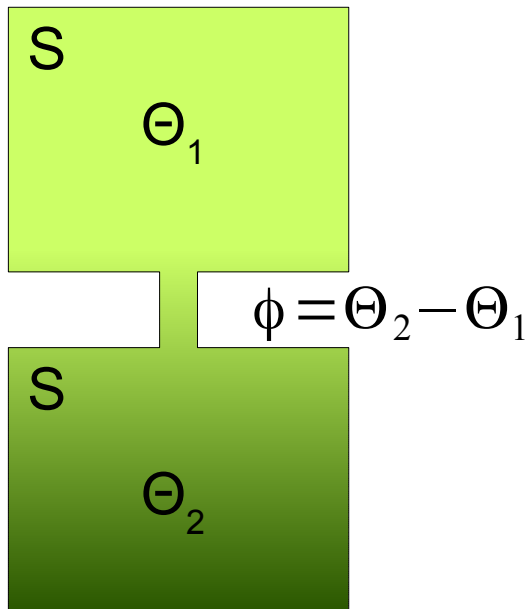
$$\frac{d \Psi}{d t} = \frac{1}{2} \frac{1}{\sqrt{n}} \frac{d n}{d t} e^{i\Theta} + i \frac{d \Theta}{d t} \sqrt{n} e^{i\Theta}$$

$$i \frac{1}{2} \frac{d n_1}{d t} e^{i\Theta_1} - n_1 \frac{d \Theta_1}{d t} e^{i\Theta_1} = T \sqrt{n_1 n_2} e^{i\Theta_2}$$

$$i \frac{1}{2} \frac{d n_2}{d t} e^{i\Theta_2} - n_2 \frac{d \Theta_2}{d t} e^{i\Theta_2} = T \sqrt{n_1 n_2} e^{i\Theta_1}$$

# Фейнмановская модель туннельного тока

$$\Psi(\vec{r}) = A \sqrt{n_s} e^{i\Theta(\vec{r})}$$



$\hat{T}$  опер

$$i\hbar \frac{d\Psi}{dt}$$

$$i\hbar \frac{d\Psi_1}{dt} = \hat{T} \Psi_1$$

$$i\hbar \frac{d\Psi_2}{dt} = \hat{T} \Psi_2 = \hbar T \Psi_1$$

$$\frac{d\Psi}{dt} = \frac{1}{2} \frac{1}{\sqrt{n}} \frac{dn}{dt} e^{i\Theta} + i \frac{d\Theta}{dt} \sqrt{n} e^{i\Theta}$$

$$i \frac{1}{2} \frac{dn_1}{dt} e^{i\Theta_1} - n_1 \frac{d\Theta_1}{dt} e^{i\Theta_1} = T \sqrt{n_1 n_2} e^{i\Theta_2}$$

$$i \frac{1}{2} \frac{dn_2}{dt} e^{i\Theta_2} - n_2 \frac{d\Theta_2}{dt} e^{i\Theta_2} = T \sqrt{n_1 n_2} e^{i\Theta_1}$$

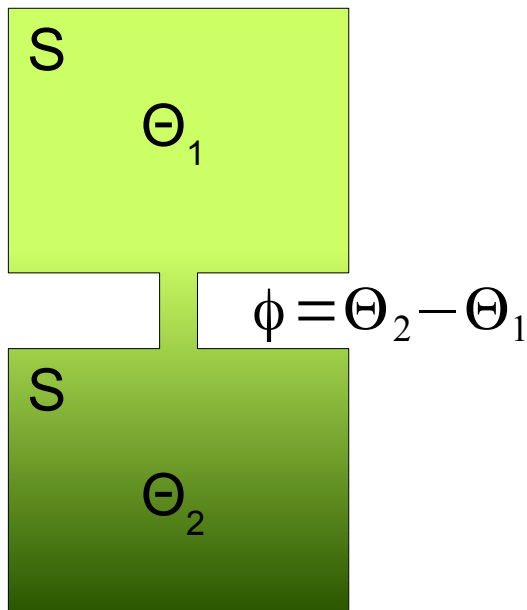
$$n_1 \frac{d\Theta_1}{dt} = n_2 \frac{d\Theta_2}{dt} = -T \sqrt{n_1 n_2} \cos \phi$$

$$\frac{dn_1}{dt} = -\frac{dn_2}{dt} = 2T \sqrt{n_1 n_2} \sin \phi$$

$$I_s = I_0 \sin \phi$$

# Стационарный эффект Джозефсона.

$$\Psi(\vec{r}) = A \sqrt{n_s} e^{i\Theta(\vec{r})}$$



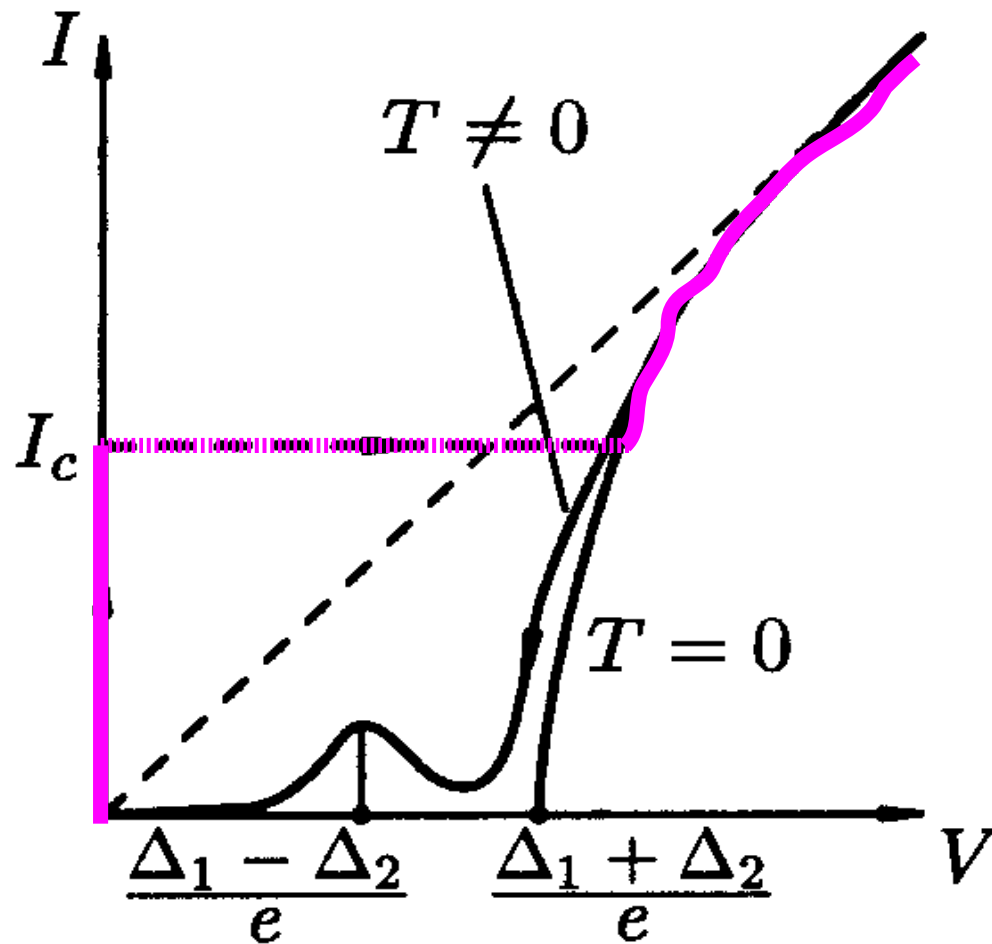
$$I_s = I_0 \sin \phi$$

для симметричной SIS-структуры  $I_0 = \frac{\pi \Delta}{2 e R}$

скачок фазы подстраивается под задаваемый источником ток

максимальный  
бездиссипативный ток  $I_0$

# ВАХ SIS-перехода с учётом эффекта Джозефсона.



Две постановки эксперимента:

- 1) Режим фиксированного тока
- 2) Режим фиксированного напряжения

Соотношение между джозефсоновским и квазичастичным токами зависит от геометрии контакта

Схема вольт-амперной характеристики туннельного SIS-перехода при нулевой температуре и при конечной температуре. Сплошная линия: с учётом только тунnelирования электронов. Пунктирная «ступенька» - с учётом эффекта Джозефсона (тунnelирования куперовских пар). Из книги Шмидта

# ВАХ SIS-перехода с учётом эффекта

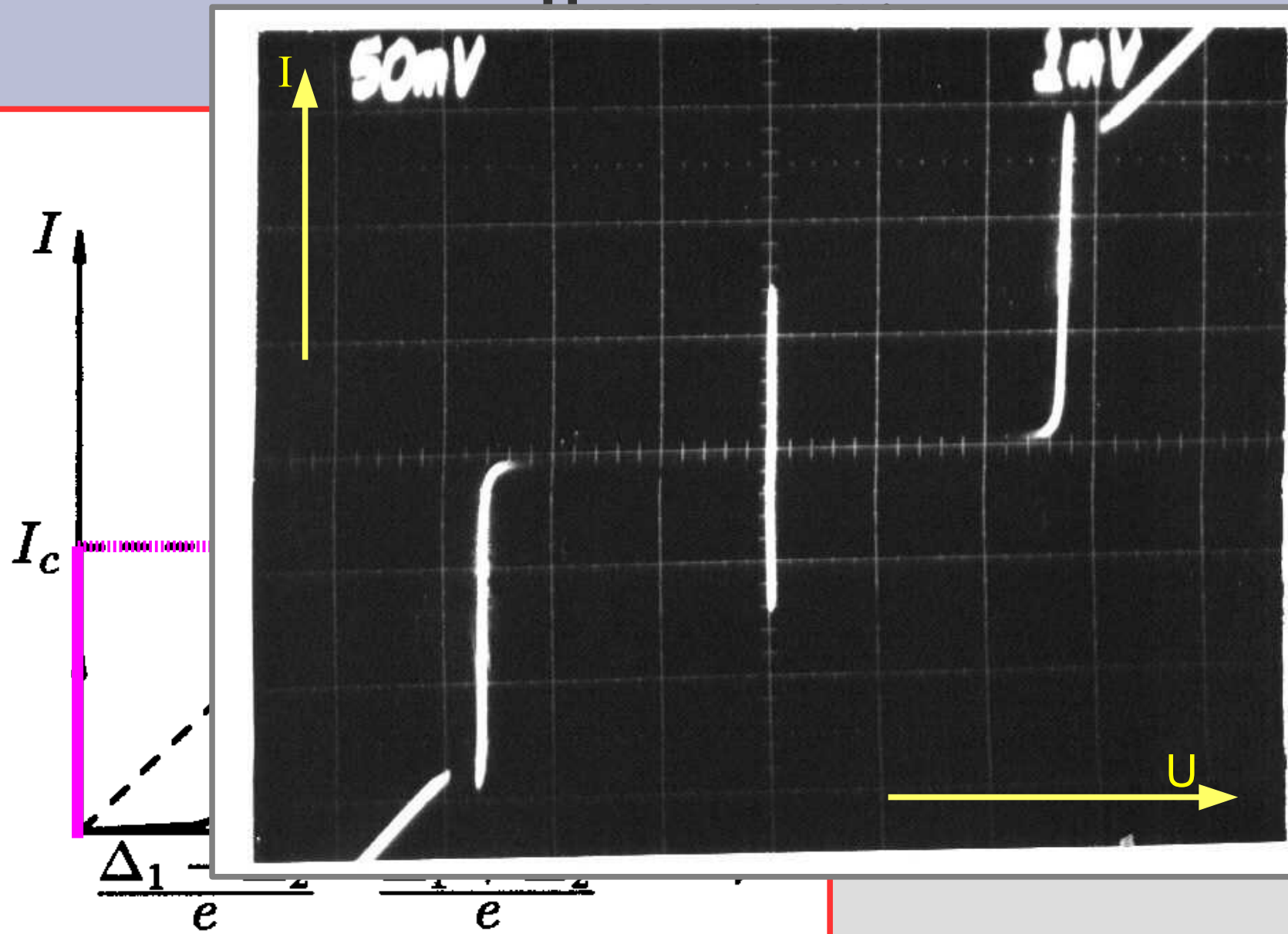


Схема вольт-амперной характеристики туннельного SIS-перехода при нулевой температуре и при конечной температуре. Сплошная линия: с учётом только тунnelирования электронов. Пунктирная «ступенька» - с учётом эффекта Джозефсона (тунnelирования куперовских пар). Из книги Шмидта

# ВАХ SIS-перехода с учётом эффекта

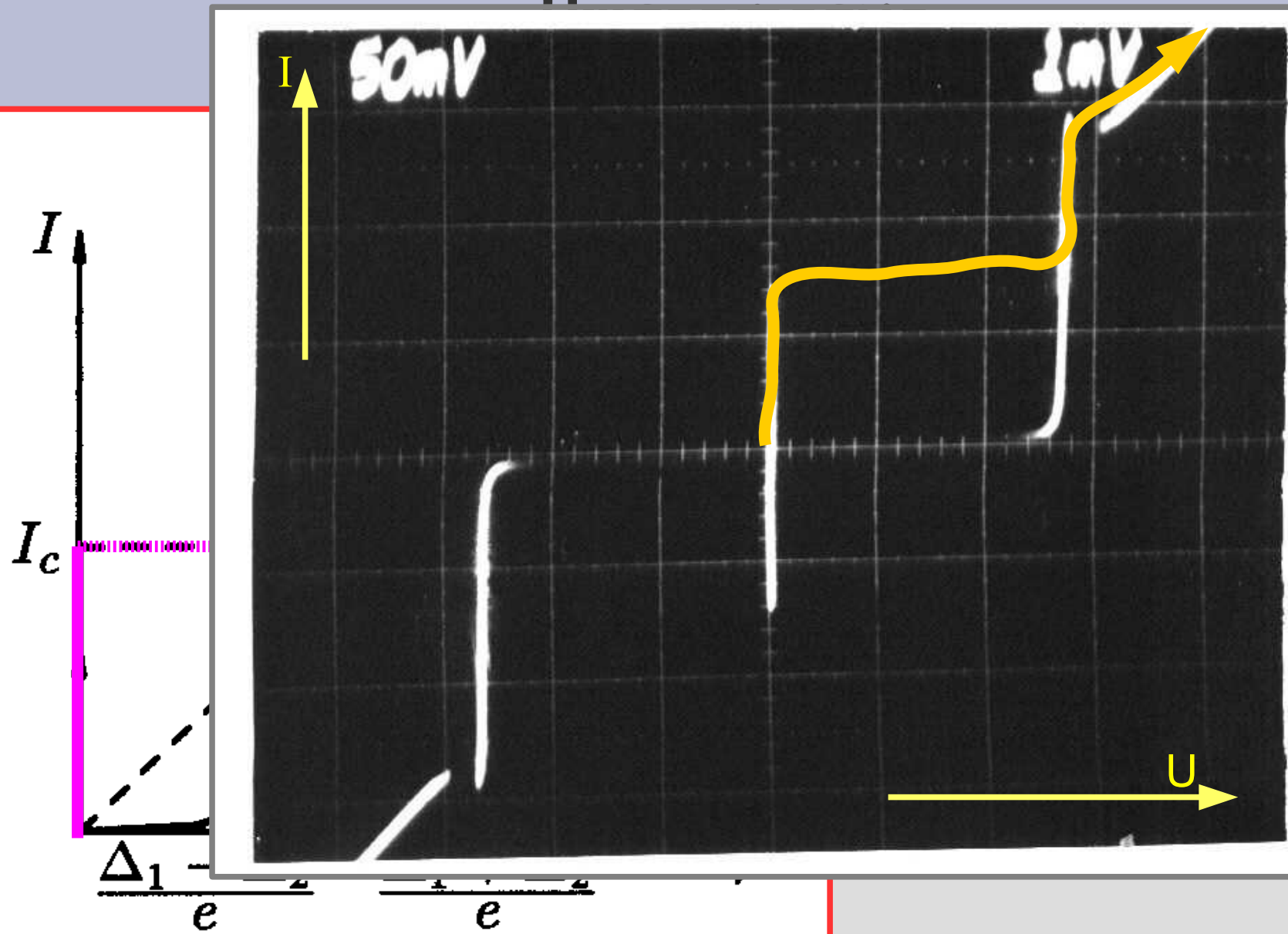


Схема вольт-амперной характеристики туннельного SIS-перехода при нулевой температуре и при конечной температуре. Сплошная линия: с учётом только тунnelирования электронов. Пунктирная «ступенька» - с учётом эффекта Джозефсона (туннелирования куперовских пар). Из книги Шмидта

# ВАХ SIS-перехода с учётом эффекта

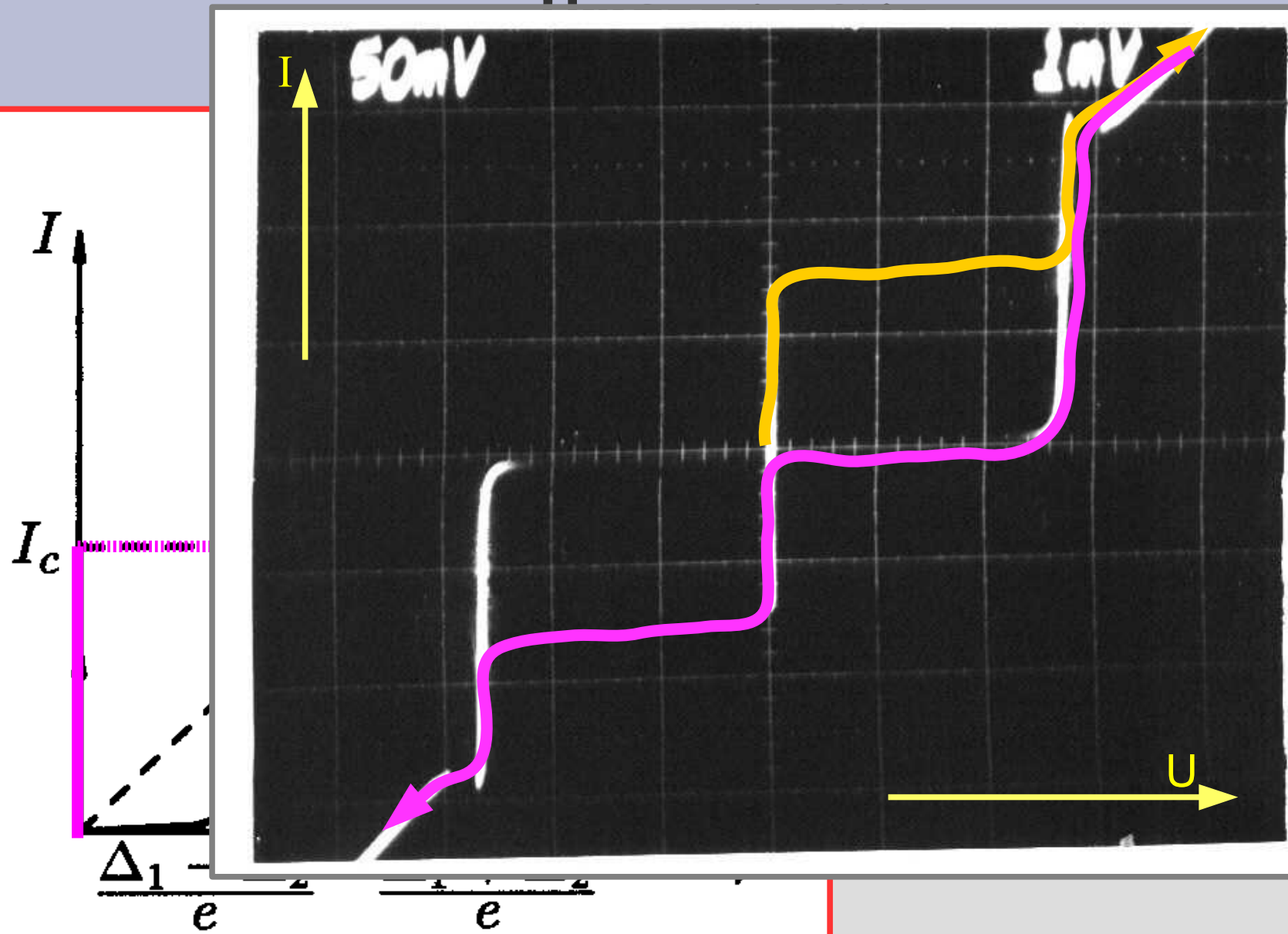


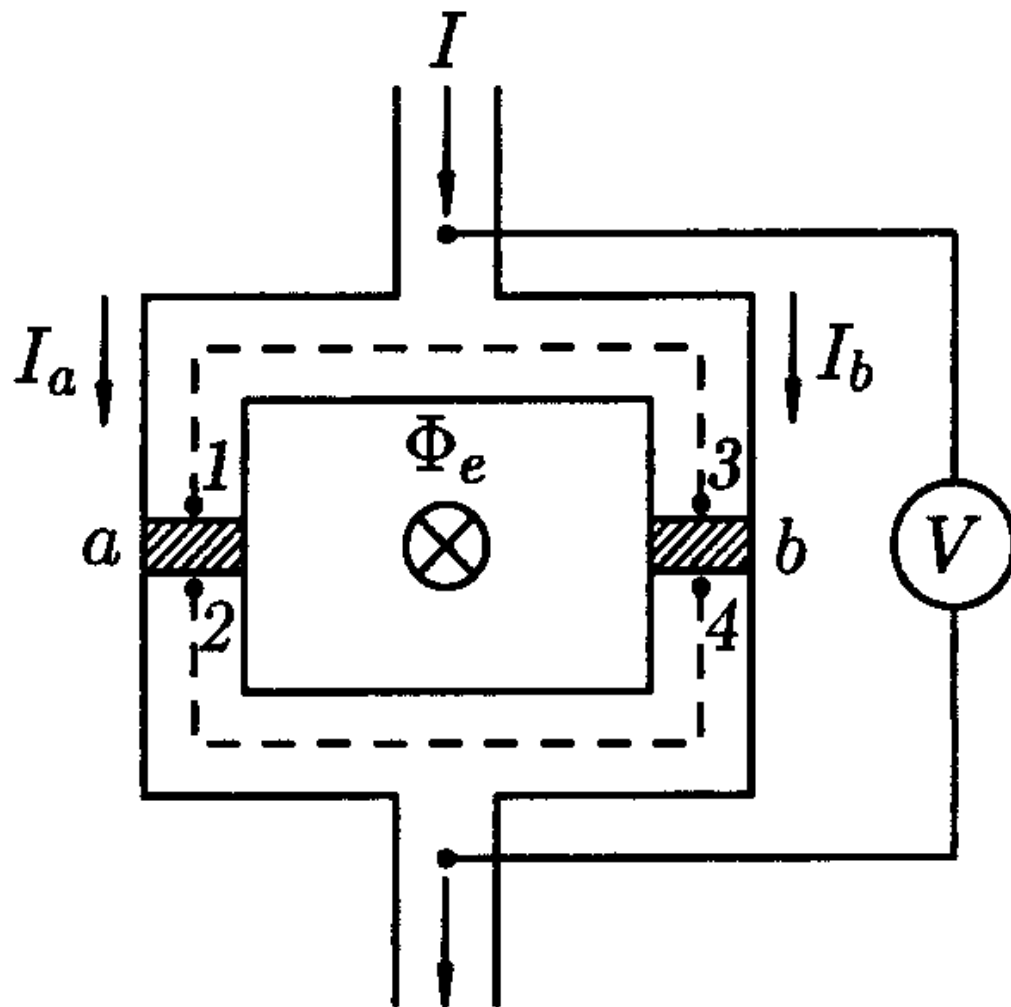
Схема вольт-амперной характеристики туннельного SIS-перехода при нулевой температуре и при конечной температуре. Сплошная линия: с учётом только тунnelирования электронов. Пунктирная «ступенька» - с учётом эффекта Джозефсона (тунnelирования куперовских пар). Из книги Шмидта

## Часть 6. Джозефсоновские контакты в магнитном поле. СКВИД.

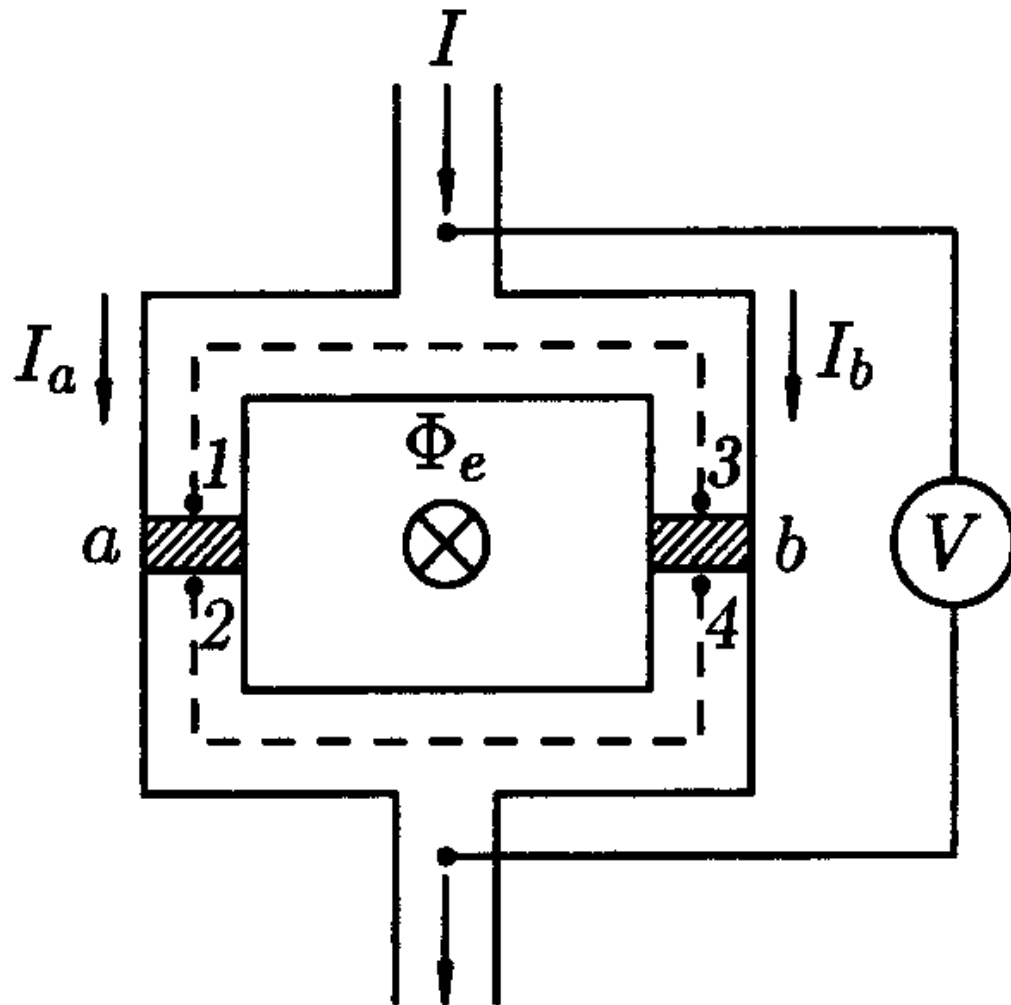


# СКВИД:Сверхпроводящий Квантовый Интерферометр (SQUID: Superconducting QUantum Interference Device)

$$\hbar \vec{\nabla} \Theta = 2m \vec{V}_s - \frac{2e}{c} \vec{A}$$



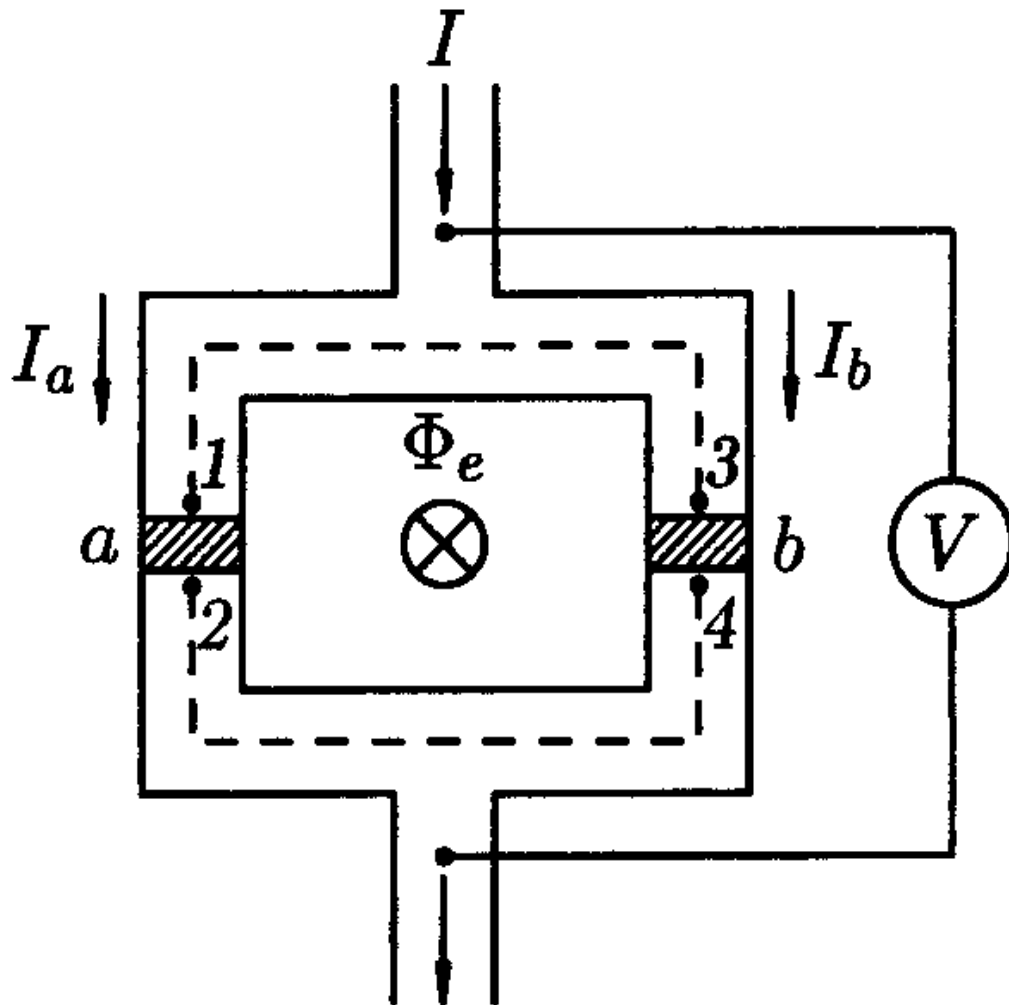
# СКВИД:Сверхпроводящий Квантовый Интерферометр (SQUID: Superconducting QUantum Interference Device)



$$\hbar \vec{\nabla} \Theta = 2m \vec{V}_s - \frac{2e}{c} \vec{A}$$

$$\hbar (\Theta_3 - \Theta_1) = -\frac{2e}{c} \int_1^3 \vec{A} d\vec{l}$$
$$\hbar (\Theta_2 - \Theta_4) = -\frac{2e}{c} \int_4^2 \vec{A} d\vec{l}$$

# СКВИД:Сверхпроводящий Квантовый Интерферометр (SQUID: Superconducting QUantum Interference Device)



$$\hbar \vec{\nabla} \Theta = 2m \vec{V}_s - \frac{2e}{c} \vec{A}$$

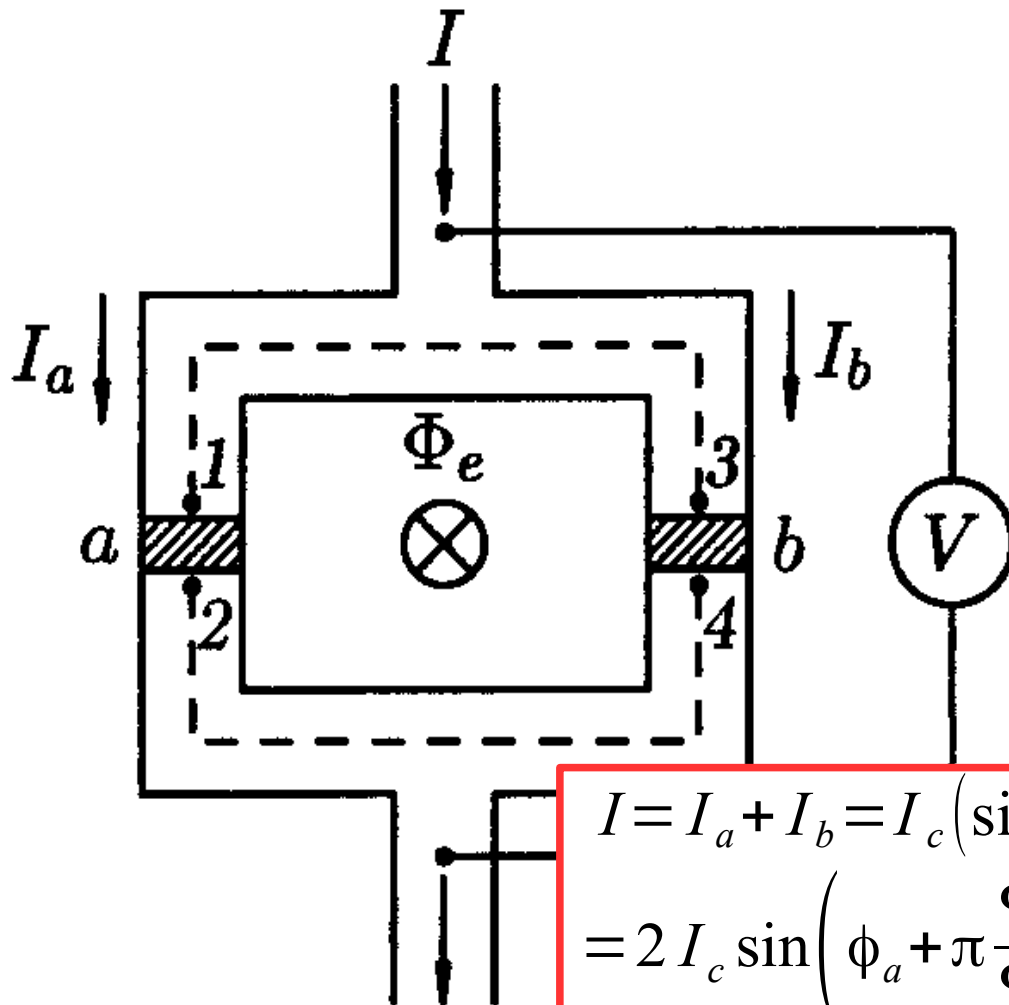
$$\hbar (\Theta_3 - \Theta_1) = -\frac{2e}{c} \int_1^3 \vec{A} d\vec{l}$$

$$\hbar (\Theta_2 - \Theta_4) = -\frac{2e}{c} \int_4^2 \vec{A} d\vec{l}$$

$$(\phi_a - \phi_b) = \frac{2e}{\hbar c} \oint \vec{A} d\vec{l} = 2\pi \frac{\Phi}{\Phi_0}$$

$$I = I_a + I_b = I_0 (\sin \phi_a + \sin \phi_b)$$

# СКВИД:Сверхпроводящий Квантовый Интерферометр (SQUID: Superconducting QUantum Interference Device)



$$\hbar \vec{\nabla} \Theta = 2 m \vec{V}_s - \frac{2e}{c} \vec{A}$$

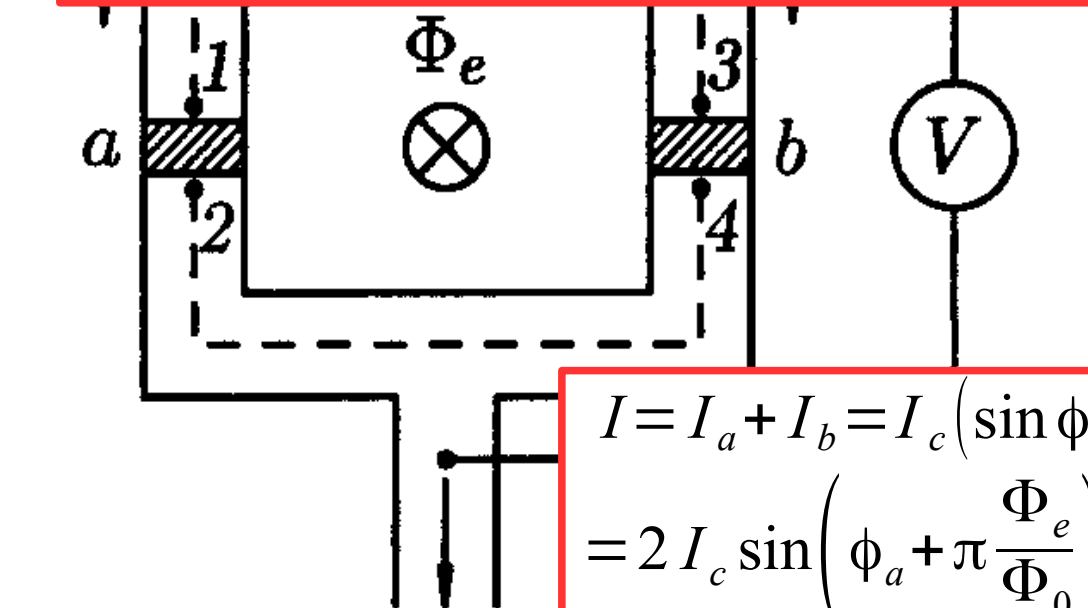
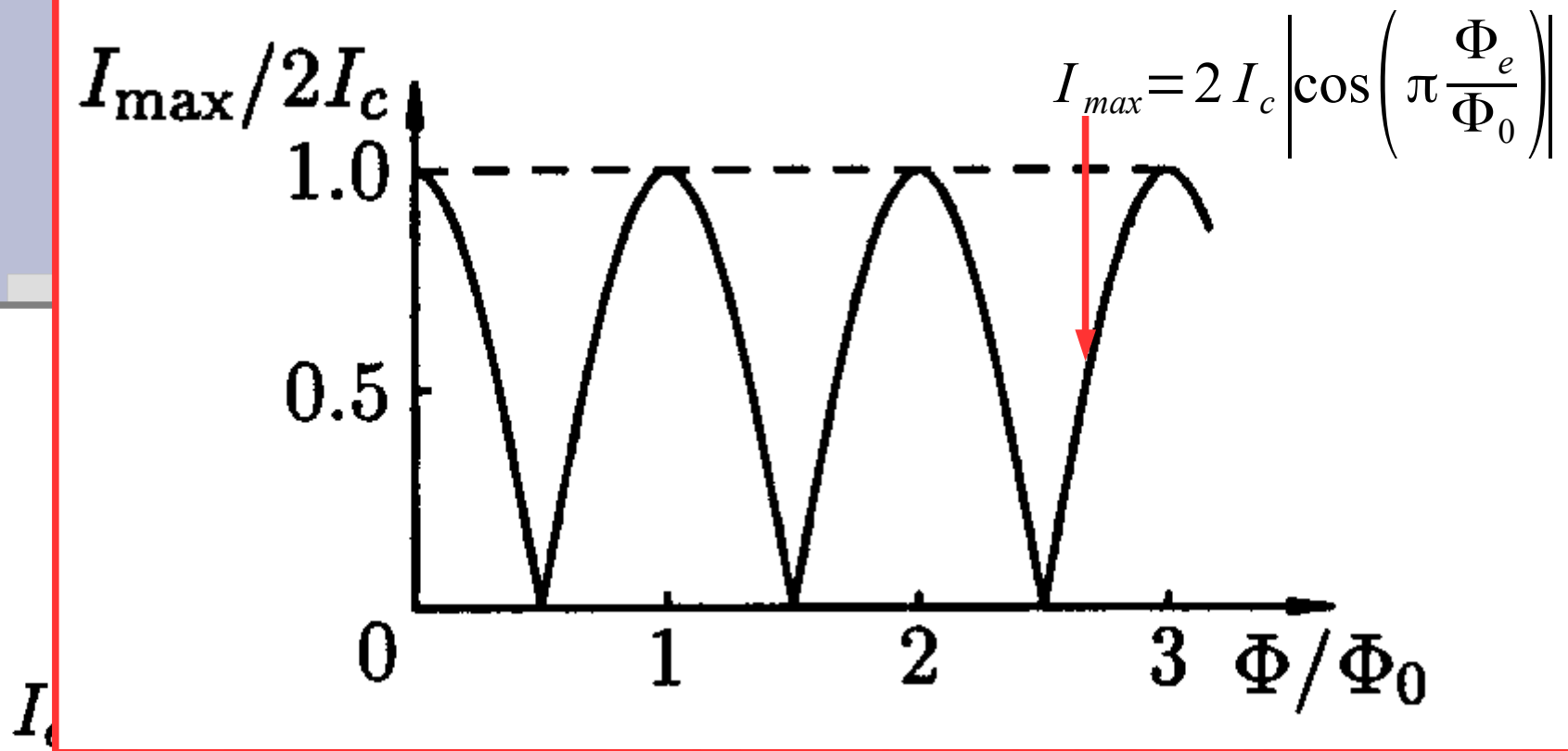
$$\hbar (\Theta_3 - \Theta_1) = - \frac{2e}{c} \int_1^3 \vec{A} d \vec{l}$$

$$\hbar (\Theta_2 - \Theta_4) = - \frac{2e}{c} \int_4^2 \vec{A} d \vec{l}$$

$$(\phi_a - \phi_b) = \frac{2e}{\hbar c} \oint \vec{A} d \vec{l} = 2\pi \frac{\Phi}{\Phi_0}$$

$$I = I_a + I_b = I_c (\sin \phi_a + \sin \phi_b) = I_0 (\sin \phi_a + \sin \phi_b)$$

$$= 2 I_c \sin \left( \phi_a + \pi \frac{\Phi_e}{\Phi_0} \right) \cos \left( \pi \frac{\Phi_e}{\Phi_0} \right)$$



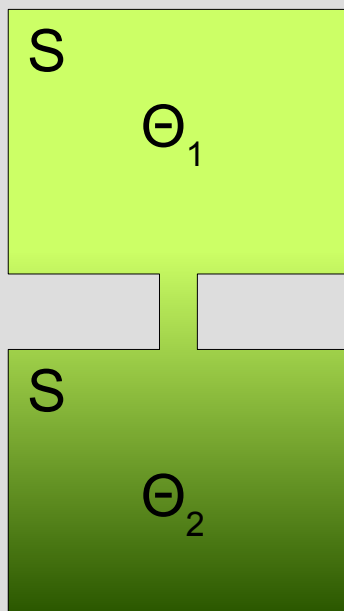
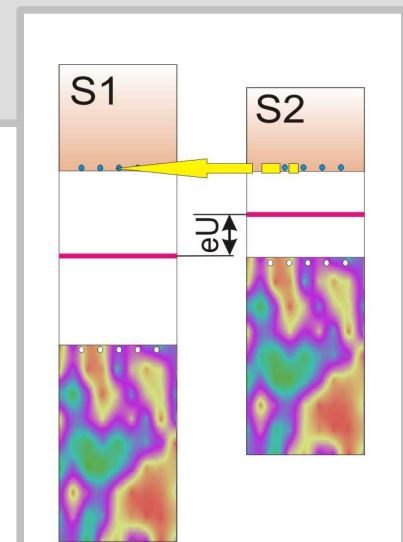
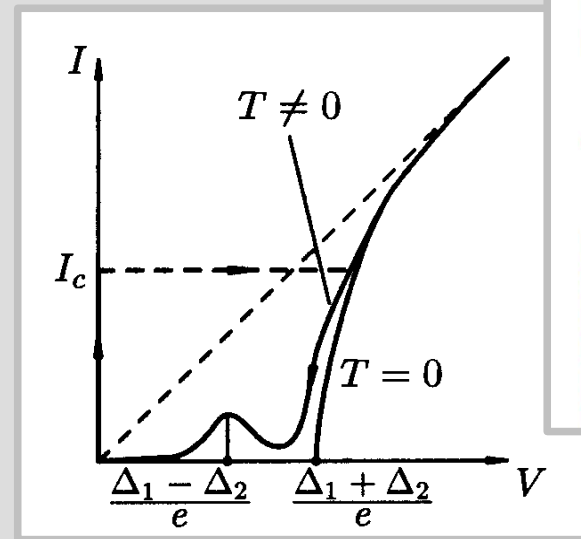
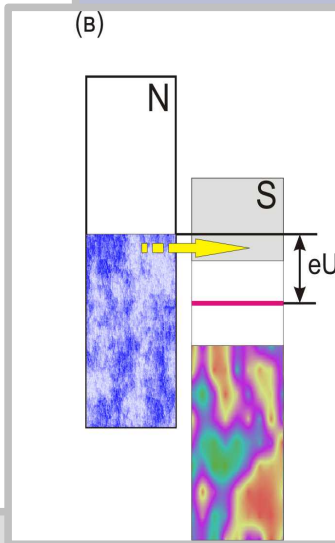
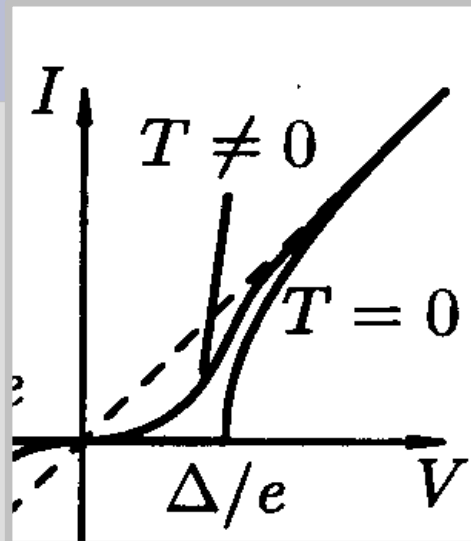
$$\hbar (\Theta_2 - \Theta_4) = - \frac{1}{c} \int_4 \vec{A} d\vec{l}$$

$$(\phi_a - \phi_b) = \frac{2e}{\hbar c} \oint \vec{A} d\vec{l} = 2\pi \frac{\Phi}{\Phi_0}$$

$$I = I_a + I_b = I_c (\sin \phi_a + \sin \phi_b) = I_0 (\sin \phi_a + \sin \phi_b)$$

$$I = I_a + I_b = I_c (\sin \phi_a + \sin \phi_b) = 2 I_c \sin \left( \phi_a + \pi \frac{\Phi_e}{\Phi_0} \right) \cos \left( \pi \frac{\Phi_e}{\Phi_0} \right)$$

# Главное на этой лекции



$$I_s = I_0 \sin \phi$$